

# **ANEXO**

## **1.4**

**Elementos de Tierras Raras como trazadores de contaminación residual en sedimentos del arroyo Tinajas, ríos Bacanuchi y Sonora, asociada al derrame de una solución ácida de la mina Buenavista del Cobre, en el distrito minero de Cananea, Sonora.**



## INFORME DE AVANCES

### SEGUNDA ETAPA

#### Proyecto

Diagnóstico Ambiental y propuesta de Remediación-Reparación-Compensación en la Cuenca del Río Sonora afectada por el derrame del represo “Tinajas 1” de la mina Buenavista del Cobre (BVC), Cananea, Sonora.

#### Sub-proyecto

Elementos de Tierras Raras como trazadores de contaminación residual en sedimentos del arroyo Tinajas, ríos Bacanuchi y Sonora, asociada al derrame de una solución ácida de la mina Buenavista del Cobre, en el distrito minero de Cananea, Sonora.

| <b>Tabla de Contenido</b>  | <b>Pág.</b> |
|--|-------------|
| <b>1. Introducción</b>   | <b>1</b>    |
| <b>2. Objetivos generales</b>  | <b>3</b>    |
| <b>2.1 Objetivos Particulares</b>  | <b>3</b>    |
| <b>3. Muestreos</b>  | <b>3</b>    |
| <b>3.1 Áreas muestreadas</b>   | <b>9</b>    |
| <b>4. Análisis Realizados</b>  | <b>15</b>   |
| <b>4.1 Elementos de Tierras Raras (ETR)</b>  | <b>15</b>   |
| <b>4.1.1 Normalización de resultados</b>   | <b>16</b>   |
| <b>4.1.2 Cálculo Anomalías de Eu y Ce</b>  | <b>16</b>   |
| <b>4.2 Análisis de Fe, Mn</b>  | <b>16</b>   |
| <b>4.2.1 Determinación de Sulfatos solubles.</b>   | <b>17</b>   |
| <b>4.3 Determinación de pH y CE</b>  | <b>17</b>   |
| <b>5. Resultados</b>   | <b>18</b>   |
| <b>5.1 Parámetros físico-químicos (pH y CE), contenido de Fe, Mn y SO<sub>4</sub><sup>2-</sup></b> | <b>18</b>   |
| <b>5.2 Elementos de Tierras Raras</b>  | <b>23</b>   |
| <b>5.2.1 Resultados No Normalizados</b>  | <b>23</b>   |
| <b>5.2.2 Resultados Normalizados</b>   | <b>33</b>   |
| <b>6. Discusión</b>  | <b>48</b>   |
| <b>7. Conclusiones</b>   | <b>57</b>   |
| <b>8. Recomendaciones</b>  | <b>58</b>   |
| <b>9. Bibliografía</b>   | <b>59</b>   |
| <b>Resultados de Laboratorio</b>   |             |

## **1. Introducción**

A principios de la década de 1980 los elementos de tierras raras (ETR) se empezaron a utilizar como trazadores de procesos geoquímicos superficiales en agua subterránea, agua de mar, lagos y ríos (Coppin et al., 2002; Gammons et al., 2003, Olías et al., 2005). En dónde los ETR presentan pequeñas diferencias en su configuración electrónica que conduce a cambios en su comportamiento con respecto a la complejación acuosa con ligandos aniónicos, adsorción de iones, disolución y/o precipitación de minerales, lo cual se refleja en su fraccionamiento durante los procesos de intemperismo y transporte de solutos, que influencian las concentraciones en solución y sus patrones (Gammons et al., 2005; Coppin et al., 2002, Romero et al., 2010). Este proceso de fraccionamiento se ha observado en aguas alcalinas o cercanamente neutrales.

Recientemente, su aplicación se ha enfocado en el comportamiento de los ETR en aguas ácidas y Drenaje Ácido de Mina (DAM), que se originan por la oxidación e intemperismo de sulfuros minerales vía procesos naturales y/o antropogénicos (Johannesson y Zhou, 1999; Gimeno Serrano 2000; Protano y Riccobono, 2002; Gammons et al., 2003, Romero et al., 2010). Las investigaciones en este ámbito han incluido a la roca huésped de la mineralización, sedimentos de río, suelos de mina y jales mineros (Johannesson y Zhou, 1999; Ferreira da Silva et al., 2009; Fernández-Caliani et al., 2009; Romero et al., 2010). En aguas ácidas por ejemplo, se han reportado patrones de enriquecimiento en ETRM (Gammons et al., 2005; Fernández-Caliani et al., 2009). Bozau et al., (2004) reporta patrones de ETR en aguas ácidas empobrecidos en ETRL al normalizar con respecto a la roca original. El enriquecimiento en ETRP de DAM, cuyos patrones están asociados a procesos de filtración, sugiere que la concentración de los ETR decrece y fraccionan debido a su coprecipitación con fases de hierro (Merten et al. 2005). Concentraciones conservativas de ETR ocurren en aguas con un pH de 5.5, en aguas con un pH superior, la concentración depende de la adsorción o coprecipitación de los ETR con oxihidróxidos de Fe y Al. En fases sólidas, el fraccionamiento fue mayor ETR-Pesados con respecto a los ETR-Ligeros, cuando el pH fue superior a 6. En sedimentos superficiales, los ETR mostraron una curvatura convexa de los ETR-Medios vs los ETR-Ligeros debido a procesos de mezcla entre aguas fluviales afectadas por DAM y agua de mar (Delgado et al. 2012).

La aplicación de los ETR en áreas mineras y/ afectadas por sus productos (DAM, jales) evidencian que los patrones de los ETR pueden modificarse debido a cambios del pH y que su concentración depende de factores como la adsorción-desorción. Se considera que los ETR conservan la firma geoquímica de la roca fuente y del proceso que los fracciona (Romero et al., 2010), lo que abre la posibilidad de que puedan ser empleados como trazadores de fuentes de metales e identificar la influencia de soluciones ácidas hacia aguas superficiales y sedimentos. Por lo que su aplicación en áreas afectadas recientemente, como Cananea en Sonora, puede servir como base para futuras investigaciones en sitios donde la contaminación minera es histórica.

La mina Buenavista, antes Cananea, data de 1899. Es una mina a tajo abierto y es la quinta más grande del mundo con la mayor generación y exportación de Cu (aprox. 200,000 toneladas de cobre refinado). En 2012, la empresa Buena Vista del Cobre, presentó el Informe Preventivo del Proyecto “Terreros de lixiviación Tinajas” en Cananea, Estado de Sonora. El cual consiste en la disposición en pilas de mineral fresco con valores diseminados de cobre para su extracción y recuperación empleando el proceso de lixiviación en terreros. Este proceso emplea soluciones acuosas en medio sulfatado ácido que permiten recuperar la solución preñada de cobre en represos, a partir de los cuales la solución preñada es enviada a las plantas ESDE que operan en el Complejo Minero, con el fin de obtener el cobre metálico. El sistema ESDE es una técnica metalúrgica que combina la electrodeposición y extracción por solventes orgánicos, hasta ahora aplicada sólo a los minerales de cobre ([www.gmexico.com.mx](http://www.gmexico.com.mx)).

El 6 de agosto de 2014, el represo Tinajas 1 de la mina Buenavista del Cobre en Cananea, Sonora, con una capacidad de operación de 40000 m<sup>3</sup>, tuvo una importante fuga. El lixiviado almacenado contenía una solución ácida (pH entre 0.8 y 1.4) y altamente oxidante (ORP= 300 a 350 mV) enriquecida en Cu (114 mg/L), Fe (1080 mg/L), Al (461 mg/L) y Mn (98 mg/L), entre otros metales pesados disueltos. El contenido alcanzó, en primera instancia, al arroyo Tinajas con una longitud de 17.6 km, además de los ríos Bacanuchi (64 km) y Sonora con 190 km de longitud (Gutiérrez-Ruiz y Romero, 2015). Sin embargo, la empresa Buenavista del Cobre, realizó acciones de limpieza y neutralización que consistieron en el retiro físico de los sedimentos visiblemente afectados y el empleo de cal como neutralizador, lo imposibilitó seguir de manera continua el impacto del derrame. Debido a ello, se consideró importante trazar la posible presencia de contaminación residual empleando a los ETR como trazadores.

## **2. Objetivos generales**

Emplear a los Elementos de Tierras Raras (ETR) como posibles trazadores de contaminación residual en materiales considerados impactados con la finalidad de discriminar las fuentes, naturales y antropogénicas en suelos y sedimentos. Además de identificar los patrones de los ETR que se originan a partir de un evento de contaminación fortuita y reciente con respecto a un patrón de origen natural como son las rocas del área.

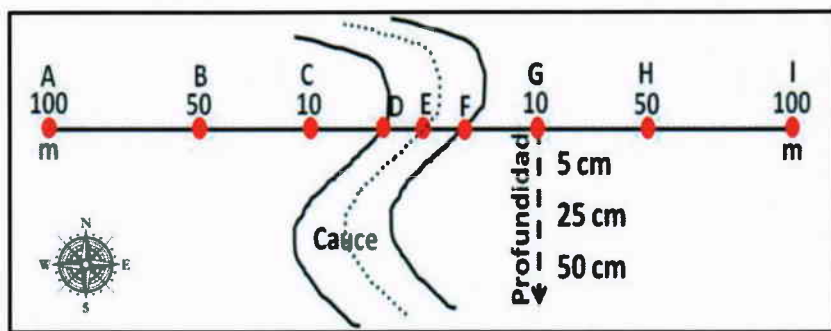
### **2.1 Objetivos Particulares**

- Tener una visión integral de la distribución de los ETR en el área donde ocurrió el derrame de la solución ácida.
- Identificar los patrones de los ETR en muestras provenientes de la Fuente, área (s) afectadas, y de sitios alejados al derrame (Fondos).
- Comparar los patrones de ETR de las muestras con respecto de la Fuente de contaminación, las rocas del área y Fondos para identificar diferencias en su comportamiento que puedan relacionarse con la presencia de contaminación residual.
- Evaluar si existe contaminación residual en los ríos y arroyo afectados por el derrame y su fuente al haberse identificado los patrones de ETR.
- Determinar si existe una relación entre los patrones de ETR asociados a muestras con contaminación residual y sus valores de pH y CE.

## **3. Muestreos**

Se realizaron cinco muestreos durante los meses de octubre de 2014, febrero, abril, mayo y julio de 2015, que incluyeron muestras de sedimentos y rocas. En octubre de 2014, las muestras fueron obtenidas a juicio de experto en el área de Tinajas que incluyó muestras del lixiviado del represo (Fuente) y sedimentos aguas abajo del mismo (tabla 1). En febrero, el muestreo de sedimentos, se basó en el diseño que se presenta en la figura 1. Las Letras D y F corresponden a las riberas de los arroyos y ríos muestreados, la letra E identifica al cauce. Los puntos A-C y G-I indican las planicies de inundación. Se recuperaron muestras en estos perfiles a los 0, 5, 25 y 50 cm de profundidad (tabla 1). En abril, el muestreo del Tributario del Molinito siguió el patrón de la figura 1. En la presa

El Molinito, se recuperaron sedimentos de fondo con una draga (tabla 2). En mayo y junio se muestrearon rocas a lo largo de los cuerpos de agua estudiados (tablas 2 y 3). En julio, se realizaron excavaciones (Zanjas) en Tinajas y Bacanuchi, en las que se recuperaron sedimentos cada 10 cm y hasta ~1 m de profundidad (tabla 4). Los sitios estudiados y los poblados cercanos a estos, se señalan en la figura 2. El muestreo se realizó con materiales de polietileno de alta densidad, lavados y enjuagados previamente, y almacenados en bolsas del mismo material.



**Figura 1. Diseño del muestreo realizado en febrero de 2015.**

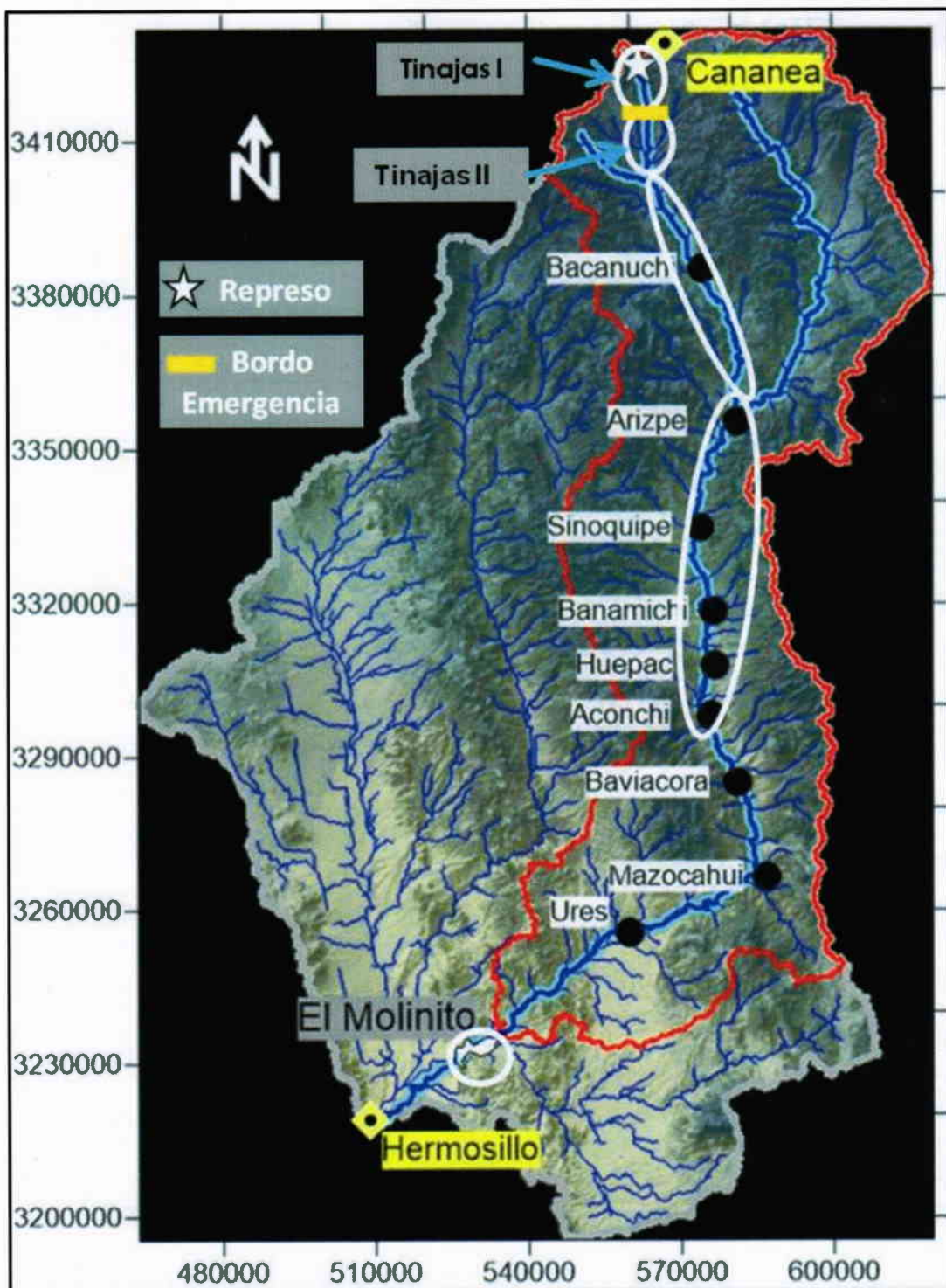


Figura 2. Ubicación de las áreas estudiadas (círculos blancos) y poblados cercanos.

| Proveniencia                                | Tipo de Muestra     | ID Muestra        | Coordenadas |         | Observaciones                                      |
|---|---------------------|-------------------|-------------|---------|--|
|   |                     |                   | X           | Y       |  |
| <b>Muestreo Octubre 2014</b>                |                     |                   |             |         |  |
| Fuente                                      | Sedimento           | 14                | 562841      | 3421621 |  |
|   | Sedimento           | 29                | 562841      | 3421621 | Represo Tinajas                                    |
|   | Líquido Lixiviación | 31                | 562841      | 3421621 |  |
| <b>Perfiles de Muestreo en Febrero 2015</b> |                     |                   |             |         |  |
| <b>Tinajas I</b>                            |                     |                   |             |         |  |
| Centro del cauce                            | Sedimentos          | IT1E-5            | 563135      | 3420622 |  |
|   |                     | IT1E-25           | 563135      | 3420622 |  |
|   |                     | IT1E-50           | 563135      | 3420622 |  |
|   |                     | IT2E-5            | 563165      | 3419594 |  |
|   |                     | IT2E-25           | 563165      | 3419594 | Tinajas I. Muestras a 5, 25, 50 cm de profundidad  |
|   |                     | IT2E-50           | 563165      | 3419594 |  |
|   |                     | IT3E-5            | 563805      | 3416583 |  |
|   |                     | IT3E-25           | 563805      | 3416583 |  |
|   |                     | IT3E-50           | 563805      | 3416583 |  |
|   |                     | <b>Tinajas II</b> |             |         |  |
| Centro del cauce                            | Sedimentos          | IIT1E-5           | 563972      | 3415725 |  |
|   |                     | IIT1E-25          | 563972      | 3415725 |  |
|   |                     | IIT1E-50          | 563972      | 3415725 |  |
|   |                     | IIT2E-5           | 563531      | 3410077 |  |
|   |                     | IIT2E-25          | 563531      | 3410077 | Tinajas II. Muestras a 5, 25, 50 cm de profundidad |
|   |                     | IIT2E-50          | 563531      | 3410077 |  |
|   |                     | IIT3E-5           | 563676      | 3404209 |  |
|   |                     | IIT3E-25          | 563676      | 3404209 |  |
|   |                     | IIT3E-50          | 563676      | 3404209 |  |
|   |                     | <b>Bacanuchi</b>  |             |         |  |
| D- Ribera Izquierda<br>E-Centro del Cauce   | Sedimentos          | B1E-5             | 564242      | 3402312 | Bacanuchi. cerca Tinajas                           |

| Proveniencia   | Tipo de Muestra | ID Muestra    | Coordenadas |         | Observaciones  |
|--|-----------------|---------------|-------------|---------|--|
|  |                 |               | X           | Y       |  |
| <b>Bacanuchi</b>   |                 |               |             |         |  |
| D- Ribera Izquierda<br>E-Centro del Cauce                    | Sedimentos      | B2E-5         | 572927      | 3384761 | Tramo intermedio                                     |
|  |                 | B3D-5         | 580381      | 3361325 | Cerca Arizpe   |
| <b>Perfil 8A</b>   |                 |               |             |         |  |
| Río Bacanuchi  | Sedimentos      | 23-8A         | 570622      | 3391901 | Bacanuchi. Mtr. Superficial                          |
|  |                 | 25-8A         | 570622      | 3391901 | Mtr. 25-10 a 20 cm.                                  |
|  |                 | 29-8A         | 570622      | 3391901 | Mtr. 29- 50-60 cm.                                   |
| <b>Sonora</b>  |                 |               |             |         |  |
| D-Ribera Izquierda<br>E-Centro del Cauce<br>F-Ribera Derecha | Sedimentos      | S1D-5         | 580923      | 3356535 |  |
|  |                 | S1E-5         | 580938      | 3356529 | Río Sonora-Arizpe                                    |
|  |                 | S1F-5         | 580953      | 3356523 |  |
|  |                 | S2D-5         | 574509      | 3298729 |  |
|  |                 | S2E-5         | 574520      | 3298737 | Río Sonora-Aconchi                                   |
|  |                 | S2F-5         | 574524      | 3298742 |  |
|  |                 | <b>Fondos</b> |             |         |  |
| <b>Tinajas I y II</b>  |                 |               |             |         |  |
| Sedimentos   |                 | IT2A-5        | 563047      | 3419594 |  |
|  |                 | IT2I-5        | 563285      | 3419594 |  |
|  |                 | IIT2A-5       | 563425      | 3410092 | Tinajas I y II. muestras superficiales               |
|  |                 | IIT2I-5       | 563630      | 3410024 |  |
| <b>Bacanuchi</b>   |                 |               |             |         |  |
| I-100 m de ribera izquierda<br>I-100 m de ribera derecha     | Sedimentos      | B2A-5         | 572849      | 3384627 | Bacanuchi. Tramo intermedio, muestras superficiales. |
|  |                 | B2I-5         | 573009      | 3384832 |  |
| <b>Sonora</b>  |                 |               |             |         |  |
| Sedimentos   |                 | S2A-5         | 574412      | 3298668 | Río Sonora-Aconchi. Muestras Superficiales           |
|  |                 | S2I-5         | 574583      | 3298762 |  |

Tabla 1. Muestras recolectadas en octubre de 2014 y febrero de 2015.

| Proveniencia               | Tipo de Muestra     | ID Muestra | Coordenadas |         | Observaciones  |  |  |  |
|----------------------------|---------------------|------------|-------------|---------|--|--|--|--|
|                            |                     |            | X           | Y       |  |  |  |  |
| <b>Muestreo Abril</b>      |                     |            |             |         |  |  |  |  |
| <b>Tributario Molinito</b> |                     |            |             |         |  |  |  |  |
| Tributario de El Molinito  | Sedimentos          | TM1A-5     | 528363      | 3230091 | Río tributario de la presa El Molinito, sin agua al momento del muestreo |  |  |  |
|                            |                     | TM1B-5     | 528353      | 3230084 |  |  |  |  |
|                            |                     | TM1C-5     | 528347      | 3230079 |  |  |  |  |
| <b>Presa Molinito</b>      |                     |            |             |         |  |  |  |  |
| Presa El Molinito          | Sedimentos de Fondo | SM-1       | 526707      | 3231647 | Obtenidos en la entrada, parte central y parte distal de la presa        |  |  |  |
|                            |                     | SM-2       | 577071      | 3232062 |  |  |  |  |
|                            |                     | SM-4       | 527741      | 3232664 |  |  |  |  |
|                            |                     | SM-6       | 528436      | 3233309 |  |  |  |  |
|                            |                     | SM-7       | 528835      | 3233584 |  |  |  |  |
|                            |                     | SM-8       | 530377      | 3234342 |  |  |  |  |
|                            |                     | SM-9       | 527539      | 3230801 |  |  |  |  |
|                            |                     | SM-13      | 527600      | 3232171 |  |  |  |  |
|                            |                     | SM-19      | 527161      | 3233303 |  |  |  |  |
|                            |                     | SM-20      | 526889      | 3232538 |  |  |  |  |
|                            |                     | Mo-1       | 528341      | 3230093 | Roca aflorante a orillas del río "La Junta"                              |  |  |  |
|                            |                     |            |             |         |  |  |  |  |

| Proveniencia          | Tipo de Muestra | ID Muestra   | Coordenadas |         | Observaciones  |  |  |  |
|-----------------------|-----------------|--------------|-------------|---------|--|--|--|--|
|                       |                 |              | X           | Y       |  |  |  |  |
| <b>Muestreo Mayo</b>  |                 |              |             |         |  |  |  |  |
| <b>Rocas</b>          |                 |              |             |         |  |  |  |  |
| Tinajas               |                 | R1           | 569263      | 3421661 | Tinajas cerca de actividades mineras                   |  |  |  |
|                       |                 | R2           | 569380      | 3421661 |  |  |  |  |
| Arizpe                |                 | R3B sana     |             |         |  |  |  |  |
|                       |                 | R3A alterada | 577575      | 3355352 | Puente Agua Caliente, Arizpe                           |  |  |  |
|                       |                 | R3C roja     |             |         |  |  |  |  |
| Arizpe                |                 | R4 CG        | 581036      | 3359773 | Afloramiento sobre margen derecha del Bacanuchi-Arizpe |  |  |  |
|                       |                 | R5           | 573673      | 334470  |  |  |  |  |
| <b>Muestreo Junio</b> |                 |              |             |         |  |  |  |  |
| Cananea               |                 | Sta. Isabel  | 563168      | 3419526 | Socavón cercano a terreros                             |  |  |  |
|                       |                 | Sq-1 bca     | 573962      | 3340580 |  |  |  |  |
| Sinoquipe             |                 | Roca         |             |         | Roca aflorante inmediaciones del río Sonora-Sinoquipe  |  |  |  |
|                       |                 | Ac-1 bca     | 569755      | 3301675 |  |  |  |  |
| <b>Aconchi</b>        |                 |              |             |         |  |  |  |  |

**Tabla 2. Muestras recolectadas en Abril y Mayo de 2015.**

| Poblado Próximo                     | ID Muestra | Coordenadas |         |
|-------------------------------------|------------|-------------|---------|
|                                     |            | X           | Y       |
| <b>Rocas (Gpo. Línea Base-ERNO)</b> |            |             |         |
|                                     | T-03       | 568733      | 3420546 |
|                                     | T-04       | 568766      | 3412648 |
|                                     | T-05       | 566722      | 3414277 |
| Tinajas                             | R1         | 569263      | 3421661 |
|                                     | R2         | 569380      | 3421661 |
|                                     | Socavón-21 | 562874      | 3421632 |
|                                     | Sta Isabel | 563168      | 3419526 |
|                                     | Bc-06      | 568468      | 3394180 |
|                                     | Bc-130     | 576646      | 3366510 |
| Bacanuchi                           | Bc-133     | 578297      | 3384582 |
|                                     | Bc-135     | 576037      | 3371257 |
|                                     | R4-Cg      | 581036      | 3359773 |
|                                     | Az-75      | 582782      | 3357816 |
|                                     | Az-131     | 581902      | 3364385 |
| Arizpe                              | Az-151     | 575090      | 3360023 |
|                                     | Az-153     | 582593      | 3354373 |
|                                     | R3         | 577575      | 3355352 |
|                                     | S-100      | 574789      | 3345227 |
|                                     | S-123      | 573850      | 3340664 |
|                                     | S-150      | 565301      | 3337285 |
| Sinoquipe                           | S-155      | 565993      | 3334459 |
|                                     | S-158      | 574989      | 3337595 |
|                                     | Sq1-Blanca | 573962      | 3340580 |
|                                     | R5         | 573673      | 334470  |
| Banamichi                           | Bn-122     | 575350      | 3321272 |
| Huépac                              | H-19       | 569195      | 3312179 |
|                                     | H-51       | 586602      | 3306494 |
| Aconchi                             | Ac-43      | 576960      | 3290333 |
|                                     | Ac1-Blanca | 569755      | 3301675 |
|                                     | Bv-10      | 585341      | 3266592 |
|                                     | Bv-11      | 583006      | 3265550 |
|                                     | Bv-12      | 579410      | 3277928 |
| Baviácora                           | Bv-14      | 577565      | 3284517 |
|                                     | Bv-26      | 571199      | 3261554 |
|                                     | Bv-52      | 580661      | 3264939 |
|                                     | Bv-55      | 572024      | 3260774 |
|                                     | U-30       | 548274      | 3248595 |
| Ures                                | U-32       | 544233      | 3243459 |
|                                     | U-34       | 539592      | 3242399 |
|                                     | Mo-1       | 528341      | 3230093 |

**Tabla 3. Muestras de rocas obtenidas en Mayo y Junio 2015.**

| Área             | Tipo de Muestra | ID Muestra | Coordenadas |         | Observaciones    |  |  |  |
|------------------|-----------------|------------|-------------|---------|------------------|--|--|--|
|                  |                 |            | X           | Y       |                  |  |  |  |
| <b>Zanjas</b>    |                 |            |             |         |                  |  |  |  |
| <b>Tinajas</b>   |                 |            |             |         |                  |  |  |  |
| Tinajas I        | Sedimento       | T1-1A      |             |         | 5 cm prof.       |  |  |  |
|                  |                 | T1-1A      | 563545      | 3417793 | 30-40 cm prof.   |  |  |  |
| Tinajas II       | Sedimento       | T8-A       |             |         | 5 cm prof.       |  |  |  |
|                  |                 | T8-A       | 563683      | 3405740 | 100-120 cm prof. |  |  |  |
| <b>Bacanuchi</b> |                 |            |             |         |                  |  |  |  |
| Bacanuchi        | Sedimento       | B4-A       |             |         | 5 cm prof.       |  |  |  |
|                  |                 | B4-A       | 570840      | 3391618 | 55-65 cm prof.   |  |  |  |

**Tabla 4. Muestras recolectadas en Julio de 2015.**

### **3.1 Áreas muestreadas**

Se seleccionaron un total de 56 muestras de sedimentos para su análisis por ETR, provenientes de la Fuente, Perfiles, El Molinito, Fondos y Zanjas, sitios que a continuación se describen y su ubicación se muestra en la figura 3.

#### **Fuente**

Este sitio se ubica el norte del arroyo Tinajas, en el represo denominado Tinajas que almacenaba la solución ácida derramada el 24 de agosto. Este lugar se caracteriza por almacenar en distintos represos de ~40 mil m<sup>3</sup> de solución lixiviante de Cu (foto 1). En este caso, las muestras que se obtuvieron, fueron de la solución ácida derramada y dos muestras de sedimentos del fondo del represo.



**Foto 1. Represo Tinajas, Fuente, posterior al derrame del 06 de Agosto de 2014.**

#### **Perfiles**

Se realizaron perfiles perpendiculares a los cuerpos de agua con los que presumiblemente la solución derramada entró en contacto. Los transectos se diseñaron de tal manera que incluyeron la parte Norte, Media y Sur de cada cuerpo de agua (figura 3).

#### **Arroyo Tinajas**

El arroyo Tinajas, se dividió en Tinajas I y Tinajas II, tomando como punto de separación al bordo de emergencia construido para la contención de la solución derramada (foto 2), así:

Tinajas I. Corresponde a la parte Norte del arroyo y se ubica antes del bando de emergencia. Se obtuvieron los subperfiles I Tinajas 1 (IT1, parte Norte), I Tinajas 2 (IT2, parte Media) y I Tinajas 3 (IT3, parte Sur), éste último cercano al bando de emergencia.

Tinajas II. Se refiere a la parte centro-sur del mismo arroyo, tomando como centro el bando de emergencia, hasta su unión con el río Bacanuchi. Los subperfiles obtenidos fueron: IIT1, IIT2 y IIT3, conservando la lógica de Tinajas I. Sin embargo, en el desarrollo de este estudio se consideraron únicamente las muestras de los dos primeros perfiles de Tinajas I y II.

Las áreas de la Fuente y Tinajas I, se encuentran sobre la zona de mayor oxidación del distrito, con una geología constituida por: pórfidos cuarzo-feldespáticos, dioritas, monzonitas y granodioritas que albergan la mineralización de Cananea representada por un pórfido de Cu-Mo-Zn, con una mineralogía rica en pirita, calcopirita, molibdenita y calcocita (Ocho-Landín et al. 2011). Depósitos de aluviones conglomeráticos no consolidados se observaron en Tinajas II.



Foto 2. Arroyo Tinajas, sitios representativos y su ubicación con respecto al bando de emergencia.

### *Río Bacanuchi*

De igual manera, se obtuvieron 3 perfiles que incluyeron la parte Norte, Centro y Sur del río Bacanuchi. Así, el perfil Bacanuchi 1 (B1) se situó en la unión del arroyo Tinajas con el río Bacanuchi (parte Norte), Bacanuchi 2 (B2) representa la parte media del río y Bacanuchi 3 (B3) Corresponde a la parte Sur del río (foto 3). Continuando sobre el río Bacanuchi, se localiza el Perfil 8A, entre el perfil B3 y la unión del Bacanuchi con el río Sonora (foto 3). A diferencia de los perfiles anteriores, en este punto se localizó material de coloración rojiza producto del derrame, sobre una de las riberas del río.

La geología en este sitio ésta se conforma por depósitos aluviales, rocas sedimentarias y volcánicas fracturadas (Gutiérrez-Ruiz y Romero, 2015).

### *Río Sonora*

Los perfiles del río Sonora se realizaron en las cercanías de los poblados de Arizpe (foto 4). En la unión del río Bacanuchi con el Sonora se ubica el perfil Sonora 1 (S1) y, en Aconchi que representa la parte media del río Sonora, el perfil Sonora 2 (S2). Perfil Sonora 3, ubicado al sur del río Sonora (no incluido en este estudio).

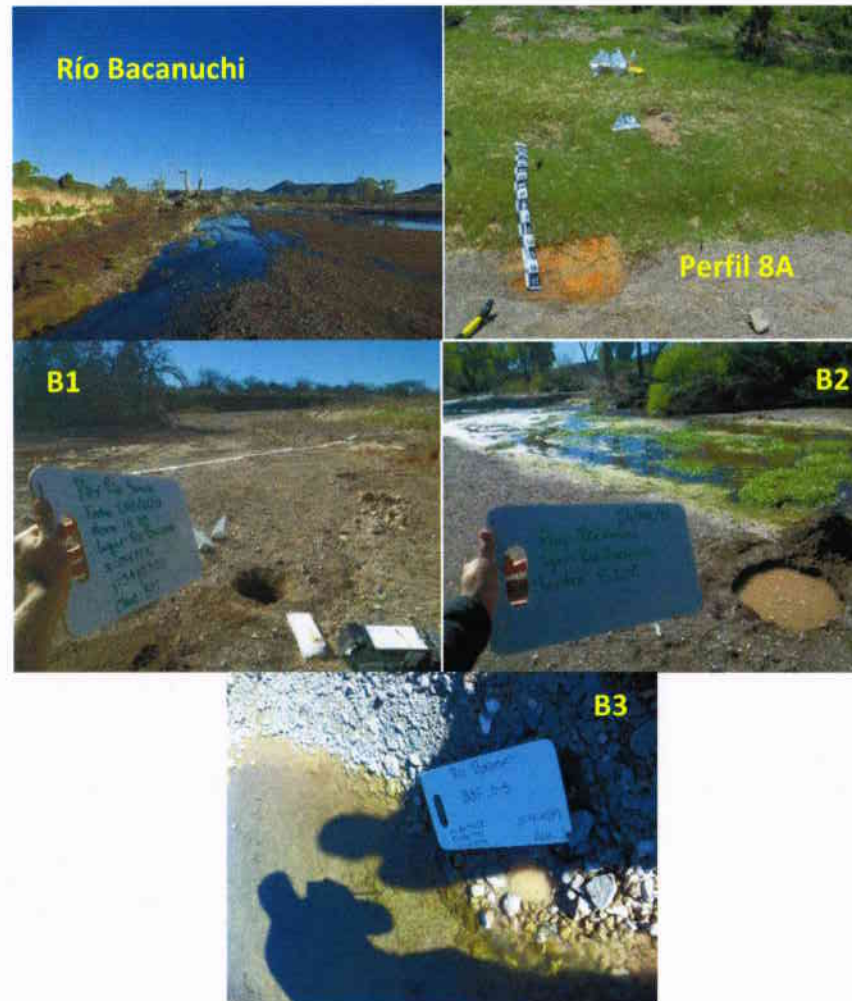


Foto 3. Imágenes representativas del río Bacanuchi, perfil 8A, B1, B2 y B3.

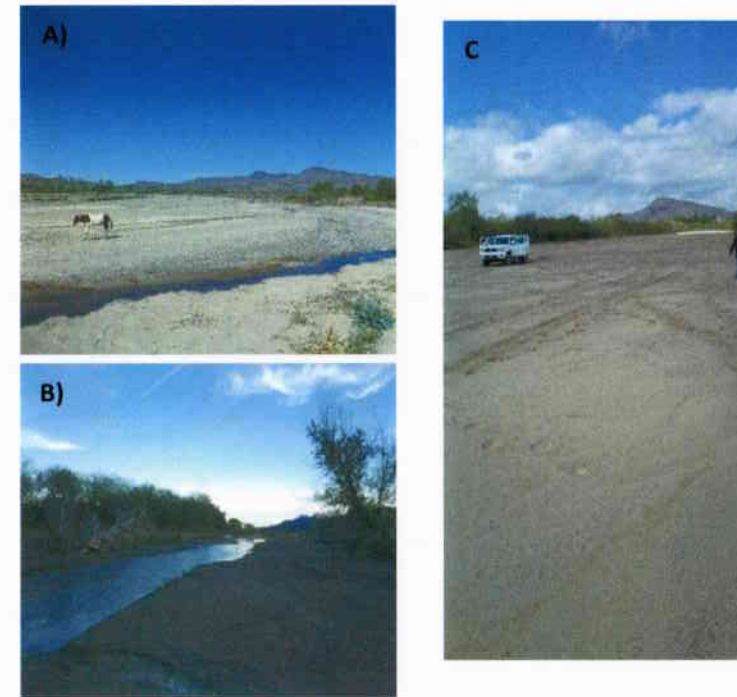


Foto 4. A) Río Sonora (S1), B) perfil S2 cercano al poblado de Aconchi y C) perfil S3, parte Sur del río Sonora.

## **El Molinito**

Área cercana a la presa El Molinito, dónde se realizaron dos muestreos. El primero corresponde a un Tributario de la presa, ubicado al Sur-Oeste de la misma, del cual se obtuvieron muestras de sus riberas y cauce. El segundo muestreo, corresponde a sedimentos de fondo dentro del vaso de la presa, ubicada al Sur del río Sonora y antes de llegar a la ciudad de Hermosillo (foto 5).

La geología del río Sonora y El Molinito, son similares y está representada por conglomerados de la Formación Baucarit y materiales cuaternarios aluviales y fluviales (Gutiérrez-Ruiz y Romero, 2015).



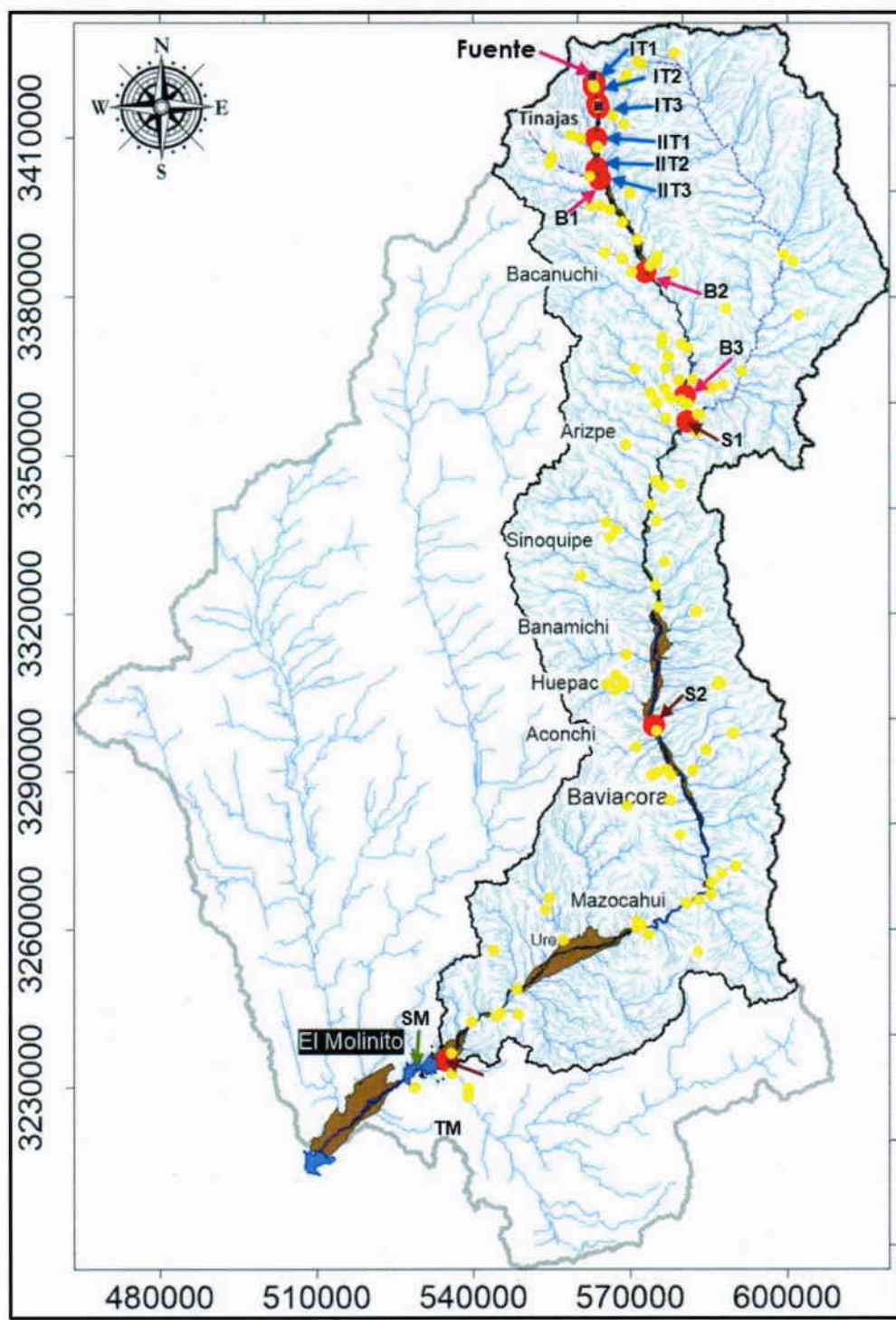
**Foto 5. A) Presa El Molinito y B) Tributario Molinito.**

## **Fondos**

Se seleccionaron muestras de los puntos A e I de los perfiles de Tinajas I y II, Bacanuchi y Sonora, como fondos del área, estas muestras se consideraron representativas de las condiciones naturales de la zona de estudio, al ubicarse en puntos distantes (100 m de ambas riberas) de los cuerpos de agua que tuvieron interacción con el derrame de la solución ácida.

## **Zanjas**

Representan excavaciones realizadas en los sitios de Tinajas y Bacanuchi en busca de materiales que pudieran ser representativos de contaminación residual debido al derrame de la solución ácida.



● Rocas ■ Fuente de Contaminación ● Perfiles Tinajas (IT-IIT), Bacanuchi (B1, B2, B3) y Sonora (S1, S2, S3).

**Figura 3. Fuente y perfiles muestreados en la zona de estudio.**

## **4. Análisis Realizados**

Se analizaron un total de 56 muestras de sedimentos para determinar las concentraciones de los Elementos de Tierras Raras (ETR), pH, conductividad eléctrica (CE) y, el contenido de Fe, Mn y  $\text{SO}_4^{2-}$  (tablas 5 a 12). En las muestras de rocas, únicamente se determinó el contenido de ETR, Fe y Mn. La metodología de análisis para los ETR se describe en el punto 4.1.

El grupo de Línea Base-ERNO, UNAM, proporcionó los análisis de ETR realizados en las 31 muestras de roca que se presentan en esta investigación, además de las concentraciones de Fe y Mn.

### **4.1 Elementos de Tierras Raras (ETR)**

Los ETR se analizaron en el Laboratorio de Química Ultrapura -LQU- del Instituto de Geología.

*Preparación de las muestras para análisis de ETR.* Las muestras fueron molidas y pulverizadas hasta obtener una granulometría inferior a malla 200, posteriormente fueron sometidas a una digestión multiácida (HF,  $\text{HClO}_4$ ,  $\text{HNO}_3$ , HCl) a bomba abierta, intercalada con periodos de evaporación a sequedad, sobre plancha caliente. Una vez finalizada la digestión se aforó a 50 mL con  $\text{HNO}_3$  2% (2x) y se preservaron en refrigeración hasta su análisis.

*Técnica Analítica.* La técnica analítica empleada fue la Espectrometría de Masas Cuadrupolar con Plasma Acoplado Inductivamente (Q-ICP-MS) en un equipo Agilent modelo 7500ce.

*Calidad Analítica.* Para evaluar la precisión del método, se analizaron muestras duplicadas. La exactitud del método fue evaluada analizando el material de referencia certificado SBC-1 Shale. Los análisis de las muestras duplicadas indican un error en la reproducibilidad entre 0.3 y 10.3 %, el porcentaje de error entre las concentraciones reportadas del material de referencia y las determinadas en este estudio variaron entre 2 y 11%, que son analíticamente aceptables.

#### 4.1.1 Normalización de resultados

La normalización de los resultados se realizó de acuerdo con los valores condriticos reportados por Nakamura (1984). El cálculo considera la concentración reportada, dividida entre la concentración medida respecto de cada elemento. Las concentraciones medidas, en todos los casos, se reportan en partes por millón (ppm).

#### 4.1.2 Cálculo Anomalías de Eu y Ce

El cálculo de la anomalía de Eu (ec. 1) se realizó de acuerdo con Shafiri et al., 2013. La anomalía de Ce (ec. 2) se calculó de acuerdo con Worral and Pearson (2001). En ambos casos se considera una anomalía negativa cuando el valor es menor a 1 y positiva cuando se supera la unidad.

$$^{*}Eu = \left( Eu_N / \sqrt{Sm_N * Gd_N} \right) \quad (1)$$

$$Ce_{anomalía} = \left( Ce_N / \sqrt{La_N * Pr_N} \right) \quad (2)$$

donde el subíndice N indica valores normalizados con respecto a la Condrita.

#### 4.2 Análisis de Fe, Mn

Técnica analítica. Las concentraciones de Fe y Mn fueron determinados por la técnica de emisión de plasma acoplado inductivamente (ICP) en el laboratorio de Geoquímica Ambiental del Instituto de Geología.

#### **4.2.1Determinación de Sulfatos solubles.**

Solubilización. Los sulfatos contenidos en las muestras se pusieron en solución a través de su agitación continua con agua en equilibrio con CO<sub>2</sub> y pH=5.5 en relación 1:20, por 18h a 200 rpm de acuerdo con la NOM-147-SEMARNAT/SSA1-2004 apartado B.2.3. El extracto fue recuperado con membranas de nitrocelulosa de 0.45 μm.

Técnica analítica. La determinación de los sulfatos se realizó por la técnica de Cromatografía de Iones con un equipo Metrohm 883 Basic IC Plus con detector de conductividad. Durante el análisis se empleó una columna empacada con una fase estacionaria de copolímero de divinil benceno modelo Metrosep A Supp 1 HS y una fase móvil 3.0 mM de Na<sub>2</sub>CO<sub>3</sub> con supresión química.

#### **4.3 Determinación de pH y CE,**

El pH y la CE se determinaron de acuerdo a la metodología establecida en el Laboratorio de Geoquímica Ambiental del Instituto de Geología.

- pH en H<sub>2</sub>O relación 1:5 material:agua
- Conductividad eléctrica (CE) en H<sub>2</sub>O relación 1:5 material:agua

La medición de pH se realizó en un equipo Denver Instrument Ultrabasic calibrado con las soluciones buffer de pH=4.01 y pH= 7.01. La medición de la conductividad eléctrica (CE) se realizó en un equipo OAKTON CON 700 calibrado con a 1413 μS/cm de acuerdo con el estándar empleado.

## 5. Resultados

### 5.1 Parámetros físico-químicos (pH y CE), contenido de Fe, Mn y SO<sub>4</sub><sup>2-</sup>.

Los valores de pH y CE variaron de ácidos a alcalinos en la zona. Los resultados se presentan en la tabla 5.

Los valores de pH y CE para las muestras de la Fuente, domina el pH ácido con elevadas CE (5.65 mS/cm, máxima). En los perfiles, las muestras de Tinajas I, tienen un pH <5 unidades pero la CE es elevada (231 µS/cm) para las muestras superficiales IT1E-5, IT2E-5, IT3E-5. El pH varió de ácido (3.8) a ligeramente alcalino (7.6) en Tinajas II y la CE máxima fue de 55.8 µS/cm. Los perfiles de Sonora y Bacanuchi tuvieron un pH alcalino entre 8.1 y 8.4, sin embargo, la CE alcanzó entre 128 y 189 µS/cm en 2 muestras de los perfiles de Sonora. En el resto de las muestras, la CE tuvo valores entre 41.1 y 78.3 µS/cm. Por el contrario, el perfil 8A tuvo un pH ácido y CE superiores a los 700 µS/cm. En las muestras de Fondos, el pH se conservó ácido para Tinajas I y II, pero neutro a alcalino para Sonora y Bacanuchi. En El Molinito (Tributario y Presa) el pH fue alcalino, en tanto que la CE superó los 200 µS/cm. Los valores de pH y CE muestran condiciones variables en el sitio de estudio. Sin embargo, en Tinajas I y en ciertos puntos de Tinajas II (IIT1E-5, IIT1E-25, IIT2E-50), así como, en el perfil 8A, el pH ácido se conserva. De igual manera, la CE es variable y exhibe picos que superan los 100 µS/cm y en ocasiones los 1000 µS/cm (perfil 8A), lo cual puede estar relacionado con una posible infiltración de la solución ácida, considerando la presencia de materiales de coloración ocre-rojiza y su cercanía a la fuente de contaminación. En los sitios de Sonora, Bacanuchi, El Molinito, las condiciones físico-químicas que predominan no sugieren la presencia de material impactado. Las muestras de las Zanjas en Tinajas, conservan valores de pH similares a los perfiles de este sitio variando de ácidos a cercanos a neutros, con CE entre 46.4 y 118.3 µS/cm. Así mismo, las Zanjas de Bacanuchi conservan condiciones de pH y CE similares a los perfiles de esta área.

Las concentraciones de Fe y Mn en la Fuente se reportan en mg/L para la muestra 31 al referirse a una muestra líquida representativa de la solución ácida derramada. En tanto que en el resto de las muestras, la concentración Fe se reporta en % y en mg/kg de Mn (tabla 5).

En los perfiles de Tinajas I y II, el Fe tuvo concentraciones de 0.831 a 3.90 %, predominando valores entre ~2.1 y 2.9 %. El Mn varió entre 334 y 692 mg/kg en la mitad de las muestras, el restante tuvo

concentraciones entre 740 y 2360 mg/kg. En los perfiles de Sonora, Bacanuchi y 8A las concentraciones de Fe oscilaron entre 1.33 y 6.47%, agrupando el perfil 8A las mayores concentraciones. Con respecto al Mn las muestras B1E-5, B3D-5, 25-8A reportan contenidos por arriba de los 600 mg/kg superando, en el caso de B1E-5, los 1000 mg/kg. En el resto de las muestras el Mn varió entre ~260 y 480 mg/kg (tabla 5).

Las concentraciones de Fe en El Molinito, se conservan entre 2.05 y 3.29% en las muestras del Tributario, al igual que en las muestras de la Presa, cuyas concentraciones variaron entre 2.86 y 3.19%. El Mn, en el Tributario superó los 400 mg/kg pero en la Presa la concentración de este elemento varió entre 550 y 874 mg/kg (tabla 5). En las muestras de Fondos de Tinajas I y II, el Fe tuvo concentraciones similares a El Molinito (entre 2.42 y 3.96%); en el caso de Sonora y Bacanuchi, las concentraciones de Fe fueron similares entre sí (1.70-2.22%). Las mayores concentraciones de Mn se determinaron en los Fondos de Tinajas I y II, entre 555 y 1009 mg/kg; en el caso de los Fondos de Sonora y Bacanuchi la concentración de Mn fue similar entre ambos sitios (420-516 mg/kg) – tabla 5-. En las Zanjas de Tinajas, el Fe varió entre 2.83 y 4.04% mientras que en Bacanuchi tuvo concentraciones de 3.91 y 2.84%. El Mn, entre 637 y ~1300 mg/kg en Zanjas de Tinajas, en tanto que en las de Bacanuchi, tuvo concentraciones cercanas a los 800 mg/kg.

El contenido de estos elementos en las rocas fue variable, el Fe tuvo concentraciones desde 0.15% hasta 9.95%, agrupando las menores concentraciones las rocas cercanas a Baviacora. En caso del Mn, las concentraciones determinadas variaron desde inferiores al límite de detección (<LD) hasta >5000 mg/kg (tabla 6). La variación en las concentraciones de Fe y Mn evidencia la heterogeneidad de los materiales geológicos que aportan estos elementos al sitio afectado por el derrame y su distribución a lo largo del cauce del río Sonora. Deja al descubierto un importante aporte natural por erosión de la cuenca.

Las concentraciones de sulfatos se determinaron en muestras seleccionadas de los sitios estudiados. Los mayores contenidos de sulfatos se determinaron en la muestra 14 de la Fuente y las muestras de Tinajas I, con concentraciones variando entre 80 y 1000 mg/kg. En Tinajas II, Bacanuchi, perfil 8A, Sonora, Tributario El Molinito, las concentraciones fueron inferiores a 80 mg/kg. La muestra 29, de la Fuente, tuvo una concentración similar a Tinajas II con 79.2 mg/kg. Las menores concentraciones se detectaron en B4A.5 con 5.6 mg/kg (muestra Zanja de Bacanuchi) y en IIT2A-5 (muestra de Fondo

Tinajas II) con 15.6 mg/kg. Por el contrario, los Fondos de Tinajas I y Sonora superaron los 100 mg/kg. La concentración de sulfatos en muestras de la Presa El Molinito fueron elevadas (631-1005 mg/kg). En las muestras T8A.5, T8A.100-120, T1-1A.5, de las Zanjas de Tinajas, los sulfatos oscilaron en concentraciones de 90.4, 225 y 329 mg/kg. En las muestras remanentes de las Zanjas (T1-1A.30-40 y B4A.55-65), los sulfatos tuvieron concentraciones de 66.3 y 65.5 mg/kg, similares a los perfiles de Sonora (tabla 7).

| ID Muestra        | pH   | CE<br>(mS/cm) | Fe (%) | Mn<br>(mg/kg) |
|-------------------|------|---------------|--------|---------------|
| <b>Fuente</b>     |      |               |        |               |
| 14                | 3.5  | 0.399         | 1.83   | 470           |
| 29                | 2.39 | 2.14          | 4.30   | 666           |
| 31                | 2.19 | 5.65          | 55.6*  | 14.43*        |
| <b>Tinajas I</b>  |      |               |        |               |
| IT1E-5            | 4.5  | 105.1         | 0.831  | 741           |
| IT1E-25           | 4.6  | 71.3          | 1.07   | 763           |
| IT1E-50           | 4.8  | 37.9          | 2.42   | 660           |
| IT2E-5            | 5.7  | 231           | 2.46   | 1091          |
| IT2E-25           | 4.7  | 71.4          | 2.19   | 513           |
| IT2E-50           | 4.6  | 63.1          | 2.65   | 692           |
| IT3E-5            | 4.2  | 105.3         | 1.30   | 393           |
| IT3E-25           | 4.4  | 39.8          | 3.07   | 680           |
| IT3E-50           | 4.3  | 41.3          | 2.87   | 1043          |
| <b>Tinajas II</b> |      |               |        |               |
| IIT1E-5           | 5.8  | 21.8          | 2.92   | 2360          |
| IIT1E-25          | 5.7  | 24.2          | 2.14   | 666           |
| IIT1E-50          | 6.1  | 55.8          | 2.52   | 752           |
| IIT2E-5           | 7.6  | 46.6          | 2.98   | 798           |
| IIT2E-25          | 7    | 30.1          | 3.79   | 1169          |
| IIT2E-50          | 3.8  | 39.8          | 2.66   | 334           |
| IIT3E-5           | 6.4  | 21.6          | 2.48   | 572           |
| IIT3E-25          | 6.2  | 29.6          | 2.20   | 413           |
| IIT3E-50          | 6.5  | 35.9          | 3.90   | 1146          |
| <b>Bacanuchi</b>  |      |               |        |               |
| B1E-5             | 8.1  | 46.1          | 2.38   | 1740          |
| B2E-5             | 8.1  | 68.4          | 2.07   | 395           |
| B3D-5             | 8.1  | 78.3          | 5.59   | 751           |

| ID Muestra                   | pH  | CE (mS/cm) | Fe (%) | Mn (mg/kg) |
|------------------------------|-----|------------|--------|------------|
| <b>*Perfil 8<sup>a</sup></b> |     |            |        |            |
| 23-8A                        | 5.5 | 760        | 5.69   | 480        |
| 25-8A                        | 4.5 | 1567       | 5.71   | 634        |
| 29-8A                        | 5.1 | 2390       | 6.47   | 264        |
| <b>Sonora</b>                |     |            |        |            |
| S1D-5                        | 8.1 | 41.1       | 3.16   | 441        |
| S1E-5                        | 8.2 | 72.1       | 1.33   | 277        |
| S1F-5                        | 8.2 | 128.2      | 2.24   | 357        |
| S2D-5                        | 8.1 | 189.5      | 1.74   | 366        |
| S2E-5                        | 8.4 | 67.2       | 1.73   | 338        |
| S2F-5                        | 8.2 | 65.9       | 1.61   | 429        |
| <b>Fondos Tinajas I y II</b> |     |            |        |            |
| IT2A-5                       | 4.4 | 77.1       | 3.51   | 620        |
| IT2I-5                       | 4.7 | 24.5       | 3.96   | 555        |
| IIT2A-5                      | 6.1 | 33.8       | 2.87   | 881        |
| IIT2I-5                      | 6.5 | 60.9       | 2.42   | 1009       |
| <b>Bacanuchi</b>             |     |            |        |            |
| B2A-5                        | 7.5 | 217        | 1.70   | 516        |
| B2I-5                        | 8.1 | 75.2       | 2.20   | 448        |
| <b>Sonora</b>                |     |            |        |            |
| S2A-5                        | 7.7 | 121.3      | 2.22   | 474        |
| S2I-5                        | 7.5 | 96.4       | 1.70   | 420        |
| <b>Tributario</b>            |     |            |        |            |
| Sd-1A 0-5                    | 8.5 | 53.6       | 2.05   | 304        |
| Sd-1B 0-5                    | 8.4 | 96         | 3.29   | 318        |
| Sd-1C 0-5                    | 8.3 | 175.3      | 2.97   | 443        |
| <b>Presa Molinito</b>        |     |            |        |            |
| SdMo-01                      | 8.4 | 160.6      | 3.08   | 852        |
| SdMo-02                      | 8.3 | 193        | 3.08   | 874        |
| SdMo-04                      | 8.3 | 158.7      | 3.07   | 857        |

| ID Muestra             | pH   | CE (μS/cm) | Fe (%) | Mn (mg/Kg) |
|------------------------|------|------------|--------|------------|
| <b>Presas Molinito</b> |      |            |        |            |
| SdMo-06                | 8.2  | 260        | 2.87   | 621        |
| SdMo-07                | 8.3  | 204        | 3.09   | 768        |
| SdMo-08                | 8.2  | 238        | 3.19   | 834        |
| SdMo-09                | 8.1  | 277        | 2.86   | 550        |
| SdMo-13                | 8.0  | 233        | 2.99   | 808        |
| SdMo-19                | 8.4  | 123.6      | 2.96   | 791        |
| SdMo-20                | 8.2  | 192.2      | 2.91   | 789        |
| <b>Zanjas</b>          |      |            |        |            |
| <b>Tinajas</b>         |      |            |        |            |
| T1-1A                  | 6.89 | 118.3      | 2.94   | 1334       |
| T1-1A                  | 4.31 | 92.5       | 4.04   | 637        |
| T8-A                   | 6.98 | 46.4       | 2.83   | 707        |
| T8-A                   | 5.3  | 82         | 2.91   | 773        |
| <b>Bacanuchi</b>       |      |            |        |            |
| B4-A                   | 8.12 | 58.9       | 3.91   | 790        |
| B4-A                   | 7.55 | 44.6       | 2.84   | 850        |

Tabla 5. Parámetros físico-químicos de los sitios estudiados en Cananea, Sonora.

| Muestra          | Fe (%) | Mn (mg/kg) |
|------------------|--------|------------|
| <b>Tinajas</b>   |        |            |
| T-03             | 9.95   | 70         |
| T-04             | 4.07   | 630        |
| T-05             | 4.94   | 930        |
| R1               | 0.150  | <LD        |
| R2               | 2.29   | 540        |
| Sta. Isabel      | 8.15   | 176        |
| <b>Bacanuchi</b> |        |            |
| Bc-06            | 3.41   | 880        |
| Bc-130           | 4.23   | 320        |
| Bc-133           | 9.31   | 1460       |
| Bc-135           | 5.18   | 540        |
| R4-Cg            | 2.20   | 380        |
| <b>Arizpe</b>    |        |            |
| Az-75            | 5.74   | 970        |
| Az-131           | 3.58   | 610        |
| Az-151           | 5.5    | 80         |
| Az-153           | 0.850  | 380        |
| R3               | 5.96   | 1030       |
| <b>Sinoquipe</b> |        |            |
| S-100            | 0.89   | 730        |
| S-123            | 2.08   | 460        |
| S-150            | 5.15   | 340        |
| S-155            | 1.3    | 420        |
| S-158            | 5.89   | 1010       |
| S1-BLANCA        | 2.74   | 330        |
| R5               | 2.41   | 5480       |
| <b>Banamichi</b> |        |            |
| Bn-122           | 9.71   | 1240       |
| <b>Huépac</b>    |        |            |
| H-19             | 2.73   | 700        |
| H-51             | 3.7    | 770        |
| <b>Aconchi</b>   |        |            |
| Ac-43            | 6.83   | 990        |
| AC1-BLANCA       | 7.32   | 3650       |
| <b>Baviácora</b> |        |            |
| Bv-10            | 1.79   | 80         |
| Bv-11            | 1.05   | 320        |
| Bv-12            | 5.62   | 1180       |
| Bv-14            | 1.06   | 50         |
| Bv-26            | 2.58   | 560        |
| Bv-52            | 6.59   | 1210       |
| Bv-55            | 0.950  | 300        |
| <b>Ures</b>      |        |            |
| U-30             | 1.53   | 580        |
| U-32             | 3.03   | 790        |
| U-34             | 2.36   | 570        |
| RMO-1            | 3.20   | 640        |

Tabla 6. Contenido de Fe y Mn en rocas del área de estudio.

| ID Muestra                     | SO <sub>4</sub> <sup>2-</sup> (mg/kg) |
|--------------------------------|---------------------------------------|
| <b>Fuente</b>                  |                                       |
| 14                             | 107                                   |
| 29                             | 79.2                                  |
| <b>Perfiles Tinajas I y II</b> |                                       |
| IT1E-5                         | 297                                   |
| IT2E-5                         | 1018                                  |
| IT3E-5                         | 254                                   |
| IIT1E-5                        | 52.3                                  |
| IIT2E-5                        | 32.4                                  |
| IIT3E-5                        | 78.2                                  |
| <b>Bacanuchi</b>               |                                       |
| B2E-5                          | 73.0                                  |
| B2A-5                          | 21.9                                  |
| <b>Sonora</b>                  |                                       |
| S1E-5                          | 66.9                                  |
| S2E-5                          | 67.9                                  |
| <b>Fondos Tinajas y Sonora</b> |                                       |
| IT2A-5                         | 172                                   |
| IIT2A-5                        | 15.6                                  |
| S2A-5                          | 165                                   |
| <b>El Molinito</b>             |                                       |
| <b>Tributario</b>              |                                       |
| Sd-1B 0-5                      | 69.8                                  |
| <b>Presa</b>                   |                                       |
| SdMo-01                        | 631                                   |
| SdMo-06                        | 954                                   |
| SdMo-08                        | 1005                                  |
| <b>Zanjas</b>                  |                                       |
| T1-1A.5                        | 329                                   |
| T1-1A.30-40                    | 66.3                                  |
| T8A.5                          | 90.4                                  |
| T8A.100-120                    | 225                                   |
| B4A.5                          | 5.6                                   |
| B4A.55-65                      | 65.5                                  |

Tabla 7. Sulfatos en muestras seleccionadas

## **5.2 Elementos de Tierras Raras**

### **5.2.1 Resultados No Normalizados**

En las tablas 8-12a, se incluyen los resultados analíticos y la estadística básica (concentración mínima, concentración máxima y concentración promedio). Para las áreas donde existen dos muestras se reporta el valor promedio. En el caso de las gráficas, se consideraron los valores mínimos, máximos y promedio. Para los sitios en los cuales existe una muestra, ésta, se graficó en conjunto con aquellas zonas en las que se reporta el valor promedio de dos o más muestras.

En general, las mayores concentraciones de ETR se detectaron en los sitios de la Fuente, Tinajas I y II, superando las 100 ppm, especialmente en ETR-Ligeras (tabla 8). En las rocas, las concentraciones de ETR-Ligeras fueron variables y similares a la Fuente y Tinajas, con excepción de Baviácora cuyas concentraciones fueron menores (con respecto de la Fuente y Tinajas II) pero, similares a las de los perfiles de Bacanuchi, Sonora, perfil 8A, Fondos, Tributario y Presa El Molinito, Zanjas (tablas 9-12a).

La tendencia general de los resultados no normalizados es hacia un enriquecimiento en los elementos de tierras raras ligeras (ETR-Ligeras), el cual se expone en las gráficas 1 y 2. Por el contrario, el empobrecimiento en ETR-Pesadas, coincide con las menores concentraciones de estos en todas las muestras incluyendo las rocas de los sitios estudiados (gráfica 3).

| Proveniencia                  | Muestra                     | Elementos de Tierras Raras (ppm) No Normalizadas |      |       |       |       |       |       |       |       |       |       |       |       |       |
|-------------------------------|-----------------------------|--|------|-------|-------|-------|-------|-------|-------|-------|-------|-------|-------|-------|-------|
|                               |                             | La   | Ce   | Pr    | Nd    | Sm    | Eu    | Gd    | Tb    | Dy    | Ho    | Er    | Tm    | Yb    | Lu    |
| Fuente                        | 14                          | 40.2   | 90.1 | 8.77  | 30.6  | 5.55  | 0.41  | 5.14  | 2.68  | 3.65  | 1.09  | 3.31  | 0.5   | 3.56  | 0.535 |
|                               | 29                          | 53.7   | 106  | 12.62 | 55.2  | 8.36  | 1.71  | 7.6   | 3.49  | 3.59  | 1.00  | 3.19  | 0.4   | 2.39  | 0.365 |
|                               | 31                          | 1002   | 2377 | 232   | 885   | 193   | 31.9  | 210   | 29.9  | 160   | 29.49 | 79.9  | 9.74  | 60.2  | 7.73  |
| <b>Concentración mínima</b>   |                             | 40.2   | 90.1 | 8.77  | 30.6  | 5.55  | 0.41  | 5.14  | 2.68  | 3.59  | 1     | 3.19  | 0.4   | 2.39  | 0.365 |
| <b>Concentración máxima</b>   |                             | 1002   | 2377 | 232   | 885   | 193   | 31.9  | 210   | 29.92 | 160   | 29.49 | 79.9  | 9.74  | 60.2  | 7.73  |
| <b>Concentración promedio</b> |                             | 365  | 858  | 84.5  | 323   | 69    | 11.35 | 74.2  | 12.03 | 55.6  | 10.53 | 28.79 | 3.55  | 22.05 | 2.88  |
| Tinajas I                     | IT1E5                       | 72.5   | 151  | 14.53 | 54.82 | 10.6  | 0.68  | 10.84 | 1.54  | 8.9   | 1.85  | 5.41  | 0.76  | 5.22  | 0.77  |
|                               | IT1E25                      | 59.6   | 121  | 12.49 | 44.66 | 8.75  | 0.69  | 8.96  | 1.33  | 7.76  | 1.63  | 4.77  | 0.68  | 4.69  | 0.71  |
|                               | IT1E50                      | 42.8   | 133  | 9.98  | 37.67 | 8.24  | 1.06  | 8.75  | 1.37  | 8.44  | 1.86  | 5.65  | 0.86  | 6.18  | 0.96  |
|                               | IT2E-5                      | 55.7   | 110  | 11.91 | 43.6  | 8.63  | 0.77  | 8.86  | 1.33  | 7.84  | 1.65  | 4.8   | 0.69  | 4.66  | 0.7   |
|                               | IT2E-25                     | 36   | 82.3 | 8.27  | 31.12 | 6.44  | 1.02  | 6.5   | 0.97  | 5.65  | 1.2   | 3.47  | 0.51  | 3.49  | 0.53  |
|                               | IT2E-50                     | 24.14  | 78.4 | 5.41  | 20.57 | 4.47  | 0.56  | 4.87  | 0.72  | 4.21  | 0.9   | 2.61  | 0.39  | 2.69  | 0.41  |
|                               | IT3E-5                      | 34.8   | 63   | 7.33  | 26.85 | 5.16  | 0.89  | 5.13  | 0.75  | 4.29  | 0.92  | 2.74  | 0.42  | 2.89  | 0.46  |
|                               | IT3E-25                     | 23.17  | 63.7 | 5.55  | 21.38 | 4.62  | 0.85  | 4.77  | 0.72  | 4.24  | 0.91  | 2.69  | 0.4   | 2.81  | 0.44  |
|                               | IT3E-50                     | 37.8   | 70.7 | 8.23  | 30.72 | 6.03  | 1.07  | 5.77  | 0.83  | 4.55  | 0.96  | 2.78  | 0.41  | 2.85  | 0.45  |
|                               | <b>Concentración mínima</b> | 23.17  | 63   | 5.41  | 20.57 | 4.47  | 0.56  | 4.77  | 0.72  | 4.21  | 0.9   | 2.61  | 0.39  | 2.69  | 0.41  |
| <b>Concentración máxima</b>   |                             | 72.5   | 151  | 14.5  | 54.8  | 10.6  | 1.07  | 10.8  | 1.54  | 8.9   | 1.86  | 5.65  | 0.86  | 6.18  | 0.96  |
| <b>Concentración promedio</b> |                             | 42.9   | 97   | 9.3   | 34.6  | 6.99  | 0.843 | 7.16  | 1.06  | 6.21  | 1.32  | 3.88  | 0.569 | 3.94  | 0.603 |
| Tinajas II                    | IIT1E-5                     | 41.8   | 81.6 | 9.25  | 35.59 | 7.31  | 1.53  | 7.54  | 1.05  | 5.84  | 1.2   | 3.45  | 0.49  | 3.37  | 0.52  |
|                               | IIT1E-25                    | 30.7   | 81.9 | 6.6   | 25.07 | 5.03  | 1.21  | 5.22  | 0.74  | 4.18  | 0.89  | 2.58  | 0.39  | 2.67  | 0.43  |
|                               | IIT1E-50                    | 25.97  | 50   | 5.59  | 21.52 | 4.44  | 1.01  | 4.39  | 0.68  | 3.91  | 0.85  | 2.49  | 0.39  | 2.64  | 0.42  |
|                               | IIT2E-5                     | 30.3   | 54.3 | 6.13  | 22.38 | 4.27  | 0.93  | 4.26  | 0.6   | 3.35  | 0.72  | 2.15  | 0.33  | 2.27  | 0.36  |
|                               | IIT2E-25                    | 32.1   | 64.7 | 7.05  | 26.16 | 5.11  | 1.13  | 5.08  | 0.715 | 3.96  | 0.835 | 2.44  | 0.36  | 2.48  | 0.39  |
|                               | IIT2E-50                    | 107  | 74.8 | 56.4  | 42.8  | 25.38 | 15.11 | 18.38 | 12.85 | 11.31 | 10.73 | 10.55 | 10.1  | 10.89 | 11.16 |
|                               | IIT3E-5                     | 32   | 52.4 | 6.83  | 25.06 | 4.66  | 1.14  | 4.44  | 0.59  | 3.13  | 0.646 | 1.85  | 0.275 | 1.84  | 0.293 |
|                               | IIT3E-25                    | 30.3   | 54.8 | 6.47  | 23.85 | 4.46  | 1.1   | 4.35  | 0.57  | 3.02  | 0.622 | 1.73  | 0.26  | 1.71  | 0.279 |
|                               | IIT3E-50                    | 31.8   | 55   | 6.67  | 24.39 | 4.55  | 1.16  | 4.45  | 0.6   | 3.19  | 0.66  | 1.85  | 0.278 | 1.82  | 0.294 |
| <b>Concentración mínima</b>   |                             | 25.97  | 50   | 5.59  | 21.52 | 4.27  | 0.93  | 4.26  | 0.57  | 3.02  | 0.622 | 1.73  | 0.26  | 1.71  | 0.279 |
| <b>Concentración máxima</b>   |                             | 107  | 81.9 | 56.4  | 42.8  | 25.38 | 15.11 | 18.38 | 12.85 | 11.31 | 10.73 | 10.55 | 10.1  | 10.9  | 11.16 |
| <b>Concentración promedio</b> |                             | 40.2   | 63.3 | 12.33 | 27.42 | 7.25  | 2.7   | 6.46  | 2.04  | 4.65  | 1.91  | 3.23  | 1.43  | 3.3   | 1.57  |

Tabla 8. Concentraciones sin normalizar de los Elementos de Tierras Raras en la Fuente y perfiles de Tinajas I y II.

| Proveniencia                  | Muestra                       | Elementos de Tierras Raras (ppm) No Normalizadas |       |       |       |      |      |       |       |       |       |       |       |       |       |
|-------------------------------|-------------------------------|--|-------|-------|-------|------|------|-------|-------|-------|-------|-------|-------|-------|-------|
|                               |                               | La   | Ce    | Pr    | Nd    | Sm   | Eu   | Gd    | Tb    | Dy    | Ho    | Er    | Tm    | Yb    | Lu    |
| <b>Bacanuchi</b>              | B1E 5                         | 41.5   | 82.4  | 9.25  | 34.7  | 6.7  | 1.55 | 6.66  | 0.933 | 5.11  | 1.04  | 2.93  | 0.415 | 2.77  | 0.423 |
|                               | B2E-5                         | 38.4   | 67.9  | 8.5   | 31.9  | 6.06 | 1.48 | 5.88  | 0.756 | 3.84  | 0.767 | 2.1   | 0.304 | 1.97  | 0.311 |
|                               | B3D-5                         | 37.9   | 66.6  | 8.14  | 30.8  | 5.86 | 1.45 | 5.66  | 0.751 | 3.9   | 0.793 | 2.19  | 0.32  | 2.1   | 0.332 |
|                               | <b>Concentración mínima</b>   | 37.9   | 66.6  | 8.14  | 30.8  | 5.86 | 1.45 | 5.66  | 0.751 | 3.84  | 0.767 | 2.1   | 0.304 | 1.97  | 0.311 |
| <b>Perfil 8A</b>              | <b>Concentración máxima</b>   | 41.5   | 82.4  | 9.25  | 34.7  | 6.7  | 1.55 | 6.66  | 0.933 | 5.11  | 1.04  | 2.93  | 0.415 | 2.77  | 0.423 |
|                               | <b>Concentración promedio</b> | 39.3   | 72.3  | 8.63  | 32.5  | 6.21 | 1.49 | 6.07  | 0.813 | 4.28  | 0.867 | 2.41  | 0.346 | 2.28  | 0.355 |
|                               | 23-8A                         | 32.1   | 59.6  | 7.17  | 27.06 | 5.31 | 1.26 | 5.18  | 0.715 | 3.85  | 0.792 | 2.23  | 0.319 | 2.14  | 0.33  |
|                               | 25-8A                         | 30.9   | 59.1  | 6.76  | 25.38 | 4.92 | 1.17 | 4.79  | 0.655 | 3.53  | 0.732 | 2.07  | 0.299 | 2.02  | 0.314 |
| <b>Sonora</b>                 | 29-8A                         | 25.01  | 49    | 5.7   | 21.73 | 4.3  | 1.09 | 4.07  | 0.567 | 3.03  | 0.62  | 1.71  | 0.252 | 1.65  | 0.263 |
|                               | <b>Concentración mínima</b>   | 25.01  | 49    | 5.7   | 21.73 | 4.3  | 1.09 | 4.07  | 0.567 | 3.03  | 0.62  | 1.71  | 0.252 | 1.65  | 0.263 |
|                               | <b>Concentración máxima</b>   | 32.1   | 59.6  | 7.17  | 27.06 | 5.31 | 1.26 | 5.18  | 0.715 | 3.85  | 0.792 | 2.23  | 0.319 | 2.14  | 0.33  |
|                               | <b>Concentración promedio</b> | 29.34  | 55.9  | 6.54  | 24.72 | 4.84 | 1.17 | 4.68  | 0.646 | 3.47  | 0.715 | 2     | 0.29  | 1.94  | 0.302 |
| <b>Concentración mínima</b>   | S1D-5                         | 34.1   | 59.8  | 7.35  | 27.59 | 5.27 | 1.33 | 5.08  | 0.688 | 3.61  | 0.741 | 2.07  | 0.304 | 2.02  | 0.325 |
|                               | S1E-5                         | 32.2   | 54.8  | 7.21  | 27.04 | 5.18 | 1.35 | 4.96  | 0.669 | 3.51  | 0.721 | 2.01  | 0.297 | 1.97  | 0.315 |
|                               | S1F-5                         | 37.7   | 68.8  | 8.24  | 31.1  | 5.97 | 1.43 | 5.85  | 0.801 | 4.28  | 0.877 | 2.46  | 0.357 | 2.36  | 0.37  |
|                               | S2D-5                         | 36.7   | 65.9  | 8.04  | 30.2  | 5.87 | 1.34 | 5.76  | 0.786 | 4.19  | 0.855 | 2.43  | 0.349 | 2.36  | 0.366 |
|                               | S2E-5                         | 23.37  | 21.19 | 5.44  | 20.8  | 4.23 | 1.06 | 3.97  | 0.595 | 3.33  | 0.696 | 1.98  | 0.299 | 2.05  | 0.326 |
|                               | S2F-5                         | 32.7   | 56.1  | 6.73  | 24.81 | 4.72 | 1.18 | 4.75  | 0.637 | 3.39  | 0.704 | 1.97  | 0.289 | 1.93  | 0.308 |
|                               | <b>Concentración máxima</b>   | 37.7   | 68.8  | 8.24  | 31.1  | 5.97 | 1.43 | 5.85  | 0.801 | 4.28  | 0.877 | 2.46  | 0.357 | 2.36  | 0.37  |
| <b>Concentración promedio</b> | 32.8                          | 54.4   | 7.17  | 26.92 | 5.21  | 1.28 | 5.06 | 0.696 | 3.72  | 0.766 | 2.15  | 0.316 | 2.12  | 0.335 |       |

Tabla 9. Concentraciones sin normalizar de los Elementos de Tierras Raras en los perfiles de Bacanuchi, 8A, Sonora.

| Proveniencia                  | Muestra | Elementos de Tierras Raras (ppm) No Normalizadas |      |       |       |      |      |      |       |      |       |      |       |      |       |
|-------------------------------|---------|--|------|-------|-------|------|------|------|-------|------|-------|------|-------|------|-------|
|                               |         | La   | Ce   | Pr    | Nd    | Sr   | Eu   | Gd   | Tb    | Dy   | Ho    | Er   | Tm    | Yb   | Lu    |
| <b>Fondos Tinajas I y II</b>  | IT2A-5  | 39.2   | 83.2 | 9.19  | 34.5  | 6.69 | 1.36 | 6.41 | 0.877 | 4.78 | 0.976 | 2.76 | 0.393 | 2.65 | 0.41  |
|                               | IT2I-5  | 37.2   | 70.4 | 7.74  | 27.99 | 5.29 | 1.29 | 5.22 | 0.729 | 4.13 | 0.872 | 2.57 | 0.385 | 2.69 | 0.426 |
|                               | IIT2A-5 | 41.5   | 80   | 9.25  | 34.4  | 6.77 | 1.5  | 6.66 | 0.927 | 5.19 | 1.07  | 3.1  | 0.45  | 3.1  | 0.484 |
|                               | IIT2I-5 | 42.1   | 85.8 | 9.64  | 36.4  | 7.16 | 1.52 | 7.08 | 1     | 5.57 | 1.13  | 3.2  | 0.458 | 3.1  | 0.477 |
| <b>Concentración mínima</b>   |         | 37.2   | 70.4 | 7.74  | 27.99 | 5.29 | 1.29 | 5.22 | 0.729 | 4.13 | 0.872 | 2.57 | 0.385 | 2.65 | 0.41  |
| <b>Concentración máxima</b>   |         | 42.1   | 85.8 | 9.64  | 36.4  | 7.16 | 1.52 | 7.08 | 1     | 5.57 | 1.13  | 3.2  | 0.458 | 3.1  | 0.484 |
| <b>Concentración promedio</b> |         | 40   | 79.8 | 8.95  | 33.3  | 6.48 | 1.42 | 6.34 | 0.884 | 4.92 | 1.01  | 2.91 | 0.421 | 2.89 | 0.449 |
| <b>Fondos Bacanuchi</b>       | B2A-5   | 35.4   | 66.2 | 7.99  | 30.2  | 5.91 | 1.32 | 5.67 | 0.785 | 4.29 | 0.864 | 2.46 | 0.349 | 2.36 | 0.373 |
|                               | B2I-5   | 38.4   | 72.3 | 8.76  | 33.2  | 6.38 | 1.5  | 6.31 | 0.858 | 4.55 | 0.912 | 2.58 | 0.363 | 2.46 | 0.379 |
| <b>Concentración promedio</b> |         | 36.9   | 69.3 | 8.37  | 31.7  | 6.15 | 1.41 | 5.99 | 0.821 | 4.42 | 0.888 | 2.52 | 0.356 | 2.41 | 0.376 |
| <b>Fondos Sonora</b>          | S2A-5   | 44.4   | 81.9 | 9.96  | 37.6  | 7.39 | 1.68 | 7.26 | 1.01  | 5.48 | 1.11  | 3.16 | 0.449 | 3.04 | 0.47  |
|                               | S2I-5   | 46.7   | 85.9 | 10.14 | 37.5  | 7.28 | 1.57 | 7.15 | 0.971 | 5.14 | 1.03  | 2.91 | 0.408 | 2.8  | 0.434 |
| <b>Concentración promedio</b> |         | 45.5   | 83.9 | 10.05 | 37.6  | 7.34 | 1.63 | 7.21 | 0.99  | 5.31 | 1.07  | 3.03 | 0.428 | 2.92 | 0.452 |
| <b>Tributario El Molinito</b> | TM1A-5  | 43.8   | 78.4 | 9.11  | 33.4  | 6.35 | 1.5  | 6.28 | 0.866 | 4.67 | 0.95  | 2.7  | 0.388 | 2.64 | 0.409 |
|                               | TM1B-5  | 40.7   | 72.8 | 8.97  | 33.4  | 6.39 | 1.52 | 6.37 | 0.867 | 4.7  | 0.958 | 2.75 | 0.393 | 2.68 | 0.419 |
|                               | TM1C-5  | 39.8   | 77.2 | 9.14  | 34.6  | 6.91 | 1.59 | 6.89 | 0.952 | 5.2  | 1.05  | 2.95 | 0.413 | 2.8  | 0.428 |
| <b>Concentración mínima</b>   |         | 39.8   | 72.8 | 8.97  | 33.4  | 6.35 | 1.5  | 6.28 | 0.866 | 4.67 | 0.95  | 2.7  | 0.388 | 2.64 | 0.409 |
| <b>Concentración máxima</b>   |         | 43.8   | 78.4 | 9.14  | 34.6  | 6.91 | 1.59 | 6.89 | 0.952 | 5.2  | 1.05  | 2.95 | 0.413 | 2.8  | 0.428 |
| <b>Concentración promedio</b> |         | 41.4   | 76.1 | 9.07  | 33.8  | 6.55 | 1.53 | 6.51 | 0.895 | 4.86 | 0.986 | 2.8  | 0.398 | 2.71 | 0.419 |
| <b>Presa El Molinito</b>      | SM-1    | 42.1   | 79.9 | 9.38  | 35.3  | 6.97 | 1.47 | 6.92 | 0.957 | 5.19 | 1.06  | 3.03 | 0.429 | 2.9  | 0.454 |
|                               | SM-2    | 41.6   | 81.9 | 9.33  | 34.5  | 6.75 | 1.43 | 6.59 | 0.904 | 4.83 | 0.975 | 2.77 | 0.391 | 2.67 | 0.406 |
|                               | SM-4    | 44.2   | 85   | 9.77  | 36.8  | 7.2  | 1.52 | 7.18 | 0.983 | 5.28 | 1.07  | 3.01 | 0.425 | 2.88 | 0.444 |
|                               | SM-6    | 40.7   | 76.1 | 8.91  | 33.3  | 6.54 | 1.42 | 6.46 | 0.89  | 4.81 | 0.973 | 2.77 | 0.389 | 2.64 | 0.404 |
|                               | SM-7    | 45.5   | 86.5 | 9.95  | 37.6  | 7.41 | 1.56 | 7.43 | 1.02  | 5.51 | 1.11  | 3.15 | 0.442 | 3.01 | 0.464 |
|                               | SM-8    | 43.1   | 82.7 | 9.58  | 35.8  | 6.99 | 1.51 | 6.87 | 0.939 | 5.05 | 1.02  | 2.9  | 0.407 | 2.76 | 0.424 |
|                               | SM-9    | 41.4   | 79.5 | 9.19  | 34.6  | 6.81 | 1.52 | 6.73 | 0.913 | 4.89 | 0.979 | 2.75 | 0.382 | 2.59 | 0.397 |
|                               | SM-13   | 43.1   | 81.6 | 9.5   | 35.4  | 6.94 | 1.45 | 6.75 | 0.933 | 5.02 | 1.01  | 2.87 | 0.403 | 2.72 | 0.414 |
|                               | SM-19   | 42.1   | 80.1 | 9.25  | 34.4  | 6.74 | 1.46 | 6.54 | 0.905 | 4.88 | 0.987 | 2.8  | 0.399 | 2.7  | 0.415 |
|                               | SM-20   | 44.1   | 86.2 | 9.87  | 36.7  | 7.13 | 1.49 | 6.92 | 0.949 | 5.1  | 1.03  | 2.91 | 0.411 | 2.8  | 0.426 |
| <b>Concentración mínima</b>   |         | 40.7   | 76.1 | 8.91  | 33.3  | 6.54 | 1.42 | 6.46 | 0.89  | 4.81 | 0.973 | 2.75 | 0.382 | 2.59 | 0.397 |
| <b>Concentración máxima</b>   |         | 45.5   | 86.5 | 9.95  | 37.6  | 7.41 | 1.56 | 7.43 | 1.02  | 5.51 | 1.11  | 3.15 | 0.442 | 3.01 | 0.464 |
| <b>Concentración promedio</b> |         | 42.8   | 82   | 9.47  | 35.4  | 6.95 | 1.48 | 6.84 | 0.939 | 5.06 | 1.02  | 2.9  | 0.408 | 2.77 | 0.425 |

Tabla 10. Concentraciones sin normalizar de los Elementos de Tierras Raras en los Fondos de Tinajas I y II, Bacanuchi, Sonora, Tributario y Presa El Molinito.

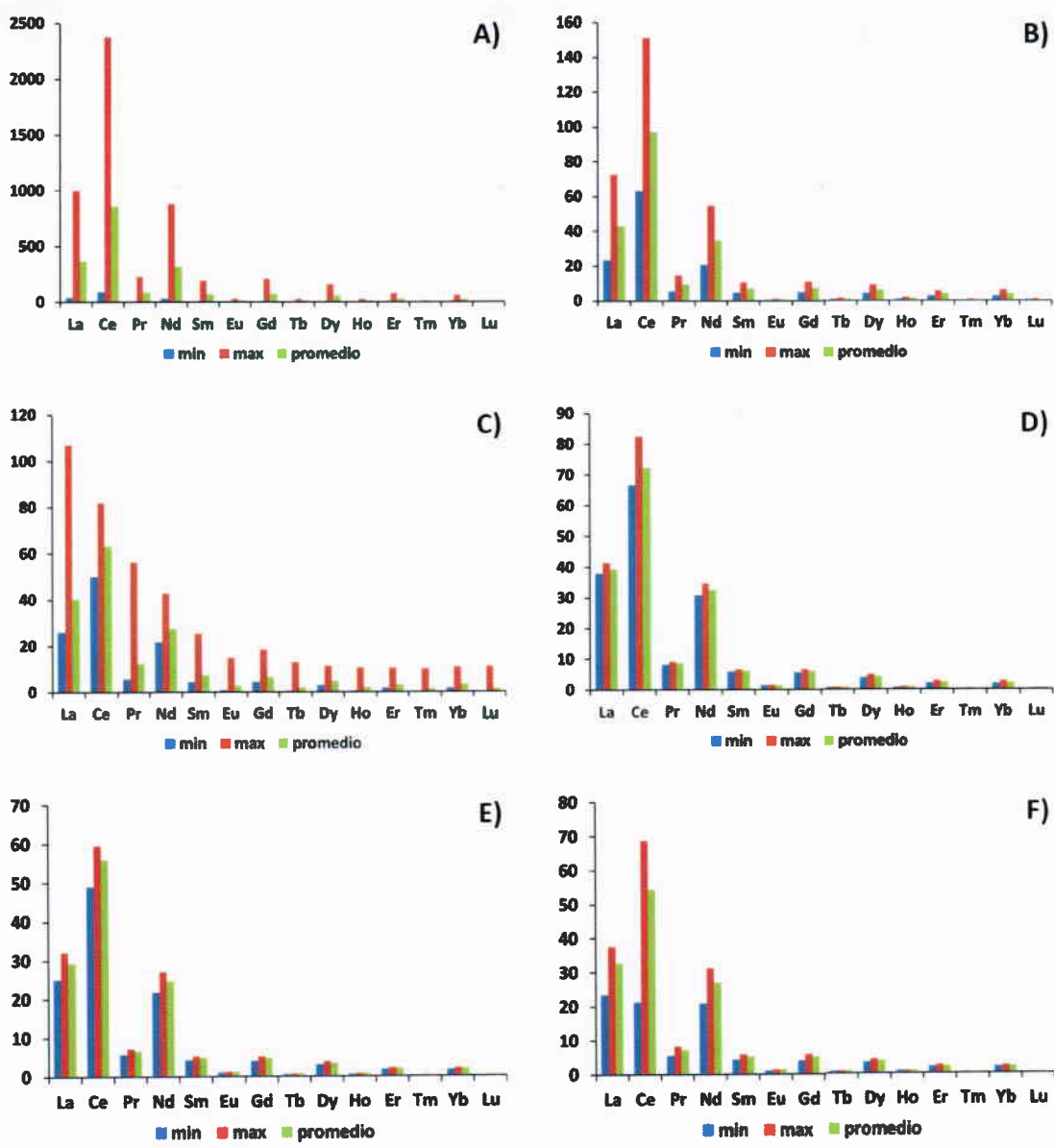
| Muestra              | ETR (ppm) No Normalizadas |       |      |       |      |      |      |      |      |      |      |      |      |      |
|----------------------|---------------------------|-------|------|-------|------|------|------|------|------|------|------|------|------|------|
|                      | La                        | Ce    | Pr   | Nd    | Sm   | Eu   | Gd   | Tb   | Dy   | Ho   | Er   | Tm   | Yb   | Lu   |
|                      | Zanjas                    |       |      |       |      |      |      |      |      |      |      |      |      |      |
| T1-1A(5)             | 37.08                     | 67.49 | 7.95 | 27.41 | 5.62 | 1.08 | 5.16 | 0.80 | 4.72 | 0.93 | 2.67 | 0.44 | 2.82 | 0.47 |
| T1-1A (30-40)        | 31.94                     | 62.26 | 6.90 | 25.43 | 4.94 | 0.92 | 4.80 | 0.70 | 4.09 | 0.86 | 2.76 | 0.41 | 2.79 | 0.44 |
| T8-A(5)              | 36.01                     | 68.83 | 7.73 | 28.67 | 5.48 | 1.27 | 5.24 | 0.73 | 4.05 | 0.82 | 2.34 | 0.33 | 2.27 | 0.36 |
| T8-A(100-120)        | 35.38                     | 65.67 | 7.77 | 29.09 | 5.54 | 1.25 | 5.12 | 0.71 | 3.83 | 0.77 | 2.24 | 0.32 | 2.20 | 0.35 |
| Concentración mínima | 31.94                     | 62.26 | 6.90 | 25.43 | 4.94 | 0.92 | 4.80 | 0.70 | 3.83 | 0.77 | 2.24 | 0.32 | 2.   |      |

| Proveniencia           | Muestra              | Elementos de Tierras Raras (ppm) No Normalizadas |       |       |       |       |       |       |       |       |       |       |       |       |       |
|------------------------|----------------------|--|-------|-------|-------|-------|-------|-------|-------|-------|-------|-------|-------|-------|-------|
|                        |                      | La   | Ce    | Pr    | Nd    | Sm    | Eu    | Gd    | Tb    | Dy    | Ho    | Er    | Tm    | Yb    | Lu    |
| Rocas                  |                      |  |       |       |       |       |       |       |       |       |       |       |       |       |       |
| Tinajas                | T-03                 | 30.7   | 67.8  | 7.56  | 29.3  | 5.6   | 1.51  | 5.8   | 0.8   | 4     | 0.8   | 2.3   | 0.33  | 2.1   | 0.36  |
|                        | T-04                 | 24.3   | 40.4  | 5.6   | 21.4  | 4     | 0.98  | 3.3   | 0.5   | 2.8   | 0.6   | 1.6   | 0.25  | 1.6   | 0.24  |
|                        | T-05                 | 31.9   | 63.5  | 7.1   | 26    | 4.7   | 1.12  | 3.5   | 0.5   | 3.2   | 0.6   | 1.8   | 0.26  | 1.8   | 0.29  |
|                        | R1                   | 14   | 24.18 | 2.09  | 6.62  | 0.877 | 0.29  | 0.716 | 0.052 | 0.187 | 0.038 | 0.146 | 0.022 | 0.172 | 0.023 |
|                        | R2                   | 49.24  | 96.9  | 11.07 | 40.9  | 7.13  | 1.65  | 6.78  | 0.79  | 3.81  | 0.733 | 2.05  | 0.274 | 1.83  | 0.272 |
|                        | Sta. Isabel          | 52.6   | 110   | 12.76 | 46.1  | 8.39  | 1.04  | 7.59  | 0.991 | 5.19  | 1.01  | 2.9   | 0.408 | 2.76  | 0.414 |
| Concentración mínima   |                      | 14   | 24.18 | 2.09  | 6.62  | 0.877 | 0.11  | 0.716 | 0.052 | 0.187 | 0.038 | 0.146 | 0.022 | 0.172 | 0.023 |
| Concentración máxima   |                      | 52.6   | 110   | 12.76 | 46.1  | 8.39  | 1.65  | 7.59  | 0.991 | 5.6   | 1.1   | 3.8   | 0.62  | 4.1   | 0.66  |
| Concentración promedio |                      | 35.6   | 69.8  | 8.14  | 30    | 5.43  | 0.958 | 4.74  | 0.648 | 3.54  | 0.698 | 2.08  | 0.309 | 2.05  | 0.323 |
| Bacanuchi              | Bc-06                | 22.5   | 42.2  | 5.19  | 19.8  | 4.4   | 0.93  | 3.6   | 0.6   | 3.3   | 0.7   | 1.9   | 0.3   | 2.1   | 0.35  |
|                        | Bc-130               | 32.4   | 63.1  | 7.25  | 27.8  | 5.2   | 1.12  | 4     | 0.5   | 2.9   | 0.6   | 1.5   | 0.23  | 1.5   | 0.25  |
|                        | Bc-133               | 48.8   | 103   | 12.2  | 48    | 9.4   | 2.45  | 7.5   | 1.1   | 6.1   | 1.1   | 3.2   | 0.44  | 2.8   | 0.45  |
|                        | Bc-135               | 37.5   | 80.9  | 9.01  | 34.3  | 6.6   | 1.27  | 5.1   | 0.8   | 4.8   | 0.9   | 2.7   | 0.4   | 2.7   | 0.45  |
|                        | R4-Cg                | 47.9   | 88    | 10.62 | 39.1  | 7.18  | 1.76  | 6.96  | 0.882 | 4.51  | 0.893 | 2.54  | 0.355 | 2.41  | 0.367 |
|                        | Concentración mínima | 22.5   | 42.2  | 5.19  | 19.8  | 4.4   | 0.93  | 3.6   | 0.5   | 2.9   | 0.6   | 1.5   | 0.23  | 1.5   | 0.25  |
| Concentración máxima   |                      | 48.8   | 103   | 12.2  | 48    | 9.4   | 2.45  | 7.5   | 1.1   | 6.1   | 1.1   | 3.2   | 0.44  | 2.8   | 0.45  |
| Concentración promedio |                      | 37.8   | 75.4  | 8.85  | 33.8  | 6.56  | 1.51  | 5.43  | 0.776 | 4.32  | 0.839 | 2.37  | 0.345 | 2.3   | 0.373 |
| Arizpe                 | Az-75                | 37.5   | 75    | 8.72  | 33.9  | 6.4   | 1.64  | 5.3   | 0.7   | 3.8   | 0.8   | 2     | 0.3   | 2     | 0.3   |
|                        | Az-131               | 38.2   | 72.5  | 7.65  | 27.6  | 5     | 1.08  | 3.6   | 0.5   | 2.7   | 0.5   | 1.3   | 0.2   | 1.5   | 0.22  |
|                        | Az-151               | 22   | 47.8  | 5.84  | 22.7  | 4.1   | 0.83  | 3.1   | 0.4   | 2.6   | 0.6   | 1.8   | 0.27  | 2.1   | 0.34  |
|                        | Az-153               | 26.2   | 49.6  | 5.38  | 18.1  | 3.5   | 0.57  | 2.7   | 0.4   | 2.2   | 0.4   | 1.2   | 0.21  | 1.4   | 0.22  |
|                        | R3                   | 31   | 61.2  | 6.9   | 25.58 | 4.75  | 1.03  | 3.68  | 0.5   | 2.83  | 0.575 | 1.58  | 0.245 | 1.75  | 0.27  |
|                        | Concentración mínima | 22   | 47.8  | 5.38  | 18.1  | 3.5   | 0.57  | 2.7   | 0.4   | 2.2   | 0.4   | 1.2   | 0.2   | 1.4   | 0.22  |
| Concentración máxima   |                      | 38.2   | 75    | 8.72  | 33.9  | 6.4   | 1.64  | 5.3   | 0.7   | 3.8   | 0.8   | 2     | 0.3   | 2.1   | 0.34  |
| Concentración promedio |                      | 31   | 61.2  | 6.9   | 25.58 | 4.75  | 1.03  | 3.68  | 0.5   | 2.83  | 0.575 | 1.58  | 0.245 | 1.75  | 0.27  |

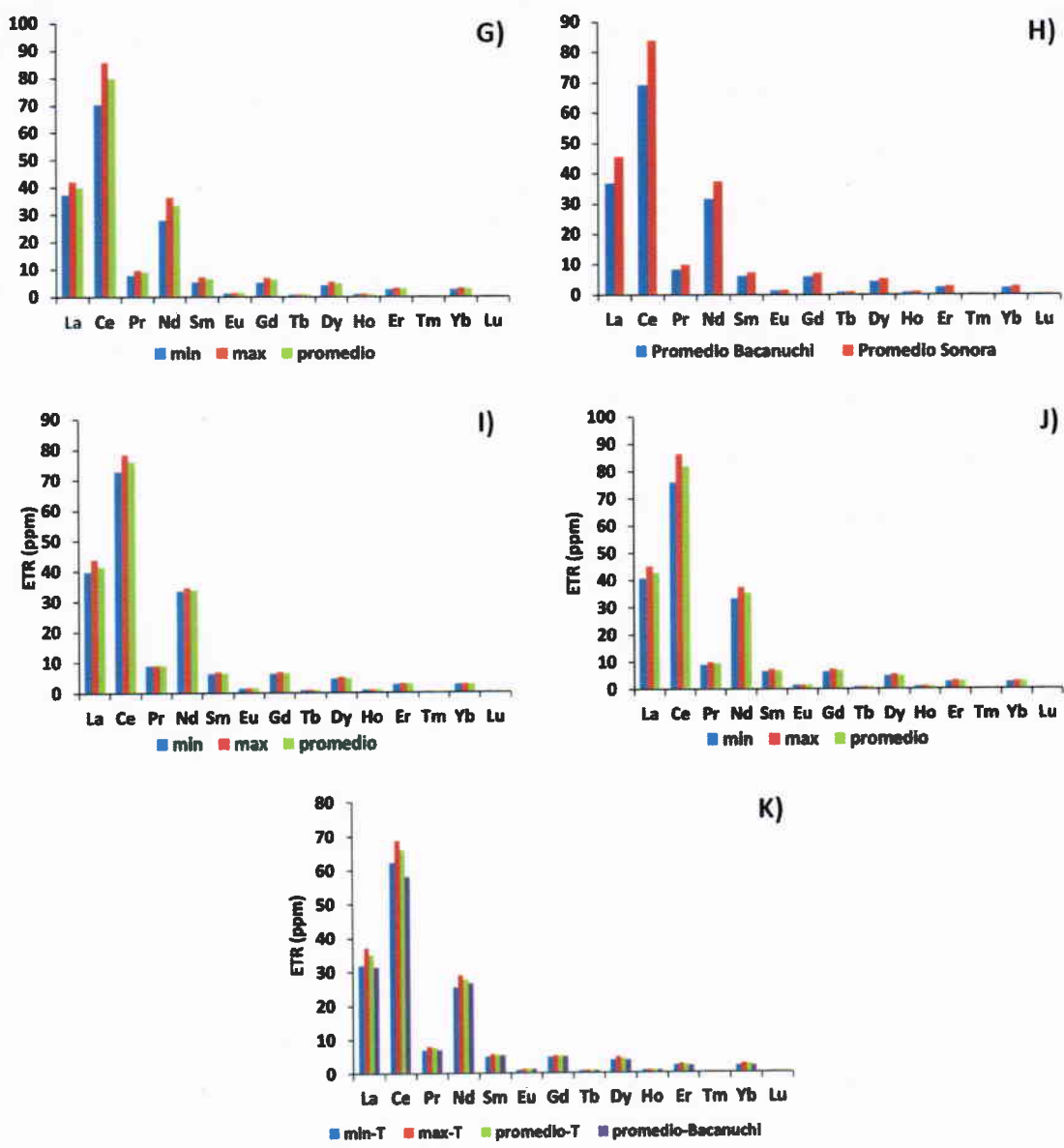
Tabla 12. Concentraciones sin normalizar de los Elementos de Tierras Raras en rocas de la zona.

| Proveniencia                  | Muestra    | Elementos de Tierras Raras (ppm) No Normalizadas |       |       |       |      |       |      |       |      |       |      |       |      |       |
|-------------------------------|------------|--|-------|-------|-------|------|-------|------|-------|------|-------|------|-------|------|-------|
|                               |            | La   | Ce    | Pr    | Nd    | Sm   | Eu    | Gd   | Tb    | Dy   | Ho    | Er   | Tm    | Yb   | Lu    |
| <b>Rocas</b>                  |            |  |       |       |       |      |       |      |       |      |       |      |       |      |       |
| Sinoquipe                     | S-100      | 38.7   | 63.6  | 6.31  | 18.7  | 3    | 0.21  | 2.8  | 0.5   | 3.2  | 0.7   | 2.3  | 0.37  | 2.8  | 0.45  |
|                               | S-123      | 50.2   | 96    | 9.96  | 31.9  | 5.2  | 0.97  | 3.9  | 0.6   | 3.3  | 0.7   | 2    | 0.31  | 2.1  | 0.36  |
|                               | S-150      | 21.8   | 44.2  | 5.11  | 19.2  | 3.6  | 0.84  | 3.1  | 0.4   | 2.4  | 0.5   | 1.3  | 0.18  | 1.2  | 0.2   |
|                               | S-155      | 6.9  | 11.4  | 1.54  | 6.9   | 1.6  | 0.51  | 1.6  | 0.3   | 1.7  | 0.4   | 1.1  | 0.16  | 1.1  | 0.17  |
|                               | S-158      | 29.6   | 57    | 6.53  | 24.2  | 4.7  | 1.37  | 4    | 0.6   | 3.3  | 0.6   | 1.8  | 0.24  | 1.5  | 0.25  |
|                               | S1-Blanca  | 64.4   | 113   | 10.93 | 34.3  | 5.47 | 0.666 | 5.48 | 0.635 | 3.11 | 0.606 | 1.79 | 0.262 | 1.88 | 0.291 |
|                               | R5         | 81.6   | 146   | 14.5  | 44.7  | 6.69 | 1     | 7.24 | 0.782 | 3.73 | 0.719 | 2.1  | 0.311 | 2.26 | 0.369 |
| <b>Concentración mínima</b>   |            | 6.9  | 11.4  | 1.54  | 6.9   | 1.6  | 0.21  | 1.6  | 0.3   | 1.7  | 0.4   | 1.1  | 0.16  | 1.1  | 0.17  |
| <b>Concentración máxima</b>   |            | 81.6   | 146   | 14.5  | 44.7  | 6.69 | 1.37  | 7.24 | 0.782 | 3.73 | 0.719 | 2.3  | 0.37  | 2.8  | 0.45  |
| <b>Concentración promedio</b> |            | 41.9   | 75.8  | 7.84  | 25.7  | 4.32 | 0.795 | 4.02 | 0.545 | 2.96 | 0.604 | 1.77 | 0.262 | 1.83 | 0.299 |
| Banamichi                     | Bn-122     | 47.8   | 100   | 11.7  | 46.7  | 9.3  | 2.49  | 8.3  | 1.2   | 6.5  | 1.2   | 3.4  | 0.47  | 3    | 0.48  |
| Huépac                        | H-19       | 57.1   | 106   | 10.9  | 36.9  | 6.2  | 1.03  | 5    | 0.7   | 3.9  | 0.8   | 2.3  | 0.38  | 2.4  | 0.39  |
|                               | H-51       | 31   | 60    | 6.95  | 25.4  | 4.3  | 0.98  | 3.9  | 0.6   | 3.4  | 0.7   | 1.9  | 0.29  | 1.9  | 0.31  |
| <b>Concentración promedio</b> |            | 44.1   | 83    | 8.93  | 31.2  | 5.25 | 1.01  | 4.45 | 0.65  | 3.65 | 0.75  | 2.1  | 0.335 | 2.15 | 0.35  |
| Aconchi                       | Ac-43      | 33.2   | 66.3  | 7.37  | 26.4  | 5.2  | 1.21  | 5    | 0.7   | 4.2  | 0.8   | 2.4  | 0.36  | 2.4  | 0.38  |
|                               | Ac1-Blanca | 11.14  | 23.96 | 3.39  | 15.88 | 3.95 | 1.03  | 3.73 | 0.584 | 3.24 | 0.63  | 1.68 | 0.227 | 1.44 | 0.209 |
| <b>Concentración promedio</b> |            | 22.2   | 45.1  | 5.38  | 21.14 | 4.57 | 1.12  | 4.36 | 0.642 | 3.72 | 0.715 | 2.04 | 0.293 | 1.92 | 0.294 |
| Bavilácora                    | Bv-10      | 41.7   | 82.5  | 8.98  | 31.2  | 5.2  | 1.07  | 4.1  | 0.6   | 3.8  | 0.8   | 2.4  | 0.37  | 2.7  | 0.41  |
|                               | Bv-11      | 21.1   | 44.4  | 4.68  | 16.1  | 3.6  | 0.72  | 3.2  | 0.6   | 4.1  | 0.9   | 2.7  | 0.43  | 3.1  | 0.5   |
|                               | Bv-12      | 19.3   | 39.7  | 4.86  | 18.9  | 4.2  | 0.9   | 4.3  | 0.6   | 4.1  | 0.9   | 2.6  | 0.39  | 2.5  | 0.4   |
|                               | Bv-14      | 6.7  | 11.7  | 1.1   | 3.4   | 0.6  | 0.11  | 0.6  | 0.1   | 0.5  | 0.1   | 0.3  | 0.05  | 0.3  | 0.06  |
|                               | Bv-26      | 32.2   | 63.3  | 6.72  | 23.6  | 4.3  | 0.83  | 3.7  | 0.6   | 3.4  | 0.7   | 2.1  | 0.3   | 2.2  | 0.34  |
|                               | Bv-52      | 25.7   | 52.8  | 6.44  | 26.5  | 5    | 1.47  | 4.2  | 0.5   | 2.8  | 0.5   | 1.4  | 0.2   | 1.3  | 0.19  |
|                               | Bv-55      | 24.2   | 47    | 4.87  | 16.8  | 2.7  | 0.61  | 2.6  | 0.5   | 2.9  | 0.6   | 1.8  | 0.26  | 1.6  | 0.25  |
| <b>Concentración mínima</b>   |            | 6.7  | 11.7  | 1.1   | 3.4   | 0.6  | 0.11  | 0.6  | 0.1   | 0.5  | 0.1   | 0.3  | 0.05  | 0.3  | 0.06  |
| <b>Concentración máxima</b>   |            | 41.7   | 82.5  | 8.98  | 31.2  | 5.2  | 1.47  | 4.3  | 0.6   | 4.1  | 0.9   | 2.7  | 0.43  | 3.1  | 0.5   |
| <b>Concentración promedio</b> |            | 24.41  | 48.8  | 5.38  | 19.5  | 3.66 | 0.816 | 3.24 | 0.5   | 3.09 | 0.643 | 1.9  | 0.286 | 1.96 | 0.307 |
| Ures                          | U-30       | 48.5   | 95.5  | 10.3  | 36.5  | 6.2  | 1.25  | 5.3  | 0.8   | 4.6  | 0.9   | 2.5  | 0.39  | 2.6  | 0.45  |
|                               | U-32       | 33.6   | 60.4  | 6.87  | 25    | 4.7  | 1.04  | 3.9  | 0.5   | 3.2  | 0.7   | 1.8  | 0.28  | 2    | 0.31  |
|                               | U-34       | 43   | 82.5  | 8.61  | 29.8  | 5.2  | 1.07  | 4.5  | 0.7   | 3.9  | 0.8   | 2.3  | 0.36  | 2.4  | 0.39  |
|                               | RMO-1      | 25.54  | 52.3  | 6.58  | 27.29 | 5.81 | 2.14  | 5.52 | 0.775 | 4.2  | 0.835 | 2.28 | 0.308 | 2.01 | 0.309 |
| <b>Concentración mínima</b>   |            | 25.54  | 52.3  | 6.58  | 25    | 4.7  | 1.04  | 3.9  | 0.5   | 3.2  | 0.7   | 1.8  | 0.28  | 2    | 0.309 |
| <b>Concentración máxima</b>   |            | 48.5   | 95.5  | 10.3  | 36.5  | 6.2  | 2.14  | 5.52 | 0.8   | 4.6  | 0.9   | 2.5  | 0.39  | 2.6  | 0.45  |
| <b>Concentración promedio</b> |            | 37.7   | 72.7  | 8.09  | 29.65 | 5.48 | 1.38  | 4.81 | 0.694 | 3.97 | 0.809 | 2.22 | 0.334 | 2.25 | 0.365 |

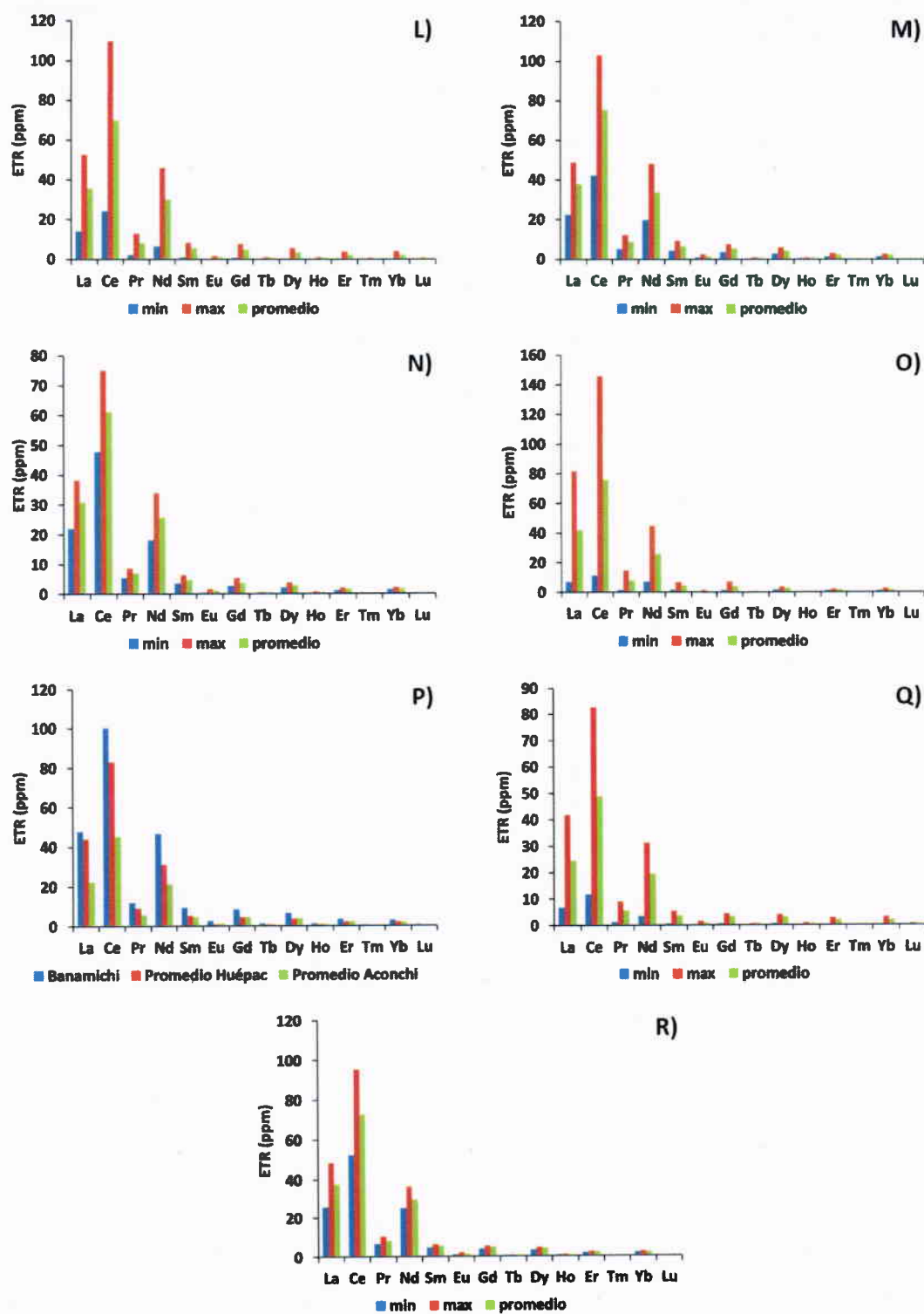
Tabla 12a. Concentraciones sin normalizar de los Elementos de Tierras Raras en rocas de la zona.



Gráfica 1.Distribución de ETR en la Fuente de contaminación (A), perfiles del represo Tinajas I (B), Tinajas II (C), Bacanuchi (D), 8A (E) y Sonora (F).



Gráfica 2. Distribución de ETR en muestras de Fondos de Tinajas I y II (G), Bacanuchi y Sonora (H), sedimentos del Tributario (I) y presa El Molinito (J), Zanjas Tinajas-T (K) y Bacanuchi (K).



Gráfica 3.Distribucion ETR en rocas de Tinajas (L), Bacanuchi (M), Arizpe (N), Sinoquipe (O), Banámichi-Huépac-Aconchi (P), Baviácora (Q) y Ures (R).

### 5.2.2 Resultados Normalizados

Las concentraciones normalizadas de los ETR se presentan en las tablas 13 a 17a. Se calculó el valor de las anomalías detectadas y los resultados se presentan en las tablas 18-21. En todos los casos, se describen en función de los promedios obtenidos.

La tendencia de enriquecimiento en ETR-Ligeras, se conservó aun normalizados los datos. Los patrones de ETR obtenidos, fueron similares a las rocas de cada sitio lo que sugiere un importante aporte natural, excepto en Tinajas I y la Fuente cuyos patrones no coinciden con las rocas representativas de esta zona, además de presentar las mayores anomalías de Eu y Ce. En el resto de las muestras, estas anomalías fueron menores y similares a las rocas (gráficas 4-7). Los patrones de ETR en los perfiles de Tinajas I y II, Bacanuchi, Sonora, muestran una separación entre las muestras que lo conforman pudiendo identificarse de manera individual. Sin embargo, los patrones en los Fondos, Presa y Tributario El Molinito, Zanjas, las muestras se empalman llegando se formar una sola línea, que puede estar relacionada con un mayor aporte natural.

Con respecto a las anomalías detectadas, los valores calculados para la anomalía de Eu (\*Eu), indican un predominio negativo de esta, al tener valores promedios inferiores a la unidad en todos los casos. Los valores más bajos se determinaron en la Fuente (\*Eu=0.461) y Tinajas I (\*Eu= 0.399). Valores intermedios, se obtuvieron en los Fondos de Tinajas, Sonora, Presa El Molinito y Zanjas de Tinajas, variando entre 0.661 y 0.687, al igual que en las rocas de Tinajas (0.686) y Sinoquipe (0.632). En Tinajas II el valor de la anomalía de Eu se incrementa a 0.715. Este comportamiento se mantiene en los perfiles de Bacanuchi, 8A, Sonora, así como, Fondos de Bacanuchi, Tributario El Molinito y Zanjas de Bacanuchi, que tuvieron valores similares a Tinajas II (entre 0.714 y 0.771). De igual manera, las rocas de Bacanuchi, Arizpe, Banamichi-Huepac-Aconchi, Baviácora y Ures, tuvieron valores de \*Eu entre 0.702 y 0.815.

En el caso del Ce ( $Ce_{anomalía}$ ), los valores calculados fueron mayores a la unidad en La Fuente (1.099), Tinajas I (1.20), Fondos Tinajas I y II (1.43), lo que exhibió un predominio positivo de la anomalía en estas áreas. Valores cercanos a la unidad, pero sin superarla, se determinaron en Fondos de Bacanuchi, Sonora, Tributario y Presa El Molinito, Zanjas Tinajas y Bacanuchi; que oscilaron entre 0.938 y 0.973. En las rocas, se obtuvieron valores semejantes, desde 0.978 en Sinoquipe hasta 0.985

en Tinajas. Las rocas de Arizpe tuvieron una anomalía ausente, al reportar valores iguales a la unidad; un valor discretamente positivo se obtuvo en las rocas de Baviácora ( $Ce_{anomalía} = 1.020$ ). Los perfiles de Tinajas II, Bacanuchi, 8A y Sonora, reportaron los valores más bajos de la anomalía de Ce, variando entre 0.715 y 0.771.

Las variaciones observadas en ambas anomalías, pueden estar asociadas a cambios en las condiciones óxido reductoras del área, puesto que tanto el Eu como el Ce, son elementos sensibles al predominio de cualquiera de estas (gráficas 4-7).

| Proveniencia                  | Muestra                       | Elementos de Tierras raras (ppm) |      |      |      |       |       |       |       |       |       |       |       |       |       |
|-------------------------------|-------------------------------|----------------------------------|------|------|------|-------|-------|-------|-------|-------|-------|-------|-------|-------|-------|
|                               |                               | La                               | Ce   | Pr   | Nd   | Sm    | Eu    | Gd    | Tb    | Dy    | Ho    | Er    | Tm    | Yb    | Lu    |
| Fuente                        | 14                            | 122                              | 104  | 67.4 | 48.5 | 27.34 | 5.32  | 18.61 | 48.6  | 10.63 | 14.16 | 14.71 | 14.29 | 16.18 | 15.74 |
|                               | 29                            | 163                              | 122  | 97   | 87.6 | 41.2  | 22.21 | 27.54 | 63.4  | 10.47 | 12.99 | 14.16 | 11.43 | 10.84 | 10.74 |
|                               | 31                            | 3046                             | 2748 | 1785 | 1404 | 952   | 415   | 760   | 544   | 465   | 383   | 355   | 278   | 274   | 227   |
| <b>Concentración mínima</b>   |                               | 122                              | 104  | 67.4 | 48.5 | 27.34 | 5.32  | 18.61 | 48.6  | 10.47 | 12.99 | 14.16 | 11.43 | 10.84 | 10.74 |
| <b>Concentración máxima</b>   |                               | 3046                             | 2748 | 1785 | 1404 | 952   | 415   | 760   | 544   | 465   | 383   | 355   | 278   | 274   | 227   |
| <b>Concentración promedio</b> |                               | 1110                             | 991  | 650  | 513  | 340   | 147   | 269   | 219   | 162   | 137   | 128   | 101   | 100   | 84.6  |
| Tinajas I                     | IT1E5                         | 220                              | 175  | 112  | 87   | 52.2  | 8.83  | 39.3  | 28    | 25.95 | 24.03 | 24.04 | 21.71 | 23.73 | 22.65 |
|                               | IT1E25                        | 181                              | 140  | 96.1 | 70.9 | 43.1  | 8.96  | 32.5  | 24.18 | 22.62 | 21.17 | 21.2  | 19.43 | 21.32 | 20.88 |
|                               | IT1E50                        | 130                              | 154  | 76.8 | 59.8 | 40.6  | 13.77 | 31.7  | 24.91 | 24.61 | 24.16 | 25.11 | 24.57 | 28.09 | 28.24 |
|                               | IT2E-5                        | 169                              | 127  | 91.6 | 69.2 | 42.5  | 10    | 32.1  | 24.18 | 22.86 | 21.43 | 21.33 | 19.71 | 21.18 | 20.59 |
|                               | IT2E-25                       | 110                              | 95.1 | 63.6 | 49.4 | 31.7  | 13.25 | 23.55 | 17.64 | 16.47 | 15.58 | 15.42 | 14.57 | 15.86 | 15.59 |
|                               | IT2E-50                       | 73.4                             | 90.6 | 41.6 | 32.7 | 22    | 7.27  | 17.64 | 13.09 | 12.27 | 11.69 | 11.6  | 11.14 | 12.23 | 12.06 |
|                               | IT3E-5                        | 106                              | 72.8 | 56.4 | 42.6 | 25.4  | 11.56 | 18.59 | 13.64 | 12.51 | 11.95 | 12.18 | 12    | 13.14 | 13.53 |
|                               | IT3E-25                       | 70.4                             | 73.7 | 42.7 | 33.9 | 22.8  | 11.04 | 17.28 | 13.09 | 12.36 | 11.82 | 11.96 | 11.43 | 12.77 | 12.94 |
|                               | IT3E-50                       | 115                              | 81.7 | 63.3 | 48.8 | 29.7  | 13.9  | 20.91 | 15.09 | 13.27 | 12.47 | 12.36 | 11.71 | 12.95 | 13.24 |
|                               | <b>Concentración mínima</b>   | 70.4                             | 72.8 | 41.6 | 32.7 | 22    | 7.27  | 17.28 | 13.09 | 12.27 | 11.69 | 11.6  | 11.14 | 12.23 | 12.06 |
| Tinajas II                    | <b>Concentración máxima</b>   | 220                              | 175  | 112  | 87   | 52.2  | 13.9  | 39.28 | 28    | 25.95 | 24.16 | 25.11 | 24.57 | 28.09 | 28.24 |
|                               | <b>Concentración promedio</b> | 131                              | 112  | 71.5 | 54.9 | 34.4  | 10.95 | 25.95 | 19.31 | 18.1  | 17.14 | 17.24 | 16.25 | 17.92 | 17.75 |
|                               | IIT1E-5                       | 127                              | 94.3 | 71.2 | 56.5 | 36    | 19.87 | 27.32 | 19.09 | 17.03 | 15.58 | 15.33 | 14    | 15.32 | 15.29 |
|                               | IIT1E-25                      | 93.3                             | 94.6 | 50.8 | 39.8 | 24.78 | 15.71 | 18.91 | 13.45 | 12.19 | 11.56 | 11.47 | 11.14 | 12.14 | 12.65 |
|                               | IIT1E-50                      | 78.9                             | 57.8 | 43   | 34.2 | 21.87 | 13.12 | 15.91 | 12.36 | 11.4  | 11.04 | 11.07 | 11.14 | 12    | 12.35 |
|                               | IIT2E-5                       | 92                               | 62.8 | 47.2 | 35.5 | 21.03 | 12.08 | 15.43 | 10.91 | 9.77  | 9.35  | 9.56  | 9.43  | 10.32 | 10.59 |
|                               | IIT2E-25                      | 90.2                             | 75.4 | 52.3 | 40.6 | 25.17 | 14.55 | 18.55 | 13.09 | 11.63 | 10.91 | 10.89 | 10.29 | 11.32 | 11.47 |
|                               | IIT2E-50                      | 107                              | 74.8 | 56.4 | 42.8 | 25.38 | 15.11 | 18.38 | 12.85 | 11.31 | 10.73 | 10.55 | 10.1  | 10.89 | 11.16 |
|                               | IIT3E-5                       | 97.4                             | 60.6 | 52.5 | 39.8 | 22.94 | 14.82 | 16.07 | 10.77 | 9.11  | 8.39  | 8.23  | 7.85  | 8.38  | 8.63  |
|                               | IIT3E-25                      | 92.2                             | 63.4 | 49.8 | 37.9 | 21.98 | 14.32 | 15.76 | 10.38 | 8.79  | 8.08  | 7.67  | 7.44  | 7.79  | 8.22  |
|                               | IIT3E-50                      | 96.5                             | 63.6 | 51.3 | 38.7 | 22.43 | 15.06 | 16.13 | 10.92 | 9.3   | 8.57  | 8.22  | 7.94  | 8.29  | 8.65  |
| <b>Concentración mínima</b>   |                               | 78.9                             | 57.8 | 43   | 34.2 | 21.03 | 12.08 | 15.43 | 10.38 | 8.79  | 8.08  | 7.67  | 7.44  | 7.79  | 8.22  |
| <b>Concentración máxima</b>   |                               | 127                              | 94.6 | 71.2 | 56.5 | 36    | 19.87 | 27.32 | 19.09 | 17.03 | 15.58 | 15.33 | 14    | 15.32 | 15.29 |
| <b>Concentración promedio</b> |                               | 97.2                             | 71.9 | 52.7 | 40.6 | 24.62 | 14.96 | 18.05 | 12.65 | 11.17 | 10.47 | 10.33 | 9.92  | 10.72 | 11.00 |

Tabla 13. Concentración Normalizada de ETR en la Fuente y perfiles de Tinajas.

| Proveniencia                  | Muestra                     | Elementos de Tierras raras (ppm) |       |      |      |       |       |       |       |       |       |       |       |       |       |
|-------------------------------|-----------------------------|----------------------------------|-------|------|------|-------|-------|-------|-------|-------|-------|-------|-------|-------|-------|
|                               |                             | La                               | Ce    | Pr   | Nd   | Sm    | Eu    | Gd    | Tb    | Dy    | Ho    | Er    | Tm    | Yb    | Lu    |
| Bacanuchi                     | B1E-5                       | 126                              | 95.3  | 71.1 | 55.1 | 33    | 20.09 | 24.11 | 16.96 | 14.9  | 13.46 | 13.02 | 11.87 | 12.58 | 12.44 |
|                               | B2E-5                       | 117                              | 78.5  | 65.4 | 50.6 | 29.83 | 19.21 | 21.29 | 13.74 | 11.2  | 9.96  | 9.33  | 8.68  | 8.94  | 9.16  |
|                               | B3D-5                       | 115                              | 77    | 62.6 | 48.8 | 28.86 | 18.84 | 20.5  | 13.65 | 11.36 | 10.3  | 9.75  | 9.13  | 9.52  | 9.78  |
| <b>Concentración mínima</b>   |                             | 115                              | 77    | 62.6 | 48.8 | 28.86 | 18.84 | 20.5  | 13.65 | 11.2  | 9.96  | 9.33  | 8.68  | 8.94  | 9.16  |
| <b>Concentración máxima</b>   |                             | 126                              | 95.3  | 71.1 | 55.1 | 33    | 20.09 | 24.11 | 16.96 | 14.9  | 13.46 | 13.02 | 11.87 | 12.58 | 12.44 |
| <b>Concentración promedio</b> |                             | 119                              | 83.6  | 66.4 | 51.5 | 30.6  | 19.38 | 21.97 | 14.78 | 12.48 | 11.24 | 10.7  | 9.89  | 10.35 | 10.46 |
| Perfil 8A                     | 23-8A                       | 97.5                             | 68.9  | 55.1 | 43   | 26.15 | 16.38 | 18.77 | 13    | 11.21 | 10.28 | 9.91  | 9.12  | 9.74  | 9.72  |
|                               | 25-8A                       | 94                               | 68.4  | 52   | 40.3 | 24.22 | 15.2  | 17.35 | 11.91 | 10.3  | 9.51  | 9.19  | 8.56  | 9.19  | 9.24  |
|                               | 29-8A                       | 76                               | 56.7  | 43.8 | 34.5 | 21.18 | 14.15 | 14.76 | 10.31 | 8.84  | 8.05  | 7.61  | 7.19  | 7.48  | 7.73  |
| <b>Concentración mínima</b>   |                             | 76                               | 56.7  | 43.8 | 34.5 | 21.18 | 14.15 | 14.76 | 10.31 | 8.84  | 8.05  | 7.61  | 7.19  | 7.48  | 7.73  |
| <b>Concentración máxima</b>   |                             | 97.5                             | 68.9  | 55.1 | 43   | 26.15 | 16.38 | 18.77 | 13    | 11.21 | 10.28 | 9.91  | 9.12  | 9.74  | 9.72  |
| <b>Concentración promedio</b> |                             | 89.2                             | 64.6  | 50.3 | 39.2 | 23.85 | 15.24 | 16.96 | 11.74 | 10.12 | 9.28  | 8.9   | 8.29  | 8.8   | 8.9   |
| Sonora                        | S1D-5                       | 104                              | 69.1  | 56.5 | 43.8 | 25.97 | 17.25 | 18.4  | 12.52 | 10.54 | 9.62  | 9.21  | 8.7   | 9.17  | 9.55  |
|                               | S1E-5                       | 98                               | 63.3  | 55.4 | 42.9 | 25.53 | 17.59 | 17.96 | 12.16 | 10.25 | 9.37  | 8.93  | 8.48  | 8.94  | 9.26  |
|                               | S1F-5                       | 114                              | 79.5  | 63.3 | 49.4 | 29.39 | 18.57 | 21.21 | 14.56 | 12.47 | 11.4  | 10.94 | 10.19 | 10.72 | 10.89 |
|                               | S2D-5                       | 112                              | 76.2  | 61.8 | 48   | 28.9  | 17.47 | 20.88 | 14.29 | 12.2  | 11.1  | 10.81 | 9.97  | 10.72 | 10.76 |
|                               | S2E-5                       | 71                               | 24.49 | 41.8 | 33   | 20.82 | 13.77 | 14.38 | 10.82 | 9.71  | 9.04  | 8.82  | 8.54  | 9.3   | 9.59  |
|                               | S2F-5                       | 99.5                             | 64.9  | 51.8 | 39.4 | 23.27 | 15.35 | 17.21 | 11.58 | 9.9   | 9.14  | 8.73  | 8.26  | 8.79  | 9.05  |
|                               | <b>Concentración mínima</b> | 71                               | 24.49 | 41.8 | 33   | 20.82 | 13.77 | 14.38 | 10.82 | 9.71  | 9.04  | 8.73  | 8.26  | 8.79  | 9.05  |
| <b>Concentración máxima</b>   |                             | 114                              | 79.5  | 63.3 | 49.4 | 29.39 | 18.57 | 21.21 | 14.56 | 12.47 | 11.4  | 10.94 | 10.19 | 10.72 | 10.89 |
| <b>Concentración promedio</b> |                             | 100                              | 62.9  | 55.1 | 42.7 | 25.65 | 16.67 | 18.34 | 12.65 | 10.84 | 9.94  | 9.58  | 9.02  | 9.61  | 9.85  |

Tabla 14. Concentración Normalizada de ETR en los perfiles de Bacanuchi, 8A y Sonora.

| Proveniencia                  | Muestra | Elementos de Tierras Raras (ppm) |      |      |      |       |       |       |       |       |       |       |       |       |       |
|-------------------------------|---------|----------------------------------|------|------|------|-------|-------|-------|-------|-------|-------|-------|-------|-------|-------|
|                               |         | La                               | Ce   | Pr   | Nd   | Sm    | Eu    | Gd    | Tb    | Dy    | Ho    | Er    | Tm    | Yb    | Lu    |
| Fondos Tinajas I y II         | IT2A-5  | 119                              | 96.2 | 70.7 | 54.8 | 32.9  | 17.61 | 23.21 | 15.95 | 13.93 | 12.68 | 12.28 | 11.22 | 12.05 | 12.06 |
|                               | IT2I-5  | 113                              | 81.4 | 59.5 | 44.4 | 26.04 | 16.76 | 18.9  | 13.25 | 12.05 | 11.32 | 11.41 | 11.01 | 12.24 | 12.52 |
|                               | IIT2A-5 | 126                              | 92.5 | 71.1 | 54.7 | 33.4  | 19.44 | 24.12 | 16.86 | 15.14 | 13.9  | 13.78 | 12.86 | 14.09 | 14.25 |
|                               | IIT2I-5 | 128                              | 99.2 | 74.2 | 57.8 | 35.3  | 19.74 | 25.64 | 18.26 | 16.24 | 14.7  | 14.22 | 13.09 | 14.11 | 14.04 |
| <b>Concentración mínima</b>   |         | 126                              | 92.5 | 71.1 | 54.7 | 33.4  | 19.44 | 24.12 | 16.86 | 15.14 | 13.9  | 13.78 | 12.86 | 14.09 | 14.04 |
| <b>Concentración máxima</b>   |         | 128                              | 99.2 | 74.2 | 57.8 | 35.3  | 19.74 | 25.64 | 18.26 | 16.24 | 14.7  | 14.22 | 13.09 | 14.11 | 14.25 |
| <b>Concentración promedio</b> |         | 127                              | 95.8 | 72.7 | 56.2 | 34.3  | 19.59 | 24.88 | 17.56 | 15.69 | 14.3  | 14    | 12.97 | 14.1  | 14.14 |
| Fondos Bacanuchi              | B2A-5   | 108                              | 76.5 | 61.4 | 48   | 29.12 | 17.19 | 20.54 | 14.26 | 12.5  | 11.22 | 10.91 | 9.99  | 10.72 | 10.98 |
|                               | B2I-5   | 117                              | 83.6 | 67.4 | 52.7 | 31.4  | 19.47 | 22.86 | 15.6  | 13.27 | 11.85 | 11.46 | 10.36 | 11.16 | 11.14 |
| <b>Concentración promedio</b> |         | 112                              | 80.1 | 64.4 | 50.3 | 30.3  | 18.33 | 21.7  | 14.93 | 12.88 | 11.54 | 11.19 | 10.17 | 10.94 | 11.06 |
| Fondos Sonora                 | S2A-5   | 135                              | 94.6 | 76.6 | 59.7 | 36.4  | 21.84 | 26.3  | 18.33 | 15.99 | 14.44 | 14.04 | 12.83 | 13.84 | 13.82 |
|                               | S2I-5   | 142                              | 99.3 | 78   | 59.5 | 35.9  | 20.38 | 25.92 | 17.66 | 14.98 | 13.33 | 12.92 | 11.65 | 12.71 | 12.77 |
| <b>Concentración promedio</b> |         | 138                              | 97   | 77.3 | 59.6 | 36.1  | 21.11 | 26.11 | 17.99 | 15.48 | 13.89 | 13.48 | 12.24 | 13.27 | 13.29 |
| Tributario Presa El Molinito  | TM1A-5  | 133                              | 90.7 | 70   | 53   | 31.3  | 19.44 | 22.75 | 15.74 | 13.61 | 12.34 | 12.01 | 11.1  | 11.99 | 12.04 |
|                               | TM1B-5  | 124                              | 84.1 | 69   | 53.1 | 31.5  | 19.68 | 23.07 | 15.76 | 13.71 | 12.44 | 12.23 | 11.23 | 12.16 | 12.32 |
|                               | TM1C-5  | 121                              | 89.2 | 70.3 | 55   | 34.1  | 20.64 | 24.97 | 17.32 | 15.17 | 13.63 | 13.1  | 11.81 | 12.73 | 12.58 |
| <b>Concentración mínima</b>   |         | 121                              | 84.1 | 69   | 53   | 31.3  | 19.4  | 22.7  | 15.7  | 13.6  | 12.3  | 12    | 11.1  | 12    | 12    |
| <b>Concentración máxima</b>   |         | 133                              | 90.7 | 70.3 | 55   | 34.1  | 20.6  | 25    | 17.3  | 15.2  | 13.6  | 13.1  | 11.8  | 12.7  | 12.6  |
| <b>Concentración promedio</b> |         | 126                              | 88   | 69.8 | 53.7 | 32.3  | 19.9  | 23.6  | 16.3  | 14.2  | 12.8  | 12.4  | 11.4  | 12.3  | 12.3  |
| Presa El Molinito             | SM-1    | 128                              | 92.3 | 72.1 | 56   | 34.3  | 19.04 | 25.06 | 17.39 | 15.12 | 13.78 | 13.46 | 12.25 | 13.17 | 13.35 |
|                               | SM-2    | 127                              | 94.7 | 71.8 | 54.8 | 33.3  | 18.51 | 23.88 | 16.44 | 14.08 | 12.67 | 12.3  | 11.18 | 12.12 | 11.93 |
|                               | SM-4    | 134                              | 98.3 | 75.1 | 58.4 | 35.5  | 19.77 | 26.01 | 17.87 | 15.4  | 13.87 | 13.39 | 12.15 | 13.08 | 13.06 |
|                               | SM-6    | 124                              | 88   | 68.5 | 52.9 | 32.2  | 18.43 | 23.41 | 16.18 | 14.02 | 12.64 | 12.29 | 11.13 | 11.99 | 11.89 |
|                               | SM-7    | 138                              | 100  | 76.6 | 59.6 | 36.5  | 20.28 | 26.91 | 18.57 | 16.07 | 14.39 | 14.02 | 12.62 | 13.68 | 13.65 |
|                               | SM-8    | 131                              | 95.6 | 73.7 | 56.8 | 34.4  | 19.58 | 24.87 | 17.07 | 14.71 | 13.23 | 12.88 | 11.64 | 12.54 | 12.46 |
|                               | SM-9    | 126                              | 91.9 | 70.7 | 54.9 | 33.5  | 19.8  | 24.37 | 16.61 | 14.27 | 12.72 | 12.22 | 10.91 | 11.76 | 11.68 |
|                               | SM-13   | 131                              | 94.3 | 73.1 | 56.2 | 34.2  | 18.81 | 24.45 | 16.97 | 14.64 | 13.13 | 12.77 | 11.51 | 12.35 | 12.19 |
|                               | SM-19   | 128                              | 92.6 | 71.1 | 54.6 | 33.2  | 18.91 | 23.7  | 16.45 | 14.23 | 12.82 | 12.45 | 11.39 | 12.28 | 12.19 |
|                               | SM-20   | 134                              | 99.6 | 76   | 58.3 | 35.1  | 19.33 | 25.06 | 17.26 | 14.86 | 13.33 | 12.91 | 11.73 | 12.74 | 12.54 |
| <b>Concentración mínima</b>   |         | 124                              | 88   | 68.5 | 52.9 | 32.2  | 18.43 | 23.41 | 16.18 | 14.02 | 12.64 | 12.22 | 10.91 | 11.76 | 11.68 |
| <b>Concentración máxima</b>   |         | 138                              | 100  | 76.6 | 59.6 | 36.5  | 20.28 | 26.91 | 18.57 | 16.07 | 14.39 | 14.02 | 12.62 | 13.68 | 13.65 |
| <b>Concentración promedio</b> |         | 130                              | 94.7 | 72.9 | 56.3 | 34.2  | 19.25 | 24.77 | 17.08 | 14.74 | 13.26 | 12.87 | 11.65 | 12.57 | 12.49 |

Tabla 15. Concentración Normalizada de ETR en muestras de Fondos y El Molinito.

| Muestra                | ETR (ppm) Normalizadas |      |      |      |       |       |       |       |       |       |       |       |       |       |
|------------------------|------------------------|------|------|------|-------|-------|-------|-------|-------|-------|-------|-------|-------|-------|
|                        | La                     | Ce   | Pr   | Nd   | Sm    | Eu    | Gd    | Tb    | Dy    | Ho    | Er    | Tm    | Yb    | Lu    |
| Zanjas                 |                        |      |      |      |       |       |       |       |       |       |       |       |       |       |
| T1-1A(5)               | 113                    | 78.0 | 61.1 | 43.5 | 27.70 | 14.00 | 18.69 | 14.58 | 13.76 | 12.11 | 11.85 | 12.49 | 12.82 | 13.84 |
| T1-1A (30-40)          | 97.1                   | 72.0 | 53.1 | 40.4 | 24.33 | 11.89 | 17.40 | 12.79 | 11.94 | 11.18 | 12.26 | 11.58 | 12.70 | 12.95 |
| T8-A(5)                | 109                    | 79.6 | 59.5 | 45.5 | 27.01 | 16.53 | 18.99 | 13.36 | 11.82 | 10.67 | 10.40 | 9.54  | 10.34 | 10.65 |
| T8-A(100-120)          | 108                    | 75.9 | 59.8 | 46.2 | 27.30 | 16.17 | 18.54 | 12.90 | 11.17 | 10.04 | 9.96  | 9.20  | 10.01 | 10.42 |
| Concentración mínima   | 97.1                   | 72.0 | 53.1 | 40.4 | 24.33 | 11.89 | 17.40 | 12.79 | 11.17 | 10.04 | 9.96  | 9.20  | 10.01 | 10.42 |
| Concentración máxima   | 113                    | 79.6 | 61.1 | 46.2 | 27.70 | 16.53 | 18.99 | 14.58 | 13.76 | 12.11 | 12.26 | 12.49 | 12.82 | 13.84 |
| Concentración promedio | 107                    | 76.4 | 58.4 | 43.9 | 26.58 | 14.65 | 18.40 | 13.41 | 12.17 | 11.00 | 11.12 | 10.70 | 11.47 | 11.97 |
| B4-A(5)                | 93.6                   | 65.7 | 52.1 | 41.2 | 25.02 | 16.19 | 17.43 | 12.18 | 10.68 | 9.54  | 9.17  | 8.36  | 8.98  | 8.95  |
| B4-A(55-65)            | 97.1                   | 68.6 | 55.4 | 43.4 | 26.76 | 16.66 | 18.42 | 13.50 | 11.85 | 10.69 | 10.37 | 9.40  | 10.09 | 10.38 |
| Promedio               | 95.4                   | 67.2 | 53.7 | 42.3 | 25.89 | 16.43 | 17.93 | 12.84 | 11.27 | 10.11 | 9.77  | 8.88  | 9.53  | 9.67  |

Tabla 16. Concentración Normalizada de ETR en muestras Zanjas de Tinajas I y II, Bacanuchi.

| Proveniencia           | Muestra              | Elementos de Tierras Raras (ppm) |       |      |       |       |       |       |       |       |       |       |       |       |       |
|------------------------|----------------------|----------------------------------|-------|------|-------|-------|-------|-------|-------|-------|-------|-------|-------|-------|-------|
|                        |                      | La                               | Ce    | Pr   | Nd    | Sm    | Eu    | Gd    | Tb    | Dy    | Ho    | Er    | Tm    | Yb    | Lu    |
| Tinajas                | T-03                 | 93.3                             | 78.4  | 58.2 | 46.5  | 27.59 | 19.61 | 21.01 | 14.55 | 11.66 | 10.39 | 10.22 | 9.43  | 9.55  | 10.59 |
|                        | T-04                 | 73.9                             | 46.7  | 43.1 | 34    | 19.7  | 12.73 | 11.96 | 9.09  | 8.16  | 7.79  | 7.11  | 7.14  | 7.27  | 7.06  |
|                        | T-05                 | 97                               | 73.4  | 54.6 | 41.3  | 23.15 | 14.55 | 12.68 | 9.09  | 9.329 | 7.79  | 8     | 7.43  | 8.18  | 8.53  |
|                        | R1                   | 42.5                             | 27.95 | 16.1 | 10.51 | 4.32  | 3.77  | 2.59  | 0.953 | 0.545 | 0.489 | 0.647 | 0.617 | 0.784 | 0.665 |
|                        | R2                   | 150                              | 112   | 85.1 | 65    | 35.1  | 21.46 | 24.58 | 14.37 | 11.11 | 9.53  | 9.1   | 7.82  | 8.32  | 8.00  |
|                        | Soc-21               | 140                              | 99.3  | 83.1 | 62.7  | 36    | 1.43  | 19.93 | 16.36 | 16.33 | 14.29 | 16.89 | 17.71 | 18.64 | 19.41 |
|                        | Sta. Isabel          | 160                              | 127   | 98.1 | 73.2  | 41.4  | 13.51 | 27.5  | 18.01 | 15.12 | 13.15 | 12.87 | 11.66 | 12.56 | 12.18 |
| Concentración mínima   |                      | 42.5                             | 27.95 | 16.1 | 10.51 | 4.32  | 1.43  | 2.59  | 0.953 | 0.545 | 0.489 | 0.647 | 0.617 | 0.784 | 0.665 |
| Concentración máxima   |                      | 160                              | 127   | 98.1 | 73.2  | 41.4  | 21.46 | 27.5  | 18.01 | 16.33 | 14.29 | 16.89 | 17.71 | 18.64 | 19.41 |
| Concentración promedio |                      | 108                              | 80.7  | 62.6 | 47.6  | 26.75 | 12.44 | 17.18 | 11.78 | 10.32 | 9.06  | 9.26  | 8.83  | 9.33  | 9.49  |
| Bacanuchi              | Bc-06                | 68.4                             | 48.8  | 39.9 | 31.4  | 21.67 | 12.08 | 13.04 | 10.91 | 9.62  | 9.09  | 8.44  | 8.57  | 9.55  | 10.29 |
|                        | Bc-130               | 98.5                             | 72.9  | 55.8 | 44.1  | 25.62 | 14.55 | 14.49 | 9.09  | 8.45  | 7.79  | 6.67  | 6.57  | 6.82  | 7.35  |
|                        | Bc-133               | 148                              | 119   | 93.8 | 76.2  | 46.3  | 31.8  | 27.17 | 20    | 17.78 | 14.29 | 14.22 | 12.57 | 12.73 | 13.24 |
|                        | Bc-135               | 114                              | 93.5  | 69.3 | 54.4  | 32.5  | 16.49 | 18.48 | 14.55 | 13.99 | 11.69 | 12    | 11.43 | 12.27 | 13.24 |
|                        | R4-Cg                | 145                              | 102   | 81.7 | 62.1  | 35.37 | 22.8  | 25.23 | 16.04 | 13.16 | 11.6  | 11.29 | 10.13 | 10.94 | 10.81 |
|                        | Concentración mínima | 68.4                             | 48.8  | 39.9 | 31.4  | 21.67 | 12.08 | 13.04 | 9.09  | 8.45  | 7.79  | 6.67  | 6.57  | 6.82  | 7.35  |
|                        | Concentración máxima | 148                              | 119   | 93.8 | 76.2  | 46.3  | 31.8  | 27.17 | 20    | 17.78 | 14.29 | 14.22 | 12.57 | 12.73 | 13.24 |
| Concentración promedio |                      | 115                              | 87.2  | 68.1 | 53.7  | 32.3  | 19.55 | 19.68 | 14.12 | 12.6  | 10.89 | 10.52 | 9.86  | 10.46 | 10.98 |
| Arizpe                 | Az-75                | 114                              | 86.7  | 67.1 | 53.8  | 31.5  | 21.3  | 19.2  | 12.73 | 11.08 | 10.39 | 8.89  | 8.57  | 9.09  | 8.82  |
|                        | Az-131               | 116                              | 83.8  | 58.8 | 43.8  | 24.63 | 14.03 | 13.04 | 9.09  | 7.87  | 6.49  | 5.78  | 5.71  | 6.82  | 6.47  |
|                        | Az-151               | 66.9                             | 55.3  | 44.9 | 36    | 20.2  | 10.78 | 11.23 | 7.27  | 7.58  | 7.79  | 8.00  | 7.71  | 9.55  | 10.00 |
|                        | Az-153               | 79.6                             | 57.3  | 41.4 | 28.73 | 17.24 | 7.4   | 9.78  | 7.27  | 6.41  | 5.19  | 5.33  | 6.00  | 6.36  | 6.47  |
|                        | R3                   | 94.1                             | 70.8  | 53.1 | 40.6  | 23.4  | 13.38 | 13.32 | 9.09  | 8.24  | 7.47  | 7.00  | 7.00  | 7.95  | 7.94  |
|                        | Concentración mínima | 66.9                             | 55.3  | 41.4 | 28.73 | 17.24 | 7.4   | 9.78  | 7.27  | 6.41  | 5.19  | 5.33  | 5.71  | 6.36  | 6.47  |
|                        | Concentración máxima | 116                              | 86.7  | 67.1 | 53.8  | 31.5  | 21.3  | 19.2  | 12.73 | 11.08 | 10.39 | 8.89  | 8.57  | 9.55  | 10.00 |
| Concentración promedio |                      | 94.1                             | 70.8  | 53.1 | 40.6  | 23.4  | 13.38 | 13.32 | 9.09  | 8.24  | 7.47  | 7.00  | 7.00  | 7.95  | 7.94  |

Tabla 17. Concentración Normalizada de ETR en rocas del área de estudio.

| Proveniencia                  | Muestra    | Elementos de Tierras Raras (ppm) |       |       |       |       |       |       |       |       |       |       |       |       |       |
|-------------------------------|------------|----------------------------------|-------|-------|-------|-------|-------|-------|-------|-------|-------|-------|-------|-------|-------|
|                               |            | La                               | Ce    | Pr    | Nd    | Sm    | Eu    | Gd    | Tb    | Dy    | Ho    | Er    | Tm    | Yb    | Lu    |
| Sinoquipe                     | S-100      | 118                              | 73.5  | 48.5  | 29.68 | 14.78 | 2.73  | 10.14 | 9.09  | 9.33  | 9.09  | 10.22 | 10.57 | 12.73 | 13.24 |
|                               | S-123      | 153                              | 111   | 76.6  | 50.6  | 25.62 | 12.6  | 14.13 | 10.91 | 9.62  | 9.09  | 8.89  | 8.86  | 9.55  | 10.59 |
|                               | S-150      | 66.3                             | 51.1  | 39.3  | 30.5  | 17.73 | 10.91 | 11.23 | 7.27  | 7     | 6.49  | 5.78  | 5.14  | 5.45  | 5.88  |
|                               | S-155      | 20.97                            | 13.18 | 11.85 | 10.95 | 7.88  | 6.62  | 5.8   | 5.45  | 4.96  | 5.19  | 4.89  | 4.57  | 5.00  | 5.00  |
|                               | S-158      | 90                               | 65.9  | 50.2  | 38.4  | 23.15 | 17.79 | 14.49 | 10.91 | 9.62  | 7.79  | 8     | 6.86  | 6.82  | 7.35  |
|                               | S1-Blanca  | 195.6                            | 130   | 84.1  | 54.4  | 26.96 | 8.65  | 19.84 | 11.55 | 9.06  | 7.87  | 7.95  | 7.5   | 8.57  | 8.55  |
|                               | R5         | 248                              | 168   | 112   | 71    | 32.95 | 13    | 26.22 | 14.22 | 10.86 | 9.34  | 9.34  | 8.9   | 10.26 | 10.85 |
| <b>Concentración mínima</b>   |            | 20.97                            | 13.18 | 11.85 | 10.95 | 7.88  | 2.73  | 5.8   | 5.45  | 4.96  | 5.19  | 4.89  | 4.57  | 5.00  | 5.00  |
| <b>Concentración máxima</b>   |            | 248                              | 168   | 112   | 71    | 32.9  | 17.79 | 26.22 | 14.22 | 10.86 | 9.34  | 10.22 | 10.57 | 12.73 | 13.24 |
| <b>Concentración promedio</b> |            | 127                              | 87.6  | 60.3  | 40.8  | 21.3  | 10.33 | 14.55 | 9.92  | 8.64  | 7.84  | 7.87  | 7.49  | 8.34  | 8.78  |
| Banamichi                     | Bn-122     | 145                              | 116   | 90    | 74.1  | 45.8  | 32.3  | 30.1  | 21.82 | 18.95 | 15.58 | 15.11 | 13.43 | 13.64 | 14.12 |
| Huépac                        | H-19       | 174                              | 123   | 83.8  | 58.6  | 30.5  | 13.38 | 18.12 | 12.73 | 11.37 | 10.39 | 10.22 | 10.86 | 10.91 | 11.47 |
|                               | H-51       | 94.2                             | 69.4  | 53.5  | 40.3  | 21.18 | 12.73 | 14.13 | 10.91 | 9.91  | 9.09  | 8.44  | 8.29  | 8.64  | 9.12  |
| <b>Concentración promedio</b> |            | 134                              | 96    | 68.7  | 49.4  | 25.86 | 13.05 | 16.12 | 11.82 | 10.64 | 9.74  | 9.33  | 9.57  | 9.77  | 10.29 |
| Aconchi                       | Ac-43      | 101                              | 76.6  | 56.7  | 41.9  | 25.62 | 15.71 | 18.12 | 12.73 | 12.24 | 10.39 | 10.67 | 10.29 | 10.91 | 11.18 |
|                               | Ac1-Blanca | 33.9                             | 27.7  | 26.1  | 25.2  | 19.45 | 13.39 | 13.5  | 10.61 | 9.46  | 8.18  | 7.47  | 6.48  | 6.53  | 6.14  |
| <b>Concentración promedio</b> |            | 67.4                             | 52.2  | 41.4  | 33.6  | 22.5  | 14.6  | 15.8  | 11.7  | 10.9  | 9.3   | 9.1   | 8.4   | 8.7   | 8.7   |
| Baviácora                     | Bv-10      | 127                              | 95.4  | 69.1  | 49.5  | 25.62 | 13.9  | 14.86 | 10.91 | 11.08 | 10.39 | 10.67 | 10.57 | 12.27 | 12.06 |
|                               | Bv-11      | 64.1                             | 51.3  | 36    | 25.56 | 17.73 | 9.35  | 11.59 | 10.91 | 11.95 | 11.69 | 12    | 12.29 | 14.09 | 14.71 |
|                               | Bv-12      | 58.7                             | 45.9  | 37.4  | 30    | 20.69 | 11.69 | 15.58 | 10.91 | 11.95 | 11.69 | 11.56 | 11.14 | 11.36 | 11.76 |
|                               | Bv-14      | 20.36                            | 13.53 | 8.46  | 5.4   | 2.96  | 1.43  | 2.17  | 1.82  | 1.46  | 1.3   | 1.33  | 1.43  | 1.36  | 1.76  |
|                               | Bv-26      | 97.9                             | 73.2  | 51.7  | 37.5  | 21.18 | 10.78 | 13.41 | 10.91 | 9.91  | 9.09  | 9.33  | 8.57  | 10    | 10    |
|                               | Bv-52      | 78.1                             | 61    | 49.5  | 42.1  | 24.63 | 19.09 | 15.22 | 9.09  | 8.16  | 6.49  | 6.22  | 5.71  | 5.91  | 5.59  |
|                               | Bv-55      | 73.6                             | 54.3  | 37.5  | 26.67 | 13.3  | 7.92  | 9.42  | 9.09  | 8.45  | 7.79  | 8     | 7.43  | 7.27  | 7.35  |
| <b>Concentración mínima</b>   |            | 20.36                            | 13.53 | 8.46  | 5.4   | 2.96  | 1.43  | 2.17  | 1.82  | 1.46  | 1.3   | 1.33  | 1.43  | 1.36  | 1.76  |
| <b>Concentración máxima</b>   |            | 127                              | 95.4  | 69.1  | 49.5  | 25.62 | 19.09 | 15.58 | 10.91 | 11.95 | 11.69 | 12    | 12.29 | 14.09 | 14.71 |
| <b>Concentración promedio</b> |            | 74.2                             | 56.4  | 41.4  | 31    | 18    | 10.6  | 11.7  | 9.1   | 9     | 8.3   | 8.4   | 8.2   | 8.9   | 9     |
| Ures                          | U-30       | 147                              | 110   | 79.2  | 57.9  | 30.5  | 16.23 | 19.2  | 14.55 | 13.41 | 11.69 | 11.11 | 11.14 | 11.82 | 13.24 |
|                               | U-32       | 102                              | 69.8  | 52.8  | 39.7  | 23.15 | 13.51 | 14.13 | 9.09  | 9.33  | 9.09  | 8     | 8     | 9.09  | 9.12  |
|                               | U-34       | 131                              | 95.4  | 66.2  | 47.3  | 25.62 | 13.9  | 16.3  | 12.73 | 11.37 | 10.39 | 10.22 | 10.29 | 10.91 | 11.47 |
|                               | RMO-1      | 77.6                             | 60.5  | 50.7  | 43.3  | 28.62 | 27.81 | 20    | 14.09 | 12.24 | 10.85 | 10.13 | 8.79  | 9.14  | 9.08  |
| <b>Concentración mínima</b>   |            | 77.63                            | 60.46 | 50.65 | 39.68 | 23.15 | 13.51 | 14.13 | 9.09  | 9.33  | 9.09  | 8     | 8     | 9.09  | 9.08  |
| <b>Concentración máxima</b>   |            | 147                              | 110   | 79    | 58    | 31    | 28    | 20    | 15    | 13    | 12    | 11    | 11    | 12    | 13    |
| <b>Concentración promedio</b> |            | 114.5                            | 84    | 62.2  | 47.1  | 27    | 17.9  | 17.4  | 12.6  | 11.6  | 10.5  | 9.9   | 9.6   | 10.2  | 10.7  |

Tabla 17a. Concentración Normalizada de ETR en rocas del área de estudio.

| Proveniencia    | Muestra      | Anomalía de Eu |
|-----------------|--------------|----------------|
| Fuente          | 14           | 0.236          |
|                 | 29           | 0.659          |
|                 | 31           | 0.487          |
| <b>Promedio</b> | <b>0.461</b> |                |
| <b>Perfiles</b> |              |                |
|                 | IT1E-5       | 0.195          |
|                 | IT1E-25      | 0.240          |
|                 | IT1E-50      | 0.384          |
|                 | IT2E-5       | 0.271          |
| Tinajas I       | IT2E-25      | 0.485          |
|                 | IT2E-50      | 0.369          |
|                 | IT3E-5       | 0.532          |
|                 | IT3E-25      | 0.557          |
|                 | IT3E-50      | 0.558          |
| <b>Promedio</b> | <b>0.399</b> |                |
|                 | IIT1E-5      | 0.634          |
|                 | IIT1E-25     | 0.726          |
|                 | IIT1E-50     | 0.703          |
|                 | IIT2E-5      | 0.67           |
| Tinajas II      | IIT2E-25     | 0.673          |
|                 | IIT2E-50     | 0.699          |
|                 | IIT3E-5      | 0.771          |
|                 | IIT3E-25     | 0.77           |
|                 | IIT3E-50     | 0.792          |
| <b>Promedio</b> | <b>0.715</b> |                |
| Bacanuchi       | B1E-5        | 0.712          |
|                 | B2E-5        | 0.762          |
|                 | B3D-5        | 0.774          |
| <b>Promedio</b> | <b>0.750</b> |                |
| Perfil 8A       | 23-8A        | 0.74           |
|                 | 25-8A        | 0.741          |
|                 | 29-8A        | 0.800          |
| <b>Promedio</b> | <b>0.760</b> |                |
| Sonora          | S1D-5        | 0.789          |
|                 | S1E-5        | 0.821          |
|                 | S1F-5        | 0.744          |
|                 | S2D-5        | 0.711          |
|                 | S2E-5        | 0.796          |
|                 | S2F-5        | 0.767          |
| <b>Promedio</b> | <b>0.771</b> |                |

| Proveniencia       | Muestra       | Anomalía Eu |
|--------------------|---------------|-------------|
| Tinajas I y II     | Fondos        |             |
|                    | IT2A-5        | 0.637       |
|                    | IT2I-5        | 0.755       |
|                    | IIT2A-5       | 0.685       |
|                    | IIT2I-5       | 0.657       |
| <b>Promedio</b>    | <b>0.683</b>  |             |
| Bacanuchi          | B2A-5         | 0.703       |
|                    | B2I-5         | 0.726       |
| <b>Promedio</b>    | <b>0.714</b>  |             |
| Sonora             | S2A-5         | 0.706       |
|                    | S2I-5         | 0.668       |
| <b>Promedio</b>    | <b>0.687</b>  |             |
| <b>El Molinito</b> |               |             |
| Tributario         | TM1A-5        | 0.729       |
|                    | TM1B-5        | 0.73        |
|                    | TM1C-5        | 0.708       |
| <b>Promedio</b>    | <b>0.722</b>  |             |
| Presa              | SM-1          | 0.649       |
|                    | SM-2          | 0.657       |
|                    | <b>SM-4</b>   | 0.651       |
|                    | SM-6          | 0.671       |
|                    | SM-7          | 0.647       |
|                    | SM-8          | 0.669       |
|                    | <b>SM-9</b>   | 0.692       |
|                    | SM-13         | 0.651       |
|                    | SM-19         | 0.674       |
|                    | SM-20         | 0.651       |
| <b>Promedio</b>    | <b>0.661</b>  |             |
| <b>Zanjas</b>      |               |             |
| Tinajas            | T1-1A(5)      | 0.615       |
|                    | T1-1A (30-40) | 0.578       |
|                    | T8-A(5)       | 0.730       |
|                    | T8-A(100-120) | 0.719       |
| <b>Promedio</b>    | <b>0.661</b>  |             |
| Bacanuchi          | B4-A(5)       | 0.775       |
|                    | B4-A(55-65)   | 0.750       |
| <b>Promedio</b>    | <b>0.763</b>  |             |

Tabla 18. Valores calculados de la anomalía de Eu para muestras de la Fuente, perfiles y Molinito.

| Proveniencia    | Muestra       | Anomalía Eu  | Proveniencia      | Muestra                  | Anomalía Eu  |       |
|-----------------|---------------|--------------|-------------------|--------------------------|--------------|-------|
| Tinajas         | T-03          | 0.814        | Sinoquipe cont... | S-158                    | 0.971        |       |
|                 | T-04          | 0.829        |                   | RSQ1-BLANCA              | 0.374        |       |
|                 | T-05          | 0.849        |                   | R5                       | 0.442        |       |
|                 | R1            | 1.13         |                   | <b>Promedio</b>          | <b>0.632</b> |       |
|                 | R2            | 0.730        |                   | Bn-122                   | 0.871        |       |
|                 | Socavón-21    | 0.053        |                   | H-19                     | 0.569        |       |
|                 | R-Sta. Isabel | 0.401        |                   | Banamichi-Huépac-Aconchi | 0.736        |       |
| <b>Promedio</b> |               | <b>0.686</b> |                   | H-51                     | 0.729        |       |
| Bacanuchi       | Bc-06         | 0.718        |                   | Ac-43                    | 0.826        |       |
|                 | Bc-130        | 0.755        |                   | RAC-1-BLANCA             |              |       |
|                 | Bc-133        | 0.897        |                   | <b>Promedio</b>          | <b>0.746</b> |       |
|                 | Bc-135        | 0.673        |                   | Bv-10                    | 0.712        |       |
|                 | R4-Cg         | 0.763        |                   | Bv-11                    | 0.652        |       |
| <b>Promedio</b> |               | <b>0.761</b> |                   | Bv-12                    | 0.651        |       |
| Arizpe          | Az-75         | 0.866        | Baviácora         | Bv-14                    | 0.564        |       |
|                 | Az-131        | 0.783        |                   | Bv-26                    | 0.64         |       |
|                 | Az-151        | 0.716        |                   | Bv-52                    | 0.986        |       |
|                 | Az-153        | 0.57         |                   | Bv-55                    | 0.708        |       |
| <b>Promedio</b> |               | <b>0.738</b> |                   | <b>Promedio</b>          | <b>0.702</b> |       |
| Sinoquipe       | S-100         | 0.223        |                   | U-30                     | 0.67         |       |
|                 | S-123         | 0.662        |                   | Ures                     | U-32         | 0.747 |
|                 | S-150         | 0.773        |                   | U-34                     | 0.68         |       |
|                 | S-155         | 0.980        |                   | RMO-1                    | 1.162        |       |
| <b>Promedio</b> |               | <b>0.815</b> |                   | <b>Promedio</b>          | <b>0.815</b> |       |

Tabla 19. Valores calculados de la anomalía de Eu para las rocas del área.

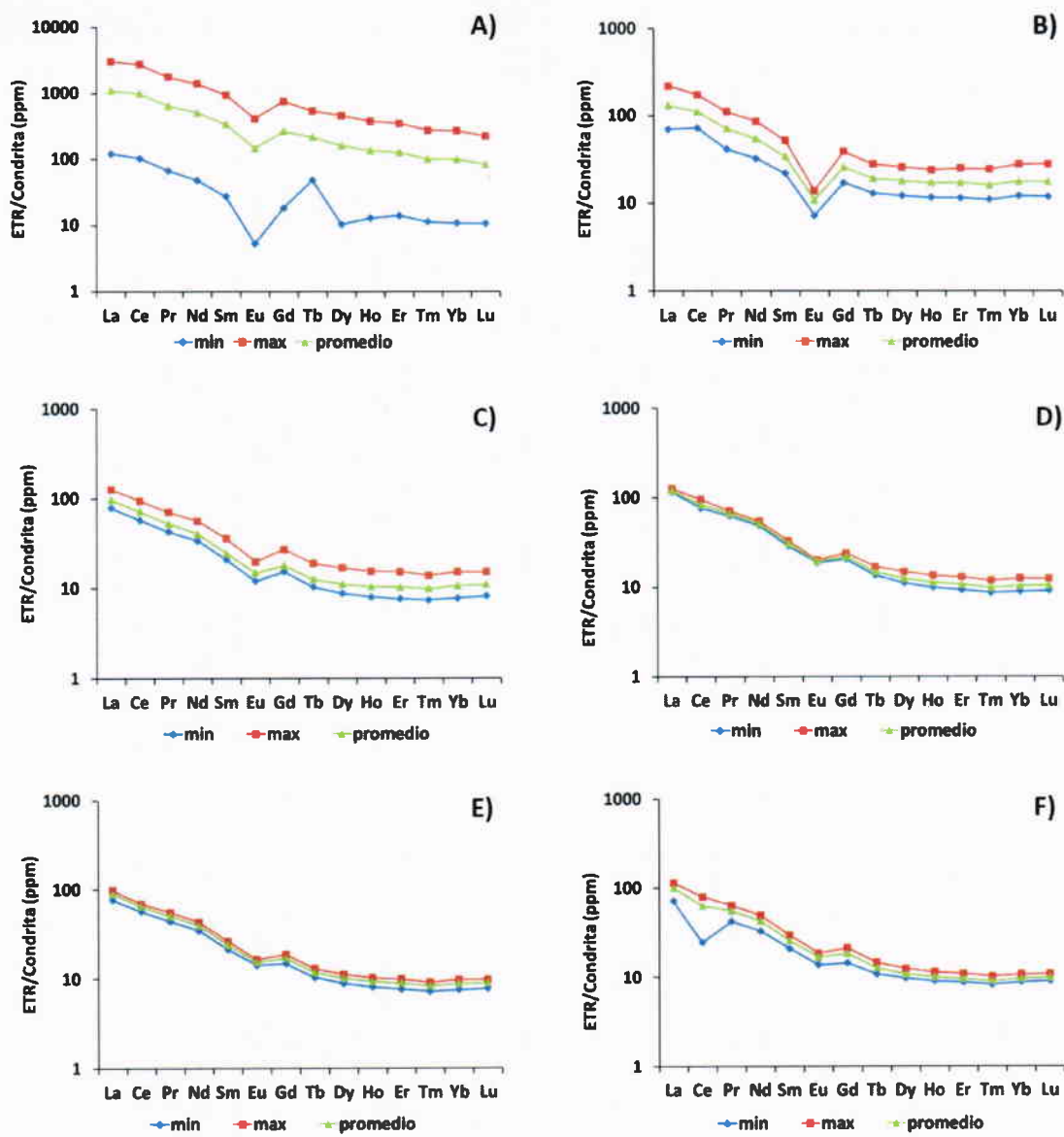
| Proveniencia    | Muestra  | Anomalía de Ce |
|-----------------|----------|----------------|
|                 | 14       | 1.15           |
| Fuente          | 29       | 0.972          |
|                 | 31       | <b>1.178</b>   |
| <b>Promedio</b> |          | 1.099          |
| <b>Perfiles</b> |          |                |
|                 | IT1E-5   | 1.11           |
|                 | IT1E-25  | 1.06           |
|                 | IT1E-50  | 1.54           |
|                 | IT2E-5   | 1.02           |
| Tinajas I       | IT2E-25  | 1.14           |
|                 | IT2E-50  | 1.64           |
|                 | IT3E-5   | 0.944          |
|                 | IT3E-25  | 1.34           |
|                 | IT3E-50  | 0.958          |
| <b>Promedio</b> |          | 1.2            |
|                 | IIT1E-5  | 0.634          |
|                 | IIT1E-25 | 0.726          |
|                 | IIT1E-50 | 0.703          |
|                 | IIT2E-5  | 0.67           |
| Tinajas II      | IIT2E-25 | 0.673          |
|                 | IIT2E-50 | 0.699          |
|                 | IIT3E-5  | 0.771          |
|                 | IIT3E-25 | 0.77           |
|                 | IIT3E-50 | 0.792          |
| <b>Promedio</b> |          | 0.715          |
|                 | B1E-5    | 0.712          |
| Bacanuchi       | B2E-5    | 0.762          |
|                 | B3D-5    | 0.774          |
| <b>Promedio</b> |          | 0.75           |
|                 | 23-8A    | 0.74           |
| Perfil 8A       | 25-8A    | 0.741          |
|                 | 29-8A    | 0.8            |
| <b>Promedio</b> |          | 0.76           |
|                 | S1D-5    | 0.789          |
|                 | S1E-5    | 0.821          |
| Sonora          | S1F-5    | 0.744          |
|                 | S2D-5    | 0.711          |
|                 | S2E-5    | 0.796          |
|                 | S2F-5    | 0.767          |
| <b>Promedio</b> |          | 0.771          |

| Proveniencia       | Muestra       | Anomalía de Ce |
|--------------------|---------------|----------------|
|                    | Fondos        |                |
|                    | IT2A-5        | 1.05           |
| Tinajas I y II     | IT2I-5        | 1.62           |
|                    | IIT2A-5       | 1.55           |
|                    | IIT2I-5       | 1.49           |
| <b>Promedio</b>    |               | 1.43           |
| Bacanuchi          | B2A-5         | 0.941          |
|                    | B2I-5         | 0.942          |
| <b>Promedio</b>    |               | 0.942          |
| Sonora             | S2A-5         | 0.931          |
|                    | S2I-5         | 0.944          |
| <b>Promedio</b>    |               | 0.938          |
| <b>El Molinito</b> |               |                |
|                    | TM1A-5        | 0.939          |
| Tributario         | TM1B-5        | 0.911          |
|                    | TM1C-5        | 0.967          |
| <b>Promedio</b>    |               | 0.939          |
|                    | SM-1          | 0.961          |
|                    | SM-2          | 0.994          |
|                    | SM-4          | 0.979          |
|                    | SM-6          | 0.955          |
| Presa              | SM-7          | 0.973          |
|                    | SM-8          | 0.973          |
|                    | SM-9          | 0.974          |
|                    | SM-13         | 0.964          |
|                    | SM-19         | 0.971          |
|                    | SM-20         | 0.988          |
| <b>Promedio</b>    |               | 0.973          |
| <b>Zanjas</b>      |               |                |
|                    | T1-1A(5)      | 0.940          |
| Tinajas            | T1-1A (30-40) | 1.00           |
|                    | B4-A(5)       | 0.941          |
|                    | B4-A(55-65)   | 0.936          |
| <b>Promedio</b>    |               | 0.955          |
| Bacanuchi          | T8-A(5)       | 0.986          |
|                    | T8-A(100-120) | 0.947          |
| <b>Promedio</b>    |               | 0.967          |

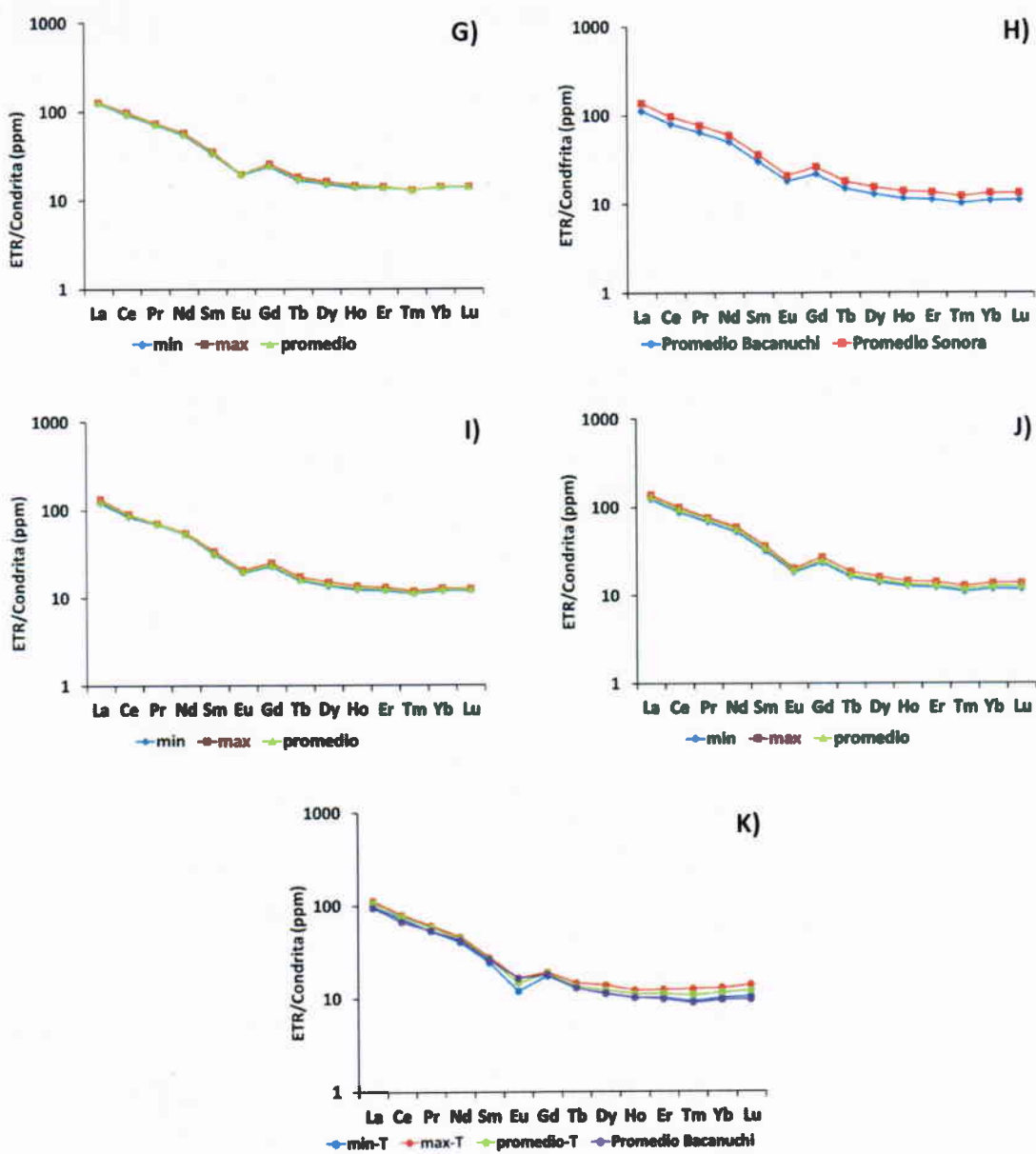
Tabla 20. Valores calculados de la anomalía de Ce para muestras de la Fuente, perfiles, Fondos, El Molinito y Zanjas.

| Proveniencia    | Muestra       | Anomalía Ce  | Proveniencia                                  | Muestra      | Anomalía Ce  |
|-----------------|---------------|--------------|---|--------------|--------------|
| Tinajas         | T-03          | 1.06         | Sinoquipe cont...<br>Banámichi-Huépac-Aconchi | S-158        | 0.98         |
|                 | T-04          | 0.828        |   | RSQ-1-BLANCA | 1.014        |
|                 | T-05          | 1.01         |   | R5           | 1.012        |
|                 | R1            | 1.07         | <b>Promedio</b>                               |              | <b>0.978</b> |
|                 | R2            | 0.993        | Bn-122  | 1.011        |              |
|                 | R-Sta. Isabel | 1.01         | H-19  | 1.016        |              |
| <b>Promedio</b> |               | <b>0.985</b> | H-51  | 0.977        |              |
| Bacanuchi       | Bc-06         | 0.934        | Ac-43   | 1.013        |              |
|                 | Bc-130        | 0.984        | RAC-1-BLANCA                                  | 0.932        |              |
|                 | Bc-133        | 1.01         | <b>Promedio</b>                               |              | <b>0.99</b>  |
|                 | Bc-135        | 1.05         | Bv-10   | 1.019        |              |
| <b>Promedio</b> |               | <b>0.982</b> | Bv-11   | 1.068        |              |
| Arizpe          | R4-Cg         | 0.933        | Bv-12   | 0.98         |              |
|                 | Az-75         | 0.992        | Baviácora                                     | 1.03         |              |
|                 | Az-131        | 1.01         | Bv-14   | 1.029        |              |
|                 | Az-151        | 1.01         | Bv-26   | 0.981        |              |
|                 | Az-153        | 1.00         | Bv-52   | 1.035        |              |
| <b>Promedio</b> |               | <b>1.00</b>  | <b>Promedio</b>                               |              | <b>1.02</b>  |
| Sinoquipe       | R3            | 1.00         | U-30  | 1.022        |              |
|                 | Promedio      | 1.00         | Ures  | 0.95         |              |
|                 | S-100         | 0.973        | U-32  | 1.025        |              |
|                 | S-123         | 1.026        | U-34  | 0.964        |              |
| <b>Promedio</b> |               | <b>0.99</b>  | <b>Promedio</b>                               |              | <b>0.99</b>  |
| S-150           | 1.001         |              |   |              |              |
| S-155           | 0.836         |              |   |              |              |

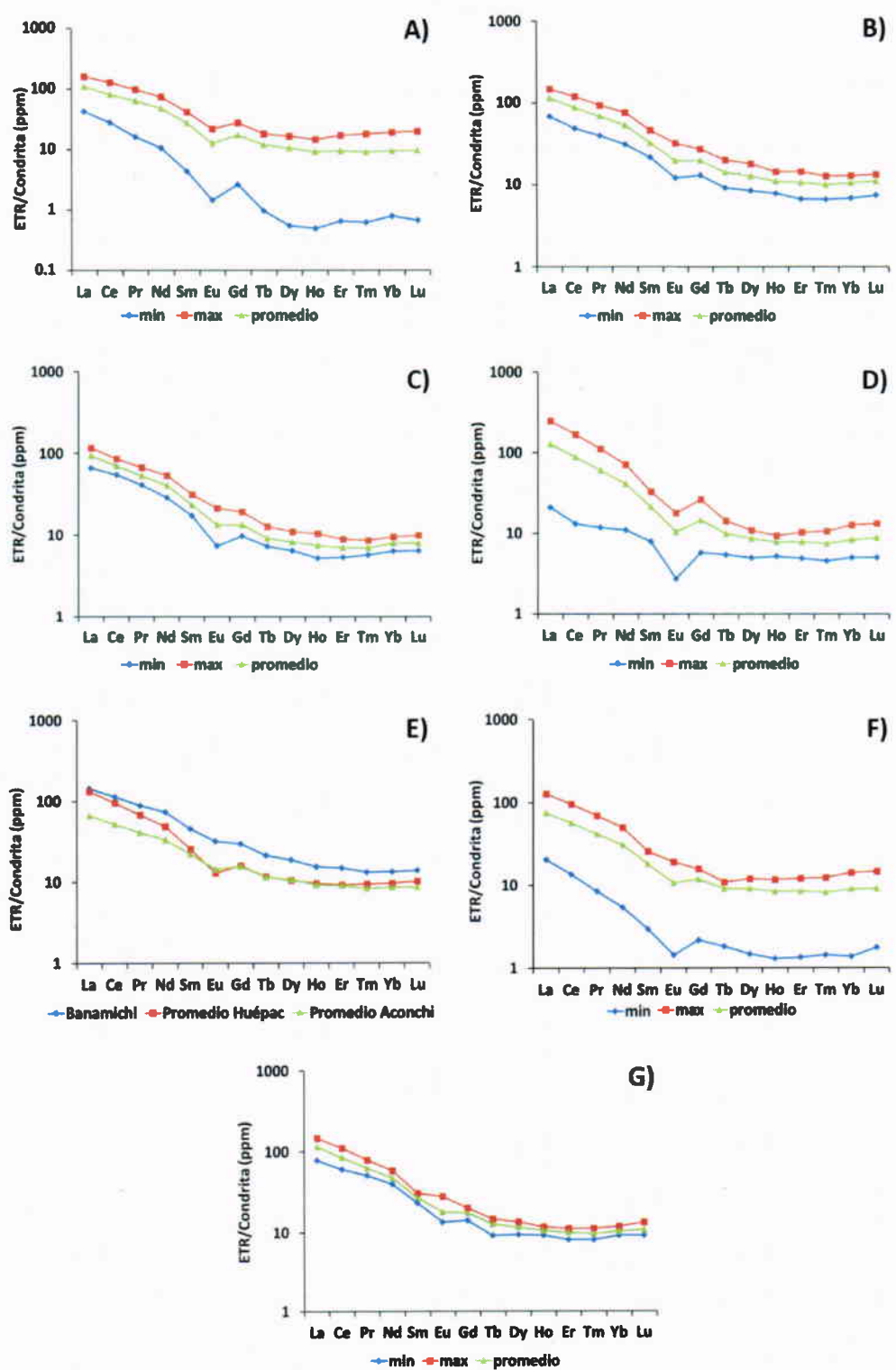
Tabla 21. Valores calculados de la anomalía de Ce para las rocas del área.



Gráfica 4. Patrones normalizados (valores mínimo, máximo, promedio) de la Fuente (A), perfiles Tinajas I (B) y II (C), Bacanuchi (D), 8A (E), Sonora (F).



Gráfica 5. Patrones normalizados (valores mínimo, máximo, promedio) de Fondos Tinajas I y II (G), Bacanuchi-Sonora (H), El Molinito Tributario (I), presa El Molinito (J), Zanjas Tinajas-T y Bacanuchi (K)



Gráfica 6. Patrones normalizados de las rocas de Tinajas (A), Bacanuchi (B), Arizpe (C), Sinoquipe (D), Banámichi-Huépac-Aconchi (E), Baviácora (F) y Ures (G).

## 6. Discusión

El enriquecimiento en ETR-Ligeros, que predomina en los sitios estudiados y el empalme observado en los patrones de los Fondos, El Molinito y Zanjas coincide con lo reportado para la geología del área por González-León et al. 2010, para basaltos de la Formación Toro Muerto y Agua Caliente. Desde el punto de vista ambiental, este empalme en los patrones de ETR sugiere que existe una importante componente natural en estos materiales con condiciones redox poco variables, con respecto a las otras áreas de estudio, en el entorno lo que permite el empalme de los patrones.

El análisis de los resultados permitió observar dos importantes anomalías, que corresponden al Eu y Ce. Estos ETR son sensibles a los cambios de las condiciones redox, que se expresan como anomalías positivas o negativas. Al respecto se sabe que el Eu es un metal que bajo condiciones reductoras es poco soluble y se encuentra como  $\text{Eu}^{2+}$ , asociado a los sedimentos, pero; cuando el ambiente se torna oxidante cambia a  $\text{Eu}^{3+}$ , el cual es soluble, lo que propicia un empobrecimiento en la fase sólida del elemento, lo que se interpreta como una anomalía negativa en el patrón del material estudiado. En los perfiles de Tinajas I y II, Bacanuchi, 8A, Presa-Tributario El Molinito, Fondos, Zanjas, la anomalía negativa de Eu es constante y se conserva en las rocas representativas de cada sitio, con variaciones en el valor calculado de la misma (tabla). Al concordar la anomalía negativa de Eu entre las muestras y rocas, se expone que de manera natural, los sitios estudiados se encuentran empobrecidos en Eu.

El predominio de las condiciones oxidantes del área, se confirman con el comportamiento del Ce, el cual, es un ETR estable bajo condiciones oxidantes. Se mantiene en su estado de oxidación más alto ( $\text{Ce}^{4+}$ ) que es insoluble; cuando el ambiente se torna subóxico-anóxico el  $\text{Ce}^{4+}$  se reduce a  $\text{Ce}^{3+}$ , su forma soluble, generando anomalías negativas cercanas a la unidad, debido a que una porción del Ce contenido en los sedimentos se moviliza hacia la columna de agua lo que resulta en un empobrecimiento de la fase sólida (Olías et al. 2005, Pattan et al. 2005; Wilde 1996). Por otro lado la presencia de sedimentos ricos en óxidos de Fe (asociados a condiciones óxicas) y/o la generación de oxihidróxidos de Fe *per se* actúan como un retenedor de Ce en la fase sólida, lo que produce una anomalía positiva (Pattan et al. 2005, Verplanck et al. 2004; Wilde et al. 1996). Ambas situaciones presentes en el sitio estudiado.

Los sitios de la Fuente y Tinajas corresponden al ambiente con predominio de condiciones oxidantes que coinciden con valores de pH ácidos (pH 1-3) para la Fuente, así como, para Tinajas I (pH= 4.2-5.7), además de las elevadas concentraciones de Fe (entre 1 y 3%), respectivamente; condiciones que promueven la formación de oxihidróxidos de Fe y favorecen la retención del Ce<sup>4+</sup>, en la fase sólida, resultando en una anomalía positiva para estos sitios, sin embargo; en los patrones de las rocas propias del lugar el Ce se detectó como una anomalía negativa (\*Ce= 0.985), que revela un empobrecimiento natural incrementado o disminuido (rocas de Arizpe no reportan anomalía de Ce), por las variaciones en las condiciones redox del área.

Las variaciones de las anomalías de Eu y Ce, son apreciables en los valores calculados. Por ejemplo en la anomalía de Eu su valor tiende a la unidad y gráficamente se observa al disminuir la profundidad del pico de este elemento (figura patrón ETR TINAJAS I y II). Esta variación se observó a partir del perfil de Tinajas II y, se conserva en Bacanuchi, 8A, Sonora, Presa-Tributario El Molinito, Fondos y Zanjas. De igual manera, la anomalía positiva de Ce encontrada en las muestras La Fuente y Tinajas I presenta un decremento en sus valores, por lo que la anomalía se torna negativa en el resto de los perfiles estudiados.

Las anomalías y las variaciones en sus valores se relacionan con dos fenómenos importantes: 1) predominio de condiciones oxidantes en Tinajas, relacionadas con la presencia de la mineralización natural del área, las elevadas concentraciones de Fe; que pueden atribuirse a la presencia de oxihidróxidos de Fe, cuya formación se ve favorecida por las condiciones físico-químicas. Las condiciones de acidez se pueden incrementar por la presencia de varios represos que se emplean como contenedores de soluciones ácidas lixiviantes y altamente oxidantes. 2) El cambio de las condiciones oxidantes a subóxicas-reductoras, principalmente, en los perfiles de Tinajas II, Bacanuchi, 8A, Sonora, Presa-Tributario El Molinito, Fondos y Zanjas.

Estas modificaciones en las anomalías indican que una porción del Eu posiblemente reprecipita enriqueciendo la fase sólida y por tanto disminuye la anomalía negativa. En el Ce se produce un efecto contrario, pues al tornarse las condiciones oxidantes a subóxicas-reductoras, el Ce cambia a un estado de oxidación menor y se solubiliza, lo que se refleja en una anomalía negativa.

Fenómenos meteorológicos como los huracanes Odile y Norberto, pueden estar involucrados en el cambio de las condiciones redox registrados por el Eu y Ce. Estos fenómenos produjeron un aumento significativo en el caudal de agua del arroyo Tinajas, ríos Bacanuchi y Sonora debido al importante aporte de agua en un corto periodo de tiempo (51 y ~200 mm de agua en 6 días), además; de una gran cantidad de material particulado erosionado de la cuenca.

En la Fuente y Tinajas I predominan condiciones ácidas (pH entre 4 y 5) una CE que supera los 100  $\mu\text{S}/\text{cm}$  en superficie, condiciones congruentes con la salida del Eu de la fase sólida (empobrecimiento) y su expresión en una anomalía negativa, aunado a las elevadas concentraciones de Fe (> 2%), que pueden asociarse con la presencia de oxihidróxidos con capacidad de retener al Ce en la fase sólida (enriquecimiento) y su anomalía positiva en estos sitios.

Por el contrario, a partir de Tinajas II, el pH se eleva a valores neutro-alcalinos con una CE inferior a 70  $\mu\text{S}/\text{cm}$ , que coincide con el decrecimiento de la anomalía de Eu y su reprecipitación para enriquecer al sedimento y el cambio hacia una anomalía negativa o ausente de Ce (empobrecimiento), condiciones que se conservan hasta los sitios de la presa-tributario El Molinito, Zanjas y en los Fondos de Bacanuchi y Sonora.

Los Fondos de Tinajas son similares a la Fuente y Tinajas I, confirmando la presencia de una componente natural oxidante en estos sitios, pero; no se puede descartar una influencia antropogénica, al existir represos recolectores de las soluciones lixiviantes de Cu por las actividades mineras de Cananea.

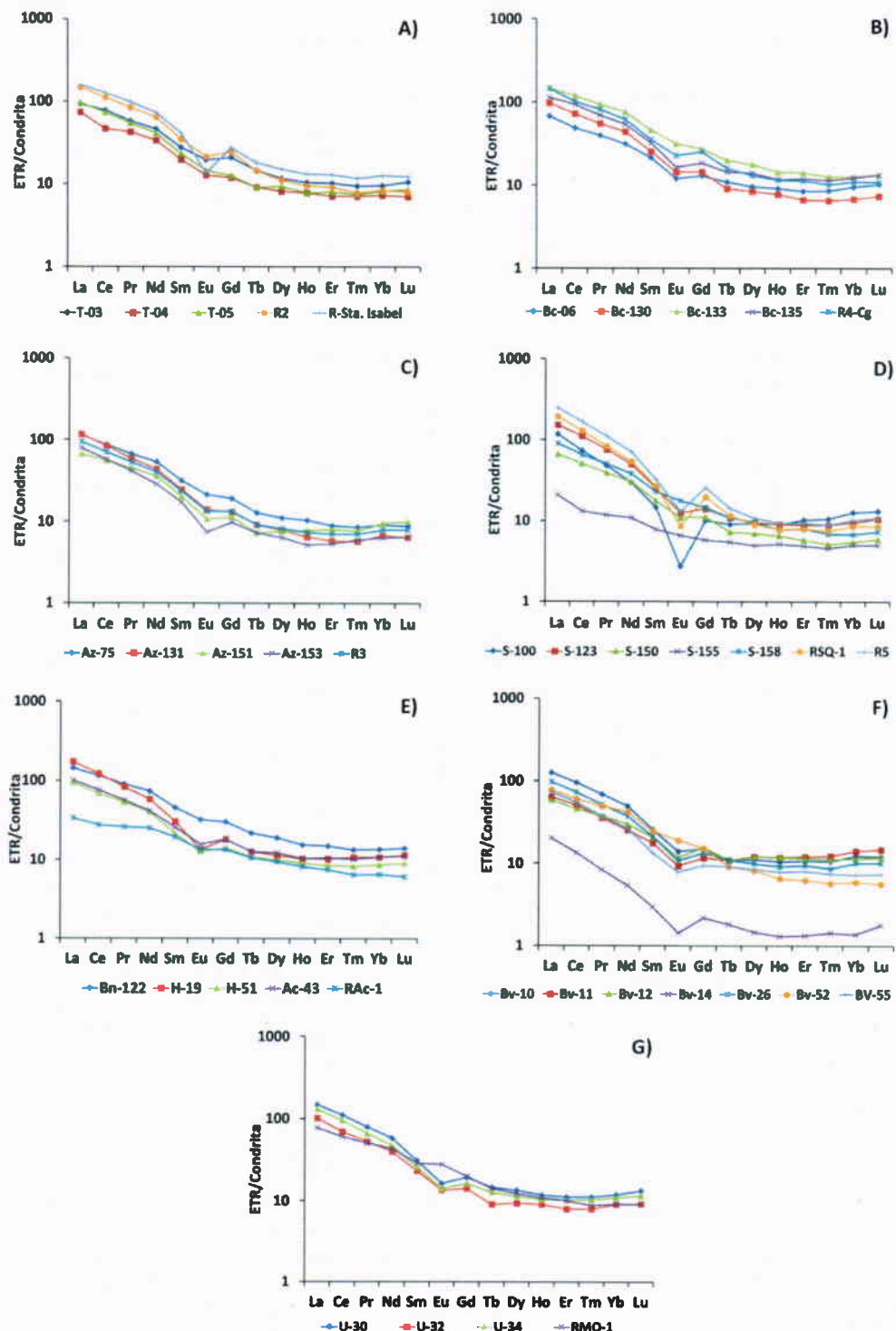
El análisis de los resultados de sulfatos indica que la presencia de sulfatos en el área es variable y existe una alta heterogeneidad de los materiales estudiados. Corroborado, por ejemplo, con concentraciones de apenas unas decenas de mg/kg en muestras de los Fondos de Tinajas II e inferiores a la decena en la muestra B4A.5 de las Zanjas. No obstante, en los Fondos de Tinajas I y Sonora las concentraciones fueron similares al perfil de Tinajas I. La prevalencia de condiciones oxidantes en Tinajas I, se corrobora por la elevada concentración de sulfatos y, expone la interacción de la solución ácida derramada con los materiales de este sitio.

Adicional a este comportamiento, se logró identificar dos fenómenos: a) dilución de los sulfatos en los perfiles y, b) acumulación de estos en la Presa El Molinito. Así, en Tinajas II, Bacanuchi, 8A, Sonora, Tributario, Zanjas, la dilución de los sulfatos puede asociarse al paso de los huracanes Odile y Norberto y, a la distancia entre el punto de derrame y el punto más alejado de éste, que corresponde al Tributario El Molinito. El proceso de acumulación en la Presa El Molinito, se puede relacionar al aumento en la concentración de sulfatos en los sedimentos de este sitio, ocasionado por el material erosionado de la cuenca que se incorporan al río Sonora que tienen como punto final la Presa El Molinito. Este material erosionado, lleva consigo sulfatos que al irse acumulando incrementan su concentración al funcionar el vaso de la presa como almacén de estos.

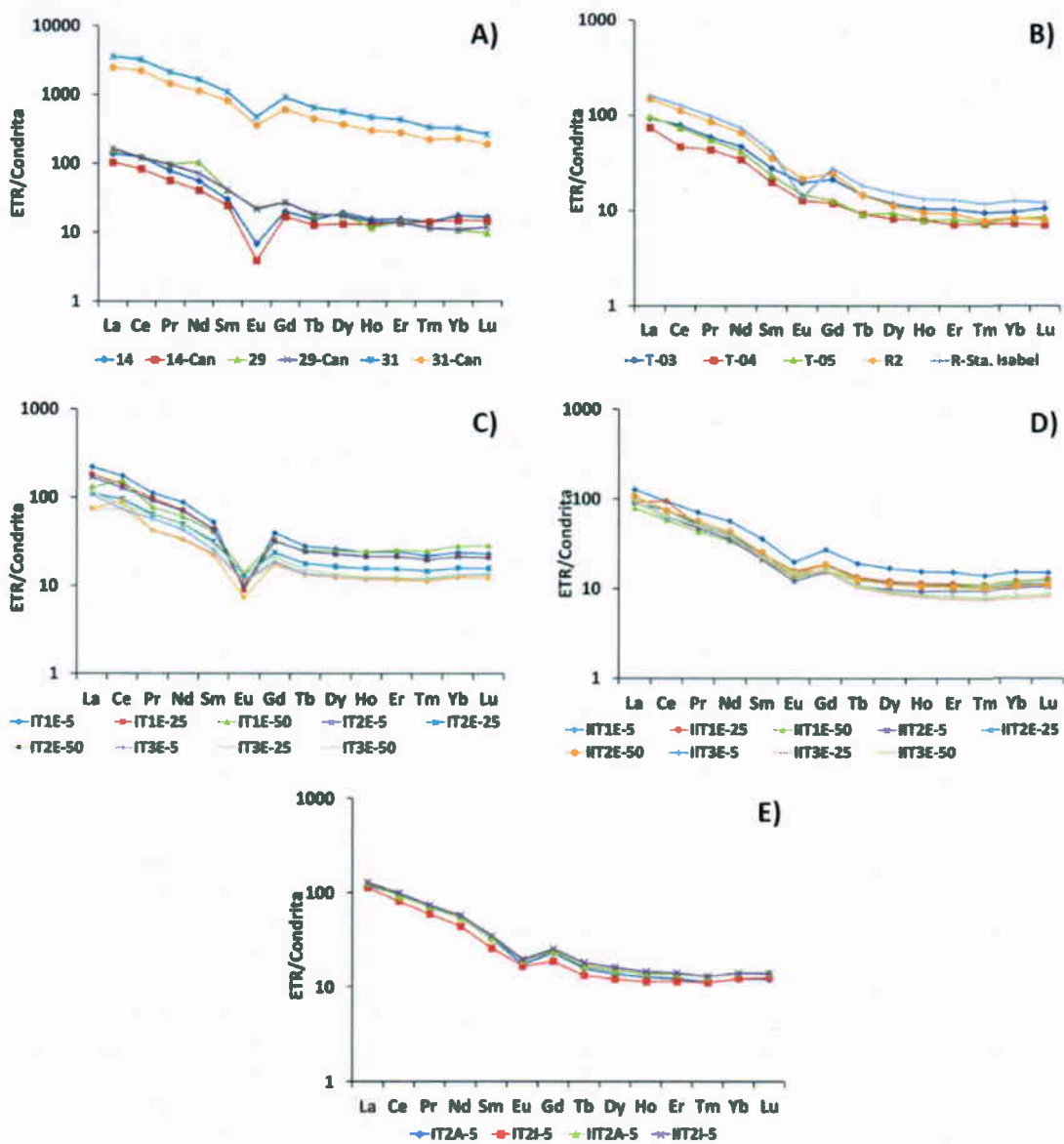
Tinajas I tuvo un patrón similar a la Fuente y distinto a las rocas de esta zona, en las cuales, las anomalías negativas de Eu y Ce, se conservaron. El comportamiento del Eu, en las rocas, fue similar al de Tinajas II, Bacanuchi, 8A, Sonora, Presa y Tributario El Molinito, Fondos y Zanjas. Con excepción de las rocas de Baviácora que tuvieron una discreta anomalía positiva de Ce y, de Arizpe cuya anomalía para este mismo elemento estuvo ausente, en el resto de las rocas la anomalía fue negativa.

El comportamiento del Eu y Ce en las rocas, revela que naturalmente existen condiciones oxidantes en el área de estudio, como comprueban los Fondos de Tinajas, que exhiben un empobrecimiento natural de estos elementos, con variaciones locales que pueden acentuar o disminuir dichas anomalías. Esta similitud entre los patrones de las muestras analizadas y los materiales naturales de la zona, como son las rocas, permitió identificar la ausencia de contaminación residual en los materiales analizados, incluyendo aquellos que por sus características físicas (coloración) o químicas (pH-CE) se consideraron impactados, como el perfil 8A.

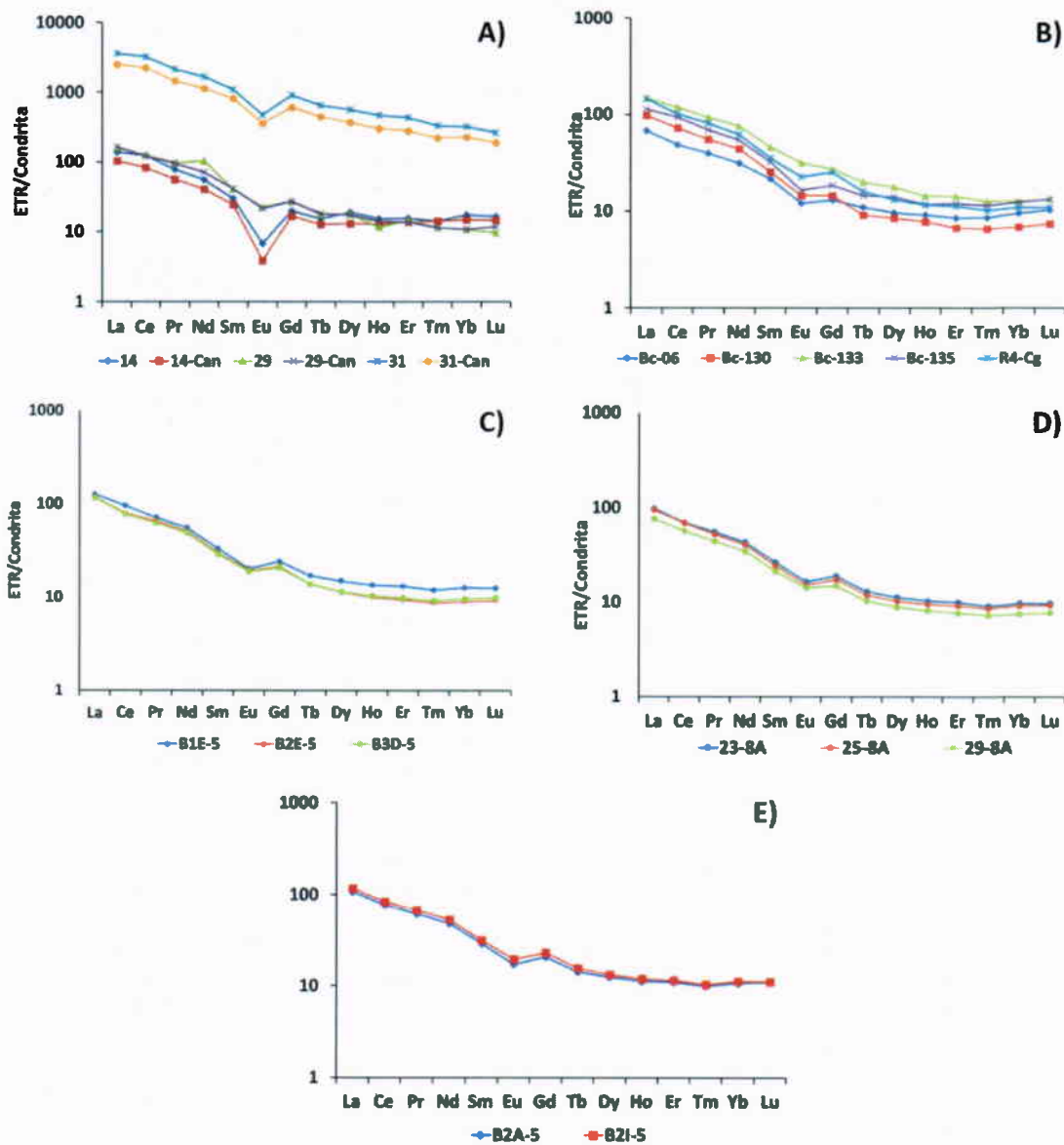
Lo anterior sugiere que los metales que acarreaba el lixiviado ácido derramado en agosto de 2014 no están retenidos en los sedimentos, que las concentraciones de Fe, Mn, Ba y sulfatos que llevaba la solución sufrieron una dilución por la aportación pluvial de los huracanes Odile y Norberto, evitando de manera natural un mayor impacto al entorno.



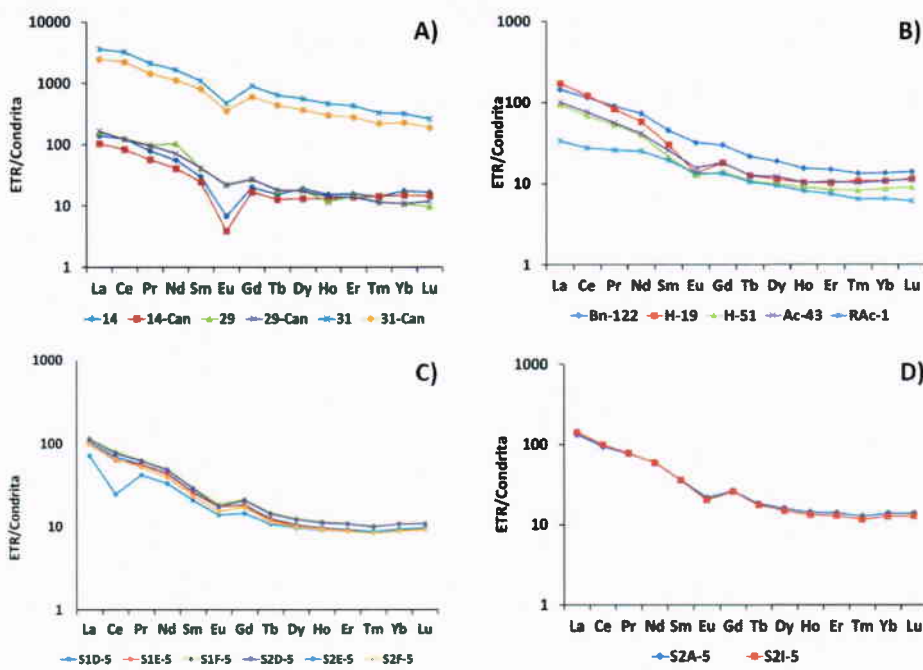
**Gráfica 7.** Patrones normalizados de ETR de las rocas del área: A) Tinajas, B) Bacanuchi, C) Arizpe, D) Sinoquipe, E) Banamichi-Huépac-Aconchi, F) Baviácora, G) Úres.



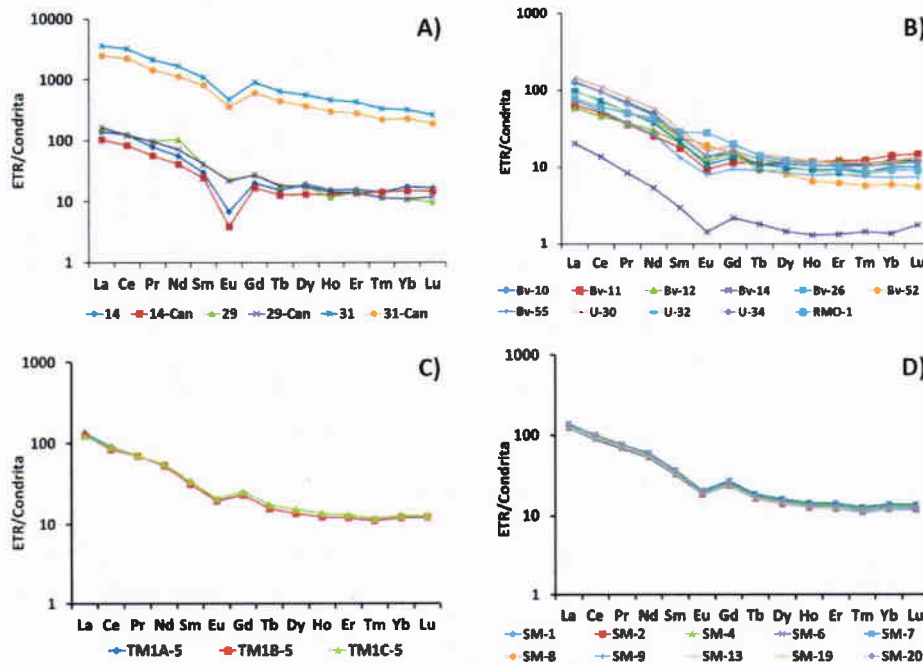
Gráfica 8. Patrones normalizados de ETR de: A) Fuente, B) Rocas Tinajas, C) Tinajas I, D) Tinajas II, E) Fondos Tinajas I y II.



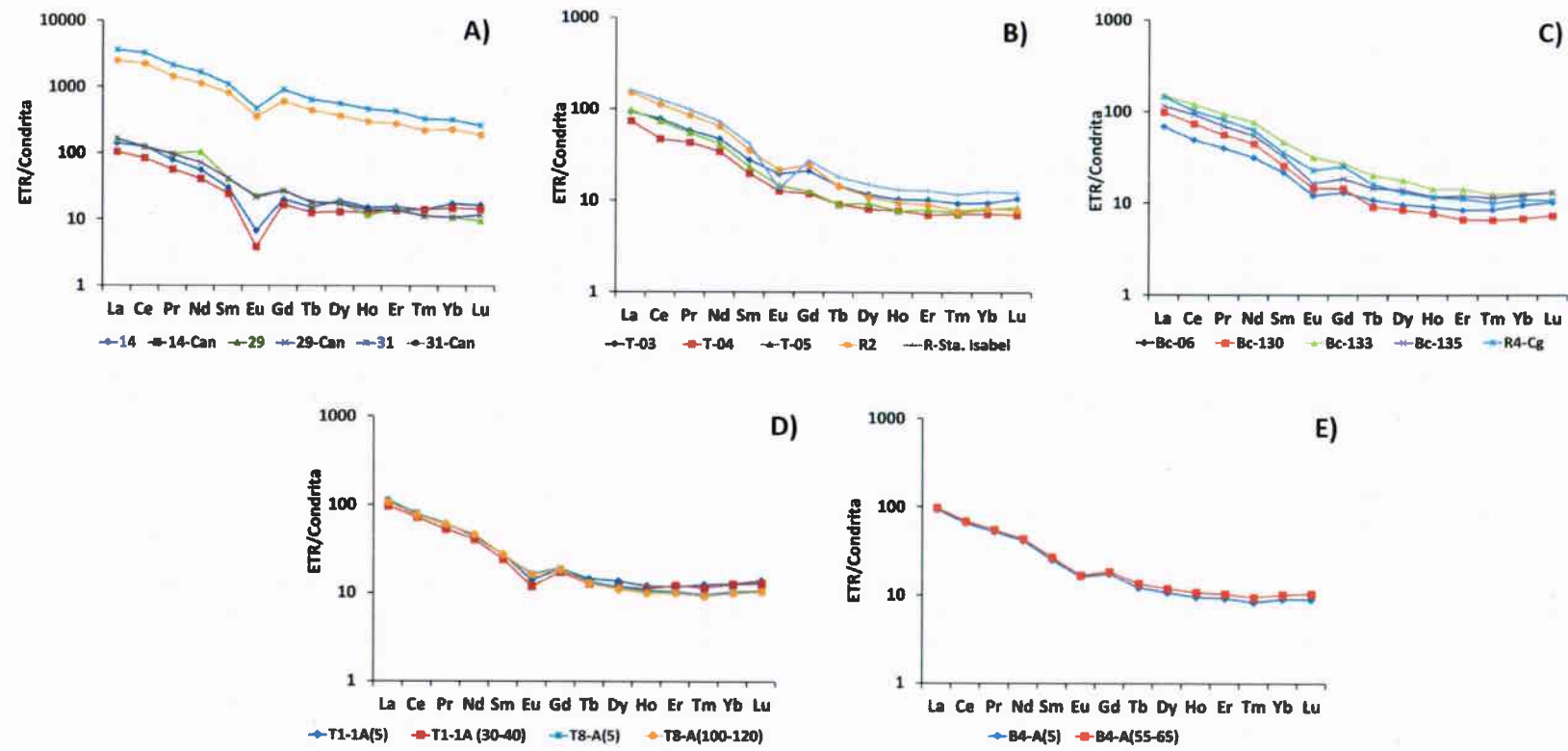
Gráfica 9. Patrones normalizados de la Fuente (A) y rocas representativas de Bacanuchi (B), patrones normalizados de los sitios de Bacanuchi (C) y el perfil 8A (D). Se incluye para su comparación, el perfil normalizado de las muestras consideradas como Fondos (E).



Gráfica 10. Patrones de ETR obtenidos en los perfiles del río Sonora (C), las muestras de Fondo de esta sitio (D) y su comparación con respecto a la Fuente (A) y rocas representativas de esta zona (B).



Gráfica 11. Patrones normalizados de la Fuente (A) y rocas representativas de El Molinito (B) y de los sitios de Tributario (C) y Presa El Molinito (D).



Gráfica 12. Patrones normalizados de la Fuente (A), rocas representativas de Tinajas (B), rocas representativas de Bacanuchi (C), Zanjas Tinajas (D), Zanjas Bacanuchi (E).

## 7. Conclusiones

- a) Los patrones de ETR mostraron un enriquecimiento sistemático en ETR-Ligeras en los sitios estudiados con un patrón suavizado hacia las ETR-Pesadas.
- b) Se detectaron dos anomalías negativas, de Eu y Ce, características de la zona. En las rocas, estas anomalías negativas fueron constantes, excepto en las rocas de Arizpe, dónde la anomalía de Ce estuvo ausente y en las de Baviácora dónde se detectó una discreta anomalía positiva.
- c) Tinajas I y la Fuente mostraron patrones similares entre sí, caracterizados por una importante anomalía negativa de Eu, y en este caso una anomalía positiva de Ce. Pero en rocas de este sitio, la anomalía de estos elementos fueron negativas.
- d) Los patrones de ETR en los sitios de Tinajas II, Bacanuchi, perfil 8A, Sonora, Tributario y Presa El Molinito, Zanjas y Fondos, fueron distintos al de la Fuente, pero similares al obtenido en las rocas representativas de estas áreas conservándose en ambos casos las anomalías de Eu y Ce.
- e) Se identificó un cambio en las condiciones redox del área de estudio, con un predominio de condiciones oxidantes en Tinajas I y la Fuente, una zona de transición con un ambiente subóxico-reductor en Tinajas II, y una zona con predominio de condiciones subóxicas-reductoras en Bacanuchi, perfil 8A, Sonora, Fondos (Bacanuchi y Sonora), Presa y Tributario El Molinito y Zanjas, ambas condiciones confirmadas por el comportamiento en las anomalías de Eu y Ce.
- f) Fenómenos meteorológicos como los huracanes Odile y Norberto se relacionaron con el cambio en las condiciones redox del área, por el importante aporte de agua y material particulado que aportaron en un corto periodo de tiempo.

- g) Las condiciones óxido-reductoras se ven favorecidas por una componente natural, asociada a la mineralización del área, además de una antropogénica debido a los represos de lixiviación del cobre.
- h) El perfil 8A es el único sitio que conserva valores de pH y CE similares a Tinajas, sin embargo, el perfil de ETR y las anomalías de Eu y Ce fueron similares a las rocas de este sitio.
- i) El proceso de dilución fue exhibido por las variaciones en la concentración de  $\text{SO}_4^{2-}$ . La mayor concentración se determinó en Tinajas I, la cual, disminuyó a partir de Tinajas II y por sobre todo el cauce del río Sonora hasta su llegada a la Presa El Molinito. En este sitio, las concentraciones de sulfatos, reflejan un proceso de transporte y acumulación al aumentar la concentración de  $\text{SO}_4^{2-}$  a niveles similares a los de Tinajas I.
- j) El análisis de los elementos de tierras raras exhibió la ausencia de contaminación residual en los materiales estudiados, incluyendo, aquellos considerados impactados (rojizos, ocre, con pH ácido, altas CE).
- k) Salvo los patrones de ETR de los sitios de Tinajas I y la Fuente, cuyos patrones están relacionados con el impacto de la solución ácida derramada, el resto de los patrones de ETR determinados representan la firma geoquímica natural del área de estudio.

## 8. Recomendaciones

Analizar detalladamente los sitios con valores de pH ácidos y altas CE, que de acuerdo con los patrones de ETR obtenidos no están relacionados con contaminación residual. Lo anterior, para identificar la presencia de posibles sales o minerales relacionados con los valores de estos parámetros físico-químicos, puesto que al ser puntuales no reflejan las condiciones naturales del área y, pueden estar asociadas a fenómenos ajenos al derrame ocurrido.

## 9. Bibliografía

1. Bozau, E., Leblanc, M., Seidel, J. L. and Stärkc, H. J. 2004. Light Rare Earth Elements enrichment in an acidic mine lake (Lusatia, Germany). *Applied Geochemistry* 19:261–271.
2. Coppin, F., Berger, G., Bauer, A., Castet, S., and Loubet, M. 2002. Sorption of lanthanides on smectite and kaolinite. *Chemical Geology* 182:57–68.
3. Delgado, J., Pérez-López, R., Galván, L., Nieto, J. M., Boski, T. 2012. Enrichment of rare earth elements as environmental tracers of contamination by acid mine drainage in salt marshes: A new perspective. *Marine Pollution Bulletin* 64:1799–1808.
4. Fernández-Caliani, J.C., Barba-Brioso, C., De la Rosa, J.D. 2009. Mobility and speciation of rare earth elements in acid minesoils and geochemical implications for river waters in the southwestern Iberian margin. *Geoderma* 149: 393–401.
5. Ferreira da Silva E., Bobos, I., Xavier Matos, J., Patinha, C., Reis, a. P. and Cardoso Fonseca, E. 2009. Mineralogy and geochemistry of trace metals and REE in volcanic massive sulfide host rocks, stream sediments, stream waters and acid mine drainage from the Lousal mine area (Iberian Pyrite Belt, Portugal). *Applied Geochemistry* 24: 383–401.
6. Gammons, C. H., Wood, S.A., Jonas, J. P., and Madison, J. P. 2003. Geochemistry of the rare-earth elements and uranium in the acidic Berkeley Pit lake, Butte, Montana. *Chemical Geology* 198:269– 288.
7. \_\_\_\_\_, Wood, S.A., Pedrozo, F., Varekamp, J.C., Nelson, B. J., Shope, C. L., and Baffico, G. 2005. Hydrogeochemistry and rare earth element behavior in a volcanically acidified watershed in Patagonia, Argentina. *Chemical Geology* 222:249– 267.
8. Gimeno Serrano, M. J., Auque' Sanz, L. F., and Nordstrom, D.K. 2000. REE speciation in low-temperature acidic waters and the competitive effects of aluminum. *Chemical Geology* 165: 167– 180.
9. González-León, C. M., Valencia, V.A., López-Martínez, M., Bellon, H., Valencia-Moreno, M., and Calmus, T. 2010. Arizpe sub-basin: A sedimentary and volcanic record of Basin and Range extension in north-central Sonora, Mexico. *Revista Mexicana de Ciencias Geológicas*, 27 (2): 292– 312.
10. Gutiérrez-Ruiz, M. E., y Romero, F. M. 2015. Valoración del daño ambiental en la cuenca del Río Sonora, asociado al derrame del 06 de agosto de 2014 de Buenavista del Cobre. AIMMG, XXXI Convención Internacional de Minería, Acapulco, Gro., México, Octubre 7-10, 2015.
11. Johannesson, K. H., and Zhou, X. 1999. Origin of middle rare earth element enrichments in acid waters of a Canadian High. *Geochimica et Cosmochimica Acta*, 63 (1): 153–165.
12. Merten, D., Geletneky, J., Bergmann, H., Haferburg, G., Kothe, E., and Büchel, G. 2005. Rare earth element patterns: A tool for understanding processes in remediation of acid mine drainage. *Chemie der Erde* 65:S1, 97–114.
13. Olías, M., Cerón, J.C., Fernández, I., and, De la Rosa, J. Distribution of rare earth elements in an alluvial aquifer affected by acid mine drainage: the Guadiamar aquifer (SW Spain). *Environmental Pollution* 135: 53–64.

14. Pattan, J. N., Pearce, N. J. G., and Mislankar, P.G. 2005. Constraints in using Cerium-anomaly of bulk sediments as an indicator of paleo bottom water redox environment: A case of study from the Central Indian Ocean Basin. *Chemical Geology* 221: 260-278.
15. Protano, G. and Riccobono, F. 2002. High contents of rare earth elements (REEs) in stream waters of a Cu-Pb-Zn mining area. *Environmental Pollution* 117: 499–514.
16. Romero, F. M., Prol-Ledesma, R.M., Canet, C., Núñez Alvares, L., and Pérez-Vázquez, R. 2010. Acid drainage at the inactive Santa Lucia mine, western Cuba: Natural attenuation of arsenic, barium and lead, and geochemical behavior of rare earth elements. *Applied Geochemistry* 25:716–727.
17. Sharifi, R., Moore, F., and Keshavarzi, B. 2013. Geochemical behavior and speciation modeling of rare earth elements in acid drainages at Sarcheshmeh porphyry copper deposit, Kerman Province. *Chemie der Erde* 73:509– 517.
18. Verplanck, P.L., Nordstrom, D.K., Taylor, H. E., and Kimball, B.A. 2004. Rare earth element partitioning between hydrous ferric oxides and acid mine water during iron oxidation. *Applied Geochemistry* 19:1339–1354.
19. Wilde, P., Quinby-Hunt, M. S., and Erdtmann, BD. 1996. The whole-rock cerium anomaly: a potential indicator of eustatic sea-level changes in shales of the anoxic facies. *Sedimentary Geology* 101:43-53.
20. Worrall, F., and Pearson, D.G. 2001. The development of acidic groundwaters in coal-bearing strata: Part I. Rare earth element fingerprinting. *Applied Geochemistry* 16: 1465-1480.

<http://www.gmexico.com.mx/companias/glosario-eh.php> consultada 19 Feb 2015 a las 2:00 p.m



Laboratorio Nacional de Geoquímica y Mineralogía  
Universidad Nacional Autónoma de México  
Geoquímica Ambiental



# RESULTADOS DE LABORATORIO

Quality Analysis ...



Innovative Technologies

Date Submitted: 24-Oct-14

Invoice No.: A14-08032

Invoice Date: 14-Nov-14

Your Reference:

Univ. Nacional Autonoma De Mexico  
Av. Universidad No. 3000 Col. Copilco  
Universidad  
Universidad Coyoacan 04360  
Mexico

ATTN: Francisco Martin Romero

## CERTIFICATE OF ANALYSIS

11 Pulp samples were submitted for analysis.

The following analytical package was requested:

Code 6 MB Hydrogeochemistry ICP/MS(HYDRGEO)  
Code UT-3 INAA(INAAGEO)/Total digestion ICP(Total)Total Digestion ICP/MS

REPORT      A14-08032

This report may be reproduced without our consent. If only selected portions of the report are reproduced, permission must be obtained. If no instructions were given at time of sample submittal regarding excess material, it will be discarded within 90 days of this report. Our liability is limited solely to the analytical cost of these analyses. Test results are representative only of material submitted for analysis.

Notes:

Unaltered silicates and resistate minerals may not be dissolved. Values which exceed upper limit should be assayed.

Values which exceed the upper limit should be analysed by Code 6 ICPOES. Samples showing dilution factor had to be diluted for analysis due to high total dissolved solids content. This dilution is taken into account. Detection limits will be elevated on these samples by the dilution factor. Effective October 2013 our Hydro-MS package has been modified with changes to the upper limits of some elements.

CERTIFIED BY:

Emmanuel Eseme , Ph.D.  
Quality Control

ACTIVATION LABORATORIES LTD.  
41 Bittern Street, Ancaster, Ontario, Canada, L9G 4V5  
TELEPHONE +905 648-9611 or +1.888.228.5227 FAX +1.905.648.9613  
E-MAIL: Ancaster@actlabs.com ACTLABS GROUP WEBSITE www.actlabs.com



Activation Laboratories Ltd. Report: A14-08032

**Results**

| Analyte Symbol         | Au   | Ag   | Cu                                | Cd                                | Mo     | Pb   | Ni   | Zn     | S    | Al                          | As                                | Ba                                | Be   | Bi     | Br                          | Ca                          | Co                          | Cr   | Cs   | Eu                          | Fe    | Hf  | Ga   |
|------------------------|------|--|-----------------------------------|-----------------------------------|--------|--|--|--------|------|-----------------------------|-----------------------------------|-----------------------------------|------|--------|-----------------------------|-----------------------------|-----------------------------|------|------|-----------------------------|-------|-----|------|
| Unit Symbol            | ppb  | ppm  | ppm                               | ppm                               | ppm    | ppm  | ppm  | ppm    | %    | %                           | ppm                               | ppm                               | ppm  | ppm    | ppm                         | ppm                         | ppm                         | ppm  | ppm  | %                           | ppm   | ppm | ppm  |
| Lower Limit            | 2    | 0.05   | 0.2                               | 0.1                               | 1      | 0.5  | 0.5  | 0.5    | 0.01 | 0.01                        | 0.5                               | 1                                 | 0.1  | 0.1    | 0.5                         | 0.01                        | 0.1                         | 1    | 0.05 | 0.2                         | 0.01  | 0.1 | 0.1  |
| Method Code            | INAA | MULT IN<br>AA/TD-I<br>CP/ICP-T<br>D-ICP-M<br>S | MULT T<br>D-ICP/T<br>D-ICP-M<br>S | MULT T<br>D-ICP/T<br>D-ICP-M<br>S | TD-ICP | MULT IN<br>AA/TD-I<br>CP/ICP-T<br>D-ICP-M<br>S | MULT IN<br>AA/TD-I<br>CP/ICP-T<br>D-ICP-M<br>S | TD-ICP | INAA | MULT IN<br>AA/TD-I<br>CP-MS | MULT T<br>D-ICP/T<br>D-ICP-M<br>S | MULT T<br>D-ICP/T<br>D-ICP-M<br>S | INAA | TD-ICP | MULT IN<br>AA/TD-I<br>CP-MS | MULT IN<br>AA/TD-I<br>CP-MS | MULT IN<br>AA/TD-I<br>CP-MS | INAA | INAA | MULT IN<br>AA/TD-I<br>CP-MS | TD-MS |     |      |
| 3 (P2)                 | 27   | 3.22   | 680                               | 11.0                              | 29     | 51.3   | 21.4   | 472    | 4.54 | 7.58                        | 47.3                              | 803                               | 1.5  | 5.1    | < 0.5                       | 0.15                        | 28.6                        | 66   | 14.4 | 0.7                         | 5.96  | 2.3 | 11.1 |
| 5 (P4)                 | < 2  | 2.16   | 324                               | 2.4                               | 9      | 42.7   | 10.4   | 849    | 3.54 | 7.44                        | 77.6                              | 64                                | 1.2  | 5.7    | < 0.5                       | 0.14                        | 17.9                        | 9    | 12.0 | 0.6                         | 4.43  | 2.1 | 18.3 |
| 2(PNuevo)              | < 2  | 1.24   | 331                               | 0.3                               | 25     | 11.7   | 13.6   | 140    | 4.38 | 6.15                        | 43.1                              | 130                               | 0.9  | 2.0    | < 0.5                       | 0.58                        | 30.4                        | 13   | 8.51 | 1.0                         | 5.24  | 1.6 | 13.7 |
| 8 (Precipitado 1)      | 17   | 0.93   | 143                               | 0.8                               | < 1    | 79.4   | 25.4   | 143    | 0.28 | 8.09                        | 25.2                              | 1350                              | 1.0  | 4.7    | < 0.5                       | 2.52                        | 28.0                        | 122  | 7.42 | 0.8                         | 3.05  | 0.7 | 4.7  |
| 14 (Precipitado 2)     | 19   | 1.08   | 243                               | 0.8                               | 3      | 162  | 5.8  | 438    | 0.17 | 7.46                        | 47.0                              | 287                               | 1.6  | 1.0    | < 0.5                       | 0.10                        | 4.7                         | < 1  | 19.2 | < 0.2                       | 1.74  | 4.9 | 15.0 |
| 26(Lixiviado CIAD)     |      |  |                                   |                                   |        |  |  |        |      |                             |                                   |                                   |      |        |                             |                             |                             |      |      |                             |       |     |      |
| 25 (Sedimento C AD)    | < 2  | 1.01   | 455                               | 4.8                               | 6      | 49.4   | 40.7   | 437    | 2.20 | 5.93                        | 92.9                              | 140                               | 1.7  | 1.6    | < 0.5                       | 0.79                        | 36.4                        | 62   | 9.74 | 1.1                         | 4.19  | 1.5 | 16.4 |
| 23 (Lixiviado UNAM)    |      |  |                                   |                                   |        |  |  |        |      |                             |                                   |                                   |      |        |                             |                             |                             |      |      |                             |       |     |      |
| 28 (Sedimento UNAM)    | < 2  | 0.76   | 295                               | 4.3                               | 4      | 47.2   | 34.4   | 407    | 1.90 | 7.88                        | 72.7                              | 206                               | 1.4  | 1.0    | < 0.5                       | 1.08                        | 29.2                        | 59   | 9.34 | 1.2                         | 3.31  | 1.3 | 15.1 |
| 31 (Aqua Represo)      |      |  |                                   |                                   |        |  |  |        |      |                             |                                   |                                   |      |        |                             |                             |                             |      |      |                             |       |     |      |
| 29 (Sedimento Represo) | 33   | 2.04   | 716                               | 1.0                               | 12     | 147  | 35.8   | 429    | 0.83 | 10.3                        | 89.8                              | 521                               | 1.9  | 5.9    | < 0.5                       | 0.42                        | 7.9                         | 56   | 25.2 | 1.2                         | 5.41  | 2.2 | 21.2 |

## Results

| Analyte Symbol         | Ge    | Hg    | In    | Ir   | K      | Li    | Mg     | Mn    | Nb   | Na     | P                     | Rb    | Re    | Sb   | Sc                    | Se    | Sn    | Sr                    | Ta    | Te   | Tb     | Tl                    | Th   |
|------------------------|-------|-------|-------|------|--------|-------|--------|-------|------|--------|-----------------------|-------|-------|------|-----------------------|-------|-------|-----------------------|-------|------|--------|-----------------------|------|
| Unit Symbol            | ppm   | ppb   | ppm   | ppb  | %      | ppm   | %      | ppm   | ppm  | %      | %                     | ppm   | ppm   | ppm  | ppm                   | ppm   | ppm   | ppm                   | ppm   | ppm  | ppm    | %                     | ppm  |
| Lower Limit            | 0.1   | 10    | 0.1   | 5    | 0.01   | 0.5   | 0.01   | 1     | 0.1  | 0.01   | 0.001                 | 0.2   | 0.001 | 0.1  | 0.1                   | 1     | 0.2   | 0.1                   | 0.1   | 0.5  | 0.01   | 0.1                   |      |
| Method Code            | TD-MS | TD-MS | TD-MS | INAA | TD-ICP | TD-MS | TD-ICP | TD-MS | INAA | TD-ICP | MULT IN AA/TD-I CP-MS | TD-MS | INAA  | INAA | MULT IN AA/TD-I CP-MS | TD-MS | TD-MS | MULT IN AA/TD-I CP-MS | TD-MS | INAA | TD-ICP | MULT IN AA/TD-I CP-MS |      |
| 3 (P2)                 | 0.2   | 70    | 0.7   | < 5  | 3.06   | 27.4  | 0.78   | 2740  | 5.9  | 0.13   | 0.062                 | 263   | 0.050 | 6.2  | 10.3                  | 2.3   | 7     | 28.7                  | 0.3   | 2.4  | < 0.5  | 0.37                  | 6.6  |
| 5 (P4)                 | 0.2   | 330   | 1.1   | < 5  | 3.62   | 14.9  | 0.40   | 213   | 5.3  | 0.14   | 0.073                 | 284   | 0.028 | 19.4 | 10.1                  | 1.9   | 9     | 32.0                  | 0.2   | 0.8  | < 0.5  | 0.39                  | 8.0  |
| 2(PNuevo)              | 0.2   | 30    | 0.4   | < 5  | 3.11   | 15.9  | 0.56   | 280   | 5.2  | 0.19   | 0.058                 | 204   | 0.030 | 7.0  | 8.3                   | 2.6   | 7     | 47.1                  | 0.3   | 0.9  | < 0.5  | 0.27                  | 16.8 |
| 8 (Precipitado 1)      | 0.5   | 60    | 1.2   | < 5  | 4.03   | 7.6   | 0.39   | 579   | 0.2  | 0.46   | 0.041                 | 188   | 0.026 | 8.4  | 9.7                   | 0.5   | 3     | 196                   | < 0.1 | 0.4  | < 0.5  | 0.22                  | 31.0 |
| 14 (Precipitado 2)     | 0.1   | 90    | 0.1   | < 5  | 2.60   | 21.3  | 0.27   | 411   | 7.8  | 0.88   | 0.018                 | 156   | 0.015 | 6.2  | 6.1                   | 1.0   | 3     | 33.7                  | 0.2   | 0.2  | < 0.5  | 0.10                  | 21.4 |
| 26(Lixiviado CIAD)     |       |       |       |      |        |       |        |       |      |        |                       |       |       |      |                       |       |       |                       |       |      |        |                       |      |
| 25 (Sedimento CIAD)    | 0.2   | 40    | 0.4   | < 5  | 2.29   | 18.6  | 0.61   | 722   | 6.7  | 1.12   | 0.058                 | 136   | 0.228 | 6.4  | 11.5                  | 1.3   | 3     | 125                   | 0.5   | 0.7  | < 0.5  | 0.37                  | 20.3 |
| 23 (Lixiviado UNAM)    |       |       |       |      |        |       |        |       |      |        |                       |       |       |      |                       |       |       |                       |       |      |        |                       |      |
| 28 (Sedimento UNAM)    | 0.2   | 90    | 0.4   | < 5  | 2.45   | 14.4  | 0.61   | 720   | 6.8  | 1.13   | 0.048                 | 168   | 0.172 | 5.5  | 9.6                   | 1.0   | 3     | 176                   | 0.4   | 0.4  | < 0.5  | 0.33                  | 19.0 |
| 31 (Aqua Represo)      |       |       |       |      |        |       |        |       |      |        |                       |       |       |      |                       |       |       |                       |       |      |        |                       |      |
| 29 (Sedimento Represo) | 0.3   | 190   | 0.7   | < 5  | 2.41   | 28.5  | 0.99   | 683   | 7.2  | 0.36   | 0.101                 | 203   | 0.029 | 11.3 | 15.5                  | 2.1   | 6     | 113                   | 0.3   | 0.8  | < 0.5  | 0.40                  | 21.1 |

## Results

| Analyte Symbol         | Tl    | V      | U                     | W    | Y     | Zr    | La   | La    | Ce   | Ce    | Pr    | Nd   | Nd    | Sm    | Sm    | Eu    | Gd    | Dy    | Tb    | Ho    | Er    | Tm    | Yb    |
|------------------------|-------|--------|-----------------------|------|-------|-------|------|-------|------|-------|-------|------|-------|-------|-------|-------|-------|-------|-------|-------|-------|-------|-------|
| Unit Symbol            | ppm   | ppm    | ppm                   | ppm  | ppm   | ppm   | ppm  | ppm   | ppm  | ppm   | ppm   | ppm  | ppm   | ppm   | ppm   | ppm   | ppm   | ppm   | ppm   | ppm   | ppm   | ppm   | ppm   |
| Lower Limit            | 0.05  | 2      | 0.1                   | 1    | 0.1   | 1     | 0.1  | 0.5   | 0.1  | 3     | 0.1   | 0.1  | 5     | 0.1   | 0.1   | 0.05  | 0.1   | 0.1   | 0.1   | 0.1   | 0.1   | 0.1   | 0.1   |
| Method Code            | TD-MS | TD-ICP | MULT IN AA/TD-I CP-MS | INAA | TD-MS | TD-MS | INAA | TD-MS | INAA | TD-MS | TD-MS | INAA | TD-MS |
| 3 (P2)                 | 3.75  | 107    | 3.0                   | 32   | 34.5  | 105   | 25.0 | 24.2  | 49.8 | 66    | 5.6   | 20.5 | 19    | 4.4   | 4.3   | 1.09  | 4.8   | 5.6   | 0.8   | 1.1   | 3.2   | 0.4   | 2.5   |
| 5 (P4)                 | 4.53  | 133    | 2.8                   | 59   | 18.6  | 94    | 17.1 | 18.1  | 38.0 | 35    | 4.6   | 16.8 | 8     | 3.1   | 3.0   | 0.79  | 2.8   | 2.8   | 0.4   | 0.6   | 1.9   | 0.3   | 1.6   |
| 2(PNuevo)              | 2.40  | 97     | 5.5                   | 32   | 21.0  | 71    | 19.9 | 20.6  | 42.8 | 40    | 5.1   | 18.6 | 18    | 3.8   | 3.4   | 0.79  | 3.9   | 3.4   | 0.6   | 0.6   | 1.7   | 0.2   | 1.4   |
| B (Precipitado 1)      | 2.66  | 61     | 6.7                   | 31   | 17.8  | 33    | 33.3 | 31.3  | 59.2 | 77    | 7.2   | 24.0 | 24    | 4.2   | 4.2   | 0.75  | 3.6   | 3.0   | 0.5   | 0.6   | 1.6   | 0.2   | 1.3   |
| 14 (Precipitado 2)     | 1.89  | 20     | 4.4                   | 18   | 32.0  | 188   | 34.4 | 30.6  | 72.1 | 102   | 7.4   | 25.8 | 35    | 5.0   | 4.8   | 0.30  | 4.7   | 4.5   | 0.7   | 1.0   | 3.1   | 0.5   | 3.3   |
| 26(Lixiviado CIAD)     |       |        |                       |      |       |       |      |       |      |       |       |      |       |       |       |       |       |       |       |       |       |       |       |
| 25 (Sedimento CIAD)    | 2.24  | 100    | 3.6                   | 14   | 21.1  | 58    | 14.0 | 31.1  | 34.5 | 67    | 4.0   | 14.8 | 17    | 3.2   | 5.3   | 0.80  | 3.2   | 3.6   | 0.5   | 0.8   | 2.1   | 0.3   | 1.6   |
| 23 (Lixiviado UNAM)    |       |        |                       |      |       |       |      |       |      |       |       |      |       |       |       |       |       |       |       |       |       |       |       |
| 28 (Sedimento UNAM)    | 2.01  | 87     | 4.5                   | 8    | 25.0  | 56    | 25.6 | 25.4  | 46.8 | 59    | 6.0   | 21.2 | 24    | 4.0   | 3.8   | 1.05  | 3.9   | 4.0   | 0.6   | 0.8   | 2.3   | 0.3   | 1.7   |
| 31 (Aqua Represo)      |       |        |                       |      |       |       |      |       |      |       |       |      |       |       |       |       |       |       |       |       |       |       |       |
| 29 (Sedimento Represo) | 2.96  | 140    | 5.0                   | 22   | 31.8  | 93    | 54.7 | 50.6  | 104  | 102   | 12.5  | 45.3 | 67    | 8.4   | 8.4   | 1.67  | 7.6   | 6.0   | 1.0   | 1.1   | 3.1   | 0.4   | 2.4   |

## Results

| Analyte Symbol         | Yb   | Lu    | Lu   | Mass | Na     | Li     | Be     | Mg      | Al       | Si     | K      | Ca     | Sc     | Ti     | V      | Cr     | Mn       | Fe        | Co     | Ni     | Cu      | Zn       | Ga     |      |
|------------------------|------|-------|------|------|--------|--------|--------|---------|----------|--------|--------|--------|--------|--------|--------|--------|----------|-----------|--------|--------|---------|----------|--------|------|
| Unit Symbol            | ppm  | ppm   | ppm  | g    | µg/L   | µg/L   | µg/L   | µg/L    | µg/L     | µg/L   | µg/L   | µg/L   | µg/L   | µg/L   | µg/L   | µg/L   | µg/L     | µg/L      | µg/L   | µg/L   | µg/L    | µg/L     | µg/L   | µg/L |
| Lower Limit            | 0.2  | 0.1   | 0.05 |      | 5      | 1      | 0.1    | 2       | 2        | 200    | 30     | 700    | 1      | 0.1    | 0.1    | 0.5    | 0.1      | 10        | 0.005  | 0.3    | 0.2     | 0.5      | 0.01   |      |
| Method Code            | INAA | TD-MS | INAA | INAA | ICP-MS | ICP-MS | ICP-MS | ICP-MS  | ICP-MS   | ICP-MS | ICP-MS | ICP-MS | ICP-MS | ICP-MS | ICP-MS | ICP-MS | ICP-MS   | ICP-MS    | ICP-MS | ICP-MS | ICP-MS  | ICP-MS   | ICP-MS |      |
| 3 (P2)                 | 2.9  | 0.4   | 0.16 | 30.8 |        |        |        |         |          |        |        |        |        |        |        |        |          |           |        |        |         |          |        |      |
| 5 (P4)                 | 1.9  | 0.2   | 0.11 | 27.7 |        |        |        |         |          |        |        |        |        |        |        |        |          |           |        |        |         |          |        |      |
| 2(PNuevo)              | 1.4  | 0.2   | 0.19 | 27.1 |        |        |        |         |          |        |        |        |        |        |        |        |          |           |        |        |         |          |        |      |
| 8 (Precipitado 1)      | 1.9  | 0.2   | 0.12 | 29.6 |        |        |        |         |          |        |        |        |        |        |        |        |          |           |        |        |         |          |        |      |
| 14 (Precipitado 2)     | 4.0  | 0.5   | 0.24 | 28.1 |        |        |        |         |          |        |        |        |        |        |        |        |          |           |        |        |         |          |        |      |
| 26(Lixiviado CIAD)     |      |       |      |      | 1050   | 1500   | 266    | 1300000 | 9660000  | 84600  | < 3000 | 318000 | 3120   | 5460   | 12700  | 7580   | > 500000 | > 5000000 | 90900  | 40800  | 444000  | > 500000 | 1100   |      |
| 25 (Sedimento CIAD)    | 2.2  | 0.3   | 0.17 | 24.4 |        |        |        |         |          |        |        |        |        |        |        |        |          |           |        |        |         |          |        |      |
| 23 (Lixiviado UNAM)    |      |       |      |      | 852    | 1300   | 224    | 1120000 | 8490000  | 76800  | < 3000 | 265000 | 2810   | 4980   | 11600  | 6910   | > 500000 | > 5000000 | 81600  | 36900  | 410000  | > 500000 | 963    |      |
| 28 (Sedimento UNAM)    | 2.0  | 0.3   | 0.13 | 26.3 |        |        |        |         |          |        |        |        |        |        |        |        |          |           |        |        |         |          |        |      |
| 31 (Aqua Represo)      |      |       |      |      | 9220   | 50     | 29.4   | 83400   | > 200000 | 19100  | 3660   | 184000 | 116    | 12.2   | 14.2   | 147    | > 10000  | > 100000  | 3140   | 1270   | > 10000 | > 10000  | 13.6   |      |
| 29 (Sedimento Represo) | 2.6  | 0.4   | 0.12 | 24.1 |        |        |        |         |          |        |        |        |        |        |        |        |          |           |        |        |         |          |        |      |

## Results

| Analyte Symbol         | Ge     | As     | Se     | Rb     | Sr     | Y      | Zr     | Nb     | Mo     | Ag     | Cd     | In     | Sn     | Sb     | Te     | Cs     | Ba     | La     | Ce     | Pr     | Nd     | Sm     | Eu     |
|------------------------|--------|--------|--------|--------|--------|--------|--------|--------|--------|--------|--------|--------|--------|--------|--------|--------|--------|--------|--------|--------|--------|--------|--------|
| Unit Symbol            | µg/L   |
| Lower Limit            | 0.01   | 0.03   | 0.2    | 0.005  | 0.04   | 0.003  | 0.01   | 0.005  | 0.1    | 0.2    | 0.01   | 0.001  | 0.1    | 0.01   | 0.1    | 0.001  | 0.1    | 0.001  | 0.001  | 0.001  | 0.001  | 0.001  | 0.001  |
| Method Code            | ICP-MS |
| 3 (P2)                 |        |        |        |        |        |        |        |        |        |        |        |        |        |        |        |        |        |        |        |        |        |        |        |
| 5 (P4)                 |        |        |        |        |        |        |        |        |        |        |        |        |        |        |        |        |        |        |        |        |        |        |        |
| 2(PNuevo)              |        |        |        |        |        |        |        |        |        |        |        |        |        |        |        |        |        |        |        |        |        |        |        |
| 8 (Precipitado 1)      |        |        |        |        |        |        |        |        |        |        |        |        |        |        |        |        |        |        |        |        |        |        |        |
| 14 (Precipitado 2)     |        |        |        |        |        |        |        |        |        |        |        |        |        |        |        |        |        |        |        |        |        |        |        |
| 26(Lixiviado CIAD)     | 47.0   | 193000 | 1130   | 38.5   | 212    | 14200  | 84.0   | 38.1   | 2140   | < 20   | 18800  | 534    | 23.0   | 74.9   | 165    | 40.8   | < 10   | 2000   | 9180   | 972    | 4830   | 1730   | 518    |
| 25 (Sedimento CIAD)    |        |        |        |        |        |        |        |        |        |        |        |        |        |        |        |        |        |        |        |        |        |        |        |
| 23 (Lixiviado UNAM)    | 43.0   | 170000 | 1030   | 34.3   | 189    | 13000  | 78.0   | 34.4   | 1920   | < 20   | 17100  | 479    | 19.0   | 67.5   | 155    | 36.3   | < 10   | 1830   | 8410   | 895    | 4450   | 1580   | 466    |
| 28 (Sedimento UNAM)    |        |        |        |        |        |        |        |        |        |        |        |        |        |        |        |        |        |        |        |        |        |        |        |
| 31 (Aqua Represo)      | 2.00   | 474    | 30.8   | 23.1   | 1180   | 721    | 3.12   | 0.146  | 2.5    | < 0.4  | 575    | 6.60   | < 0.2  | 0.24   | 1.9    | 2.02   | 18.1   | 817    | 1940   | 188    | 714    | 165    | 27.4   |
| 29 (Sedimento Represo) |        |        |        |        |        |        |        |        |        |        |        |        |        |        |        |        |        |        |        |        |        |        |        |

**Results**

| Analyte Symbol         | Gd     | Tb     | Dy     | Ho     | Er     | Tm     | Yb     | Lu     | Hf     | Hg     | Ta     | W      | Tl     | Pb     | Bi     | Th     | U     |
|------------------------|--------|--------|--------|--------|--------|--------|--------|--------|--------|--------|--------|--------|--------|--------|--------|--------|-------|
| Unit Symbol            | µg/L   | µg/L  |
| Lower Limit            | 0.001  | 0.001  | 0.001  | 0.001  | 0.001  | 0.001  | 0.001  | 0.001  | 0.2    | 0.001  | 0.02   | 0.001  | 0.01   | 0.3    | 0.001  | 0.001  |       |
| Method Code            | ICP-MS |       |
| 3 (P2)                 |        |        |        |        |        |        |        |        |        |        |        |        |        |        |        |        |       |
| 5 (P4)                 |        |        |        |        |        |        |        |        |        |        |        |        |        |        |        |        |       |
| 2(PNuevo)              |        |        |        |        |        |        |        |        |        |        |        |        |        |        |        |        |       |
| 8 (Precipitado 1)      |        |        |        |        |        |        |        |        |        |        |        |        |        |        |        |        |       |
| 14 (Precipitado 2)     |        |        |        |        |        |        |        |        |        |        |        |        |        |        |        |        |       |
| 26(Lixiviado CIAD)     | 1950   | 379    | 2490   | 517    | 1450   | 184    | 1200   | 147    | 29.9   | 20.0   | 3.20   | 63.0   | < 0.1  | 9.00   | < 30   | 4730   | 4800  |
| 25 (Sedimento CIAD)    |        |        |        |        |        |        |        |        |        |        |        |        |        |        |        |        |       |
| 23 (Lixiviado UNAM)    | 1790   | 349    | 2340   | 485    | 1350   | 173    | 1120   | 139    | 28.5   | < 20   | 2.90   | 57.0   | < 0.1  | 8.00   | < 30   | 4480   | 4560  |
| 28 (Sedimento UNAM)    |        |        |        |        |        |        |        |        |        |        |        |        |        |        |        |        |       |
| 31 (Aqua Represo)      | 167    | 24.4   | 127    | 23.3   | 62.9   | 7.79   | 50.1   | 6.47   | 1.38   | 0.6    | 0.126  | 0.54   | 0.492  | 55.4   | < 0.6  | > 200  | > 200 |
| 29 (Sedimento Represo) |        |        |        |        |        |        |        |        |        |        |        |        |        |        |        |        |       |

## QC

| Analyte Symbol          | Au     | Ag    | Ag     | Ag   | Cu      | Cu      | Cd    | Cd     | Mo     | Pb    | Pb     | Ni    | Ni     | Ni    | Zn     | Zn     | Zn     | S      | Al     | As    | Ba    | Ba    | Be    |  |
|-------------------------|--------|-------|--------|------|---------|---------|-------|--------|--------|-------|--------|-------|--------|-------|--------|--------|--------|--------|--------|-------|-------|-------|-------|--|
| Unit Symbol             | ppb    | ppm   | ppm    | ppm  | ppm     | ppm     | ppm   | ppm    | ppm    | ppm   | ppm    | ppm   | ppm    | ppm   | ppm    | ppm    | ppm    | %      | %      | ppm   | ppm   | ppm   | ppm   |  |
| Lower Limit             | 2      | 0.05  | 0.3    | 5    | 0.2     | 1       | 0.1   | 0.3    | 1      | 0.5   | 3      | 0.5   | 1      | 20    | 0.5    | 1      | 50     | 0.01   | 0.01   | 0.5   | 1     | 50    | 0.1   |  |
| Method Code             | INAA   | TD-MS | TD-ICP | INAA | TD-MS   | TD-ICP  | TD-MS | TD-ICP | TD-ICP | TD-MS | TD-ICP | TD-MS | TD-ICP | TD-MS | TD-ICP | TD-ICP | INAA   | TD-ICP | TD-ICP | INAA  | TD-MS | INAA  | TD-MS |  |
| GXR-1 Meas              |        | 32.1  |        |      | 1110    |         | 2.9   | 13     |        | 739   |        | 40    |        |       | 737    |        | 0.25   | 2.53   |        |       |       |       |       |  |
| GXR-1 Cert              |        | 31.0  |        |      | 1110    |         | 3.30  | 18.0   |        | 730   |        | 41.0  |        |       | 760    |        | 0.257  | 3.52   |        |       |       |       |       |  |
| GXR-4 Meas              | 3.46   | 3.5   |        |      | 6380    | 6520    | < 0.1 | < 0.3  | 303    | 46.2  | 45     | 43.4  | 44     |       | 72.3   | 76     | 1.76   | 6.78   |        |       |       |       |       |  |
| GXR-4 Cert              | 4.00   | 4.0   |        |      | 6520    | 6520    | 0.860 | 0.860  | 310    | 52.0  | 52.0   | 42.0  | 42.0   |       | 73.0   | 73.0   | 1.77   | 7.20   |        |       |       |       |       |  |
| SDC-1 Meas              |        |       |        |      | 32.2    | 29      |       |        |        | 23.6  | 23     | 36.3  | 35     |       | 98.9   | 103    |        |        | 8.31   |       |       |       |       |  |
| SDC-1 Cert              |        |       |        |      | 30,000  | 30,000  |       |        |        | 25.00 | 25.00  | 38.0  | 38.0   |       | 103.00 | 103.00 |        |        | 8.34   |       |       |       |       |  |
| GXR-6 Meas              | 0.52   | 0.4   |        |      | 81.3    | 68      | 0.1   | 0.3    | 1      | 103   | 93     | 27.8  | 26     |       | 134    | 133    | 0.02   | 12.3   |        |       |       |       |       |  |
| GXR-6 Cert              | 1.30   | 1.30  |        |      | 66.0    | 66.0    | 1.00  | 1.00   | 2.40   | 101   | 101    | 27.0  | 27.0   |       | 118    | 118    | 0.0160 | 17.7   |        |       |       |       |       |  |
| SLRS-5 (ICP/MS) Meas    |        |       |        |      |         |         |       |        |        |       |        |       |        |       |        |        |        |        |        |       |       |       |       |  |
| SLRS-5 (ICP/MS) Cert    |        |       |        |      |         |         |       |        |        |       |        |       |        |       |        |        |        |        |        |       |       |       |       |  |
| SAR-M (U.S.G.S.) Meas   | 2.99   | 3.1   |        |      | 368     | 302     | 4.5   | 4.5    | 9      | 811   | 981    | 50.0  | 46     |       | 883    | 890    |        |        | 6.16   |       |       |       |       |  |
| SAR-M (U.S.G.S.) Cert   | 3.64   | 3.64  |        |      | 331,000 | 331,000 | 5.27  | 5.27   | 13.1   | 982   | 982    | 41.5  | 41.5   |       | 930.0  | 930.0  |        |        | 6.30   |       |       |       |       |  |
| DNC-1a Meas             |        |       |        |      | 112     | 93      |       |        |        |       |        | 306   | 246    |       | 67.8   | 58     |        |        |        |       |       |       |       |  |
| DNC-1a Cert             |        |       |        |      | 100.00  | 100.00  |       |        |        |       |        | 247   | 247    |       | 70.0   | 70.0   |        |        |        |       |       |       |       |  |
| SBC-1 Meas              |        |       |        |      | 33.4    | 30      | 0.4   | < 0.3  | 2      | 34.1  | 29     | 92.8  | 85     |       | 182    | 178    |        |        |        |       |       |       |       |  |
| SBC-1 Cert              |        |       |        |      | 31,0000 | 31,0000 | 0.40  | 0.40   | 2.40   | 35.0  | 35.0   | 82.8  | 82.8   |       | 186.0  | 186.0  |        |        |        |       |       |       |       |  |
| OREAS 45d (4-Acid) Meas |        |       |        |      | 419     | 384     |       |        | 2      | 20.6  | 20     | 238   | 252    |       | 43.8   | 48     | 0.04   | 8.46   |        |       |       |       |       |  |
| OREAS 45d (4-Acid) Cert |        |       |        |      | 371.0   | 371.0   |       |        | 2,500  | 21.8  | 21.8   | 231.0 | 231.0  |       | 45.7   | 45.7   | 0.049  | 8.150  |        |       |       |       |       |  |
| DMMAS 117 Meas          | 1740   |       |        |      |         |         |       |        |        |       |        |       |        |       |        |        |        |        |        | 1720  |       | 1330  |       |  |
| DMMAS 117 Cert          | 1720   |       |        |      |         |         |       |        |        |       |        |       |        |       |        |        |        |        |        | 1745  |       | 1228  |       |  |
| Method Blank            | < 0.05 |       |        |      | < 0.2   |         | < 0.1 |        |        | < 0.5 |        | < 0.5 |        |       | < 0.5  |        |        |        |        | < 1   |       | < 0.1 |       |  |
| Method Blank            | < 0.05 | < 0.3 |        |      | < 0.2   | < 1     | < 0.1 | < 0.3  | < 1    | < 0.5 | < 3    | < 0.5 | < 1    |       | < 0.5  | < 1    | < 0.01 | < 0.01 |        |       |       |       |       |  |
| Method Blank            | < 2    |       |        |      | < 5     |         |       |        |        |       |        |       |        |       | < 20   |        | < 50   |        |        | < 0.5 |       | < 50  |       |  |
| Method Blank            |        |       |        |      |         |         |       |        |        |       |        |       |        |       |        |        |        |        |        |       |       |       |       |  |

## QC

| Analyte Symbol       | Be     | Bi    | Bi     | Br   | Ca     | Co    | Co   | Cr     | Cr   | Cs    | Cs   | Eu    | Fe   | Hf    | Hf   | Ga    | Ge    | Hg    | In    | Ir     | K     | Li     | Mg   |
|----------------------|--------|-------|--------|------|--------|-------|------|--------|------|-------|------|-------|------|-------|------|-------|-------|-------|-------|--------|-------|--------|------|
| Unit Symbol          | ppm    | ppm   | ppm    | ppm  | %      | ppm   | ppm  | ppm    | ppm  | ppm   | ppm  | %     | ppm  | ppm   | ppm  | ppm   | ppb   | ppm   | ppb   | %      | ppm   | %      |      |
| Lower Limit          | 1      | 0.02  | 2      | 0.5  | 0.01   | 0.1   | 1    | 1      | 2    | 0.05  | 1    | 0.2   | 0.01 | 0.1   | 1    | 0.1   | 0.1   | 10    | 0.1   | 5      | 0.01  | 0.5    | 0.01 |
| Method Code          | TD-ICP | TD-MS | TD-ICP | INAA | TD-ICP | TD-MS | INAA | TD-MS  | INAA | TD-MS | INAA | TD-MS | INAA | TD-MS | INAA | TD-MS | TD-MS | TD-MS | TD-MS | TD-ICP | TD-MS | TD-ICP |      |
| GXR-1 Meas           | 1      |       | 1380   |      | 0.87   |       |      |        |      |       |      |       |      |       |      |       |       |       |       | 0.04   |       | 0.21   |      |
| GXR-1 Cert           | 1.22   |       | 1380   |      | 0.960  |       |      |        |      |       |      |       |      |       |      |       |       |       |       | 0.050  |       | 0.217  |      |
| GXR-4 Meas           | 2      |       | 19     |      | 1.09   | 13.1  |      | > 10.0 |      |       |      |       |      |       |      |       |       |       | 0.2   | 3.10   | 11.2  | 1.70   |      |
| GXR-4 Cert           | 1.90   |       | 19.0   |      | 1.01   | 14.6  |      | 64.0   |      |       |      |       |      |       |      |       |       |       | 0.270 | 4.01   | 11.1  | 1.66   |      |
| SDC-1 Meas           | 3      |       |        |      | 1.09   | 17.4  |      | > 10.0 |      |       |      |       |      |       |      |       |       |       | 1.68  | 36.2   | 0.98  |        |      |
| SDC-1 Cert           | 3.00   |       |        |      | 1.00   | 18.0  |      | 64.00  |      |       |      |       |      |       |      |       |       |       | 2.72  | 34.00  | 1.02  |        |      |
| GXR-6 Meas           | 1      |       | < 2    |      | 0.16   | 13.3  |      | > 10.0 |      |       |      |       |      |       |      |       |       |       | < 0.1 | 1.71   | 35.4  | 0.58   |      |
| GXR-6 Cert           | 1.40   |       | 0.290  |      | 0.180  | 13.8  |      | 96.0   |      |       |      |       |      |       |      |       |       |       | 0.260 | 1.87   | 32.0  | 0.609  |      |
| SLRS-5 (ICP/MS) Meas |        |       |        |      |        |       |      |        |      |       |      |       |      |       |      |       |       |       |       |        |       |        |      |
| SLRS-5 (ICP/MS) Cert |        |       |        |      |        |       |      |        |      |       |      |       |      |       |      |       |       |       |       |        |       |        |      |

Activation Laboratories Ltd. Report: A14-08032

| Analyte Symbol          | Be     | Bi    | Bi     | Br   | Ca     | Co    | Co   | Cr     | Cr   | Cs    | Cs     | Eu    | Fe    | Hf     | Hf    | Ga    | Ge    | Hg    | In     | Ir    | K      | Li    | Mg     |
|-------------------------|--------|-------|--------|------|--------|-------|------|--------|------|-------|--------|-------|-------|--------|-------|-------|-------|-------|--------|-------|--------|-------|--------|
| Unit Symbol             | ppm    | ppm   | ppm    | ppm  | %      | ppm   | ppm  | ppm    | ppm  | ppm   | ppm    | ppm   | %     | ppm    | ppm   | ppm   | ppb   | ppm   | ppb    | %     | ppm    | %     |        |
| Lower Limit             | 1      | 0.02  | 2      | 0.5  | 0.01   | 0.1   | 1    | 1      | 2    | 0.05  | 1      | 0.2   | 0.01  | 0.1    | 1     | 0.1   | 10    | 0.1   | 5      | 0.01  | 0.5    | 0.01  |        |
| Method Code             | TD-ICP | TD-MS | TD-ICP | INAA | TD-ICP | TD-MS | INAA | TD-MS  | INAA | TD-MS | INAA   | TD-MS | INAA  | TD-MS  | TD-MS | TD-MS | TD-MS | INAA  | TD-ICP | TD-MS | TD-ICP |       |        |
| SAR-M (U.S.G.S.) Meas   | 3      |       | < 2    |      | 0.64   | 10.8  |      | > 10.0 |      |       |        |       |       |        |       |       |       |       | 1.0    |       | 2.40   | 31.7  | 0.48   |
| SAR-M (U.S.G.S.) Cert   | 2.20   |       | 1.94   |      | 0.61   | 10.70 |      | 79.7   |      |       |        |       |       |        |       |       |       |       | 1.08   |       | 2.94   | 27.4  | 0.50   |
| DNC-1a Meas             |        |       |        |      | 56.7   |       |      | > 10.0 |      |       |        |       |       |        |       |       |       |       |        |       | 4.7    |       |        |
| DNC-1a Cert             |        |       |        |      | 57.0   |       |      | 270    |      |       |        |       |       |        |       |       |       |       |        |       | 5.20   |       |        |
| SBC-1 Meas              | 3      |       | < 2    |      | 20.9   |       |      | > 10.0 |      |       |        |       |       |        |       |       |       |       |        |       | 160    |       |        |
| SBC-1 Cert              | 3.20   |       | 0.70   |      | 22.7   |       |      | 109    |      |       |        |       |       |        |       |       |       |       |        |       | 163.0  |       |        |
| OREAS 45d (4-Acid) Meas | < 1    |       | < 2    |      | 0.21   | 26.9  |      | > 10.0 |      |       |        |       |       |        |       |       |       |       | < 0.1  |       | 0.40   | 20.5  | 0.25   |
| OREAS 45d (4-Acid) Cert | 0.79   |       | 0.31   |      | 0.185  | 29.50 |      | 549.0  |      |       |        |       |       |        |       |       |       |       | 0.096  |       | 0.412  | 21.50 | 0.245  |
| DMMAS 117 Meas          |        |       |        |      |        | 43    |      | 72     |      |       |        | 3.25  |       |        |       |       |       |       |        |       |        |       |        |
| DMMAS 117 Cert          |        |       |        |      |        | 42    |      | 76     |      |       |        | 3.11  |       |        |       |       |       |       |        |       |        |       |        |
| Method Blank            | < 0.02 |       |        |      | < 0.1  |       |      | < 1    |      |       | < 0.05 |       |       |        | < 0.1 |       | < 0.1 | < 0.1 | < 10   | < 0.1 |        | < 0.5 |        |
| Method Blank            | < 1    |       | < 2    |      | < 0.01 | < 0.1 |      | < 1    |      |       |        |       |       |        |       |       |       |       | < 0.1  |       | < 0.01 | < 0.5 | < 0.01 |
| Method Blank            |        |       |        |      | < 0.5  |       |      | < 1    |      | < 2   |        | < 1   | < 0.2 | < 0.01 |       | < 1   |       |       |        | < 5   |        |       |        |
| Method Blank            |        |       |        |      |        |       |      |        |      |       |        |       |       |        |       |       |       |       |        |       |        |       |        |

**QC**

| Analyte Symbol          | Mn      | Nb    | Na   | P      | Rb    | Rb   | Re    | Sb   | Sc    | Se   | Se    | Sn   | Sr    | Ta    | Ta    | Te   | Tb     | Ti    | Th   | Th    | Tl    | U    | U   |
|-------------------------|---------|-------|------|--------|-------|------|-------|------|-------|------|-------|------|-------|-------|-------|------|--------|-------|------|-------|-------|------|-----|
| Unit Symbol             | ppm     | ppm   | %    | %      | ppm   | ppm   | ppm   | ppm  | ppm    | ppm   | ppm  | ppm   | ppm   | ppm  | ppm |
| Lower Limit             | 1       | 0.1   | 0.01 | 0.001  | 0.2   | 15   | 0.001 | 0.1  | 0.1   | 0.1  | 3     | 1    | 0.2   | 0.1   | 0.5   | 0.1  | 0.5    | 0.01  | 0.1  | 0.2   | 0.05  | 0.1  | 0.5 |
| Method Code             | TD-ICP  | TD-MS | INAA | TD-ICP | TD-MS | INAA | TD-MS | INAA | TD-MS | INAA | TD-MS | INAA | TD-MS | TD-MS | TD-MS | INAA | TD-ICP | TD-MS | INAA | TD-MS | TD-MS | INAA |     |
| GXR-1 Meas              | 847     |       |      | 0.057  |       |      |       |      |       |      |       |      |       |       |       |      |        | 0.03  |      |       |       |      |     |
| GXR-1 Cert              | 852     |       |      | 0.0650 |       |      |       |      |       |      |       |      |       |       |       |      |        | 0.036 |      |       |       |      |     |
| GXR-4 Meas              | 164     |       |      | 0.132  |       |      |       |      |       |      |       |      |       |       |       |      |        | 0.29  |      |       |       |      |     |
| GXR-4 Cert              | 155     |       |      | 0.120  |       |      |       |      |       |      |       |      |       |       |       |      |        | 0.29  |      |       |       |      |     |
| SDC-1 Meas              | 890     |       |      | 0.054  |       |      |       |      |       |      |       |      |       |       |       |      |        | 0.21  |      |       |       |      |     |
| SDC-1 Cert              | 880.00  |       |      | 0.0690 |       |      |       |      |       |      |       |      |       |       |       |      |        | 0.606 |      |       |       |      |     |
| GXR-6 Meas              | 1100    |       |      | 0.036  |       |      |       |      |       |      |       |      |       |       |       |      |        |       |      |       |       |      |     |
| GXR-6 Cert              | 1010    |       |      | 0.0350 |       |      |       |      |       |      |       |      |       |       |       |      |        |       |      |       |       |      |     |
| SLRS-5 (ICP/MS) Meas    |         |       |      |        |       |      |       |      |       |      |       |      |       |       |       |      |        |       |      |       |       |      |     |
| SLRS-5 (ICP/MS) Cert    |         |       |      |        |       |      |       |      |       |      |       |      |       |       |       |      |        |       |      |       |       |      |     |
| SAR-M (U.S.G.S.) Meas   | 4810    |       |      | 0.060  |       |      |       |      |       |      |       |      |       |       |       |      |        | 0.39  |      |       |       |      |     |
| SAR-M (U.S.G.S.) Cert   | 5220    |       |      | 0.07   |       |      |       |      |       |      |       |      |       |       |       |      |        | 0.38  |      |       |       |      |     |
| DNC-1a Meas             |         |       |      |        |       |      |       |      |       |      |       |      |       |       |       |      |        | 0.27  |      |       |       |      |     |
| DNC-1a Cert             |         |       |      |        |       |      |       |      |       |      |       |      |       |       |       |      |        | 0.29  |      |       |       |      |     |
| SBC-1 Meas              |         |       |      |        |       |      |       |      |       |      |       |      |       |       |       |      |        | 0.50  |      |       |       |      |     |
| SBC-1 Cert              |         |       |      |        |       |      |       |      |       |      |       |      |       |       |       |      |        | 0.51  |      |       |       |      |     |
| OREAS 45d (4-Acid) Meas | 495     |       |      | 0.034  |       |      |       |      |       |      |       |      |       |       |       |      |        | 0.13  |      |       |       |      |     |
| OREAS 45d (4-Acid) Cert | 490.000 |       |      | 0.042  |       |      |       |      |       |      |       |      |       |       |       |      |        | 0.773 |      |       |       |      |     |
| DMMAS 117 Meas          |         |       | 1.94 |        |       |      |       |      | 7.0   | 6.0  |       |      |       |       |       |      |        |       |      |       | 14.4  |      |     |
| DMMAS 117 Cert          |         |       | 1.96 |        |       |      |       |      | 6.7   | 6.6  |       |      |       |       |       |      |        |       |      |       | 11.8  |      |     |

Activation Laboratories Ltd. Report: A14-08032

| Analyte Symbol | Mn     | Nb    | Na   | P       | Rb    | Rb      | Re    | Sb    | Sc    | Se    | Se   | Sn    | Sr    | Ta    | Ta    | Te    | Tb    | Tl     | Th     | Th    | Tl    | U     | U    |
|----------------|--------|-------|------|---------|-------|---------|-------|-------|-------|-------|------|-------|-------|-------|-------|-------|-------|--------|--------|-------|-------|-------|------|
| Unit Symbol    | ppm    | ppm   | %    | %       | ppm   | ppm     | ppm   | ppm   | ppm   | ppm   | ppm  | ppm   | ppm   | ppm   | ppm   | ppm   | ppm   | %      | ppm    | ppm   | ppm   | ppm   | ppm  |
| Lower Limit    | 1      | 0.1   | 0.01 | 0.001   | 0.2   | 15      | 0.001 | 0.1   | 0.1   | 0.1   | 3    | 1     | 0.2   | 0.1   | 0.5   | 0.1   | 0.5   | 0.01   | 0.1    | 0.2   | 0.05  | 0.1   | 0.5  |
| Method Code    | TD-ICP | TD-MS | INAA | TD-ICP  | TD-MS | INAA    | TD-MS | INAA  | INAA  | TD-MS | INAA | TD-MS | TD-MS | TD-MS | INAA  | TD-MS | INAA  | TD-ICP | TD-MS  | INAA  | TD-MS | TD-MS | INAA |
| Method Blank   | < 0.1  |       |      | < 0.2   |       | < 0.001 |       |       |       | < 0.1 |      | < 1   | < 0.2 | < 0.1 |       | < 0.1 |       | < 0.1  | < 0.05 | < 0.1 |       |       |      |
| Method Blank   |        |       |      | < 0.001 |       |         |       |       |       |       |      |       |       |       |       |       |       | < 0.01 |        |       |       |       |      |
| Method Blank   |        |       |      | < 0.01  |       | < 15    |       | < 0.1 | < 0.1 |       | < 3  |       |       |       | < 0.5 |       | < 0.5 |        | < 0.2  |       |       | < 0.5 |      |
| Method Blank   |        |       |      |         |       |         |       |       |       |       |      |       |       |       |       |       |       |        |        |       |       |       |      |

QC

| Analyte Symbol          | V      | W    | Y     | Zr    | La    | La    | Ce    | Ce   | Pr    | Nd    | Nd    | Sm    | Sm    | Eu    | Gd    | Dy    | Tb     | Ho    | Er    | Tm    | Yb    | Yb    | Lu    |       |
|-------------------------|--------|------|-------|-------|-------|-------|-------|------|-------|-------|-------|-------|-------|-------|-------|-------|--------|-------|-------|-------|-------|-------|-------|-------|
| Unit Symbol             | ppm    | ppm  | ppm   | ppm   | ppm   | ppm   | ppm   | ppm  | ppm   | ppm   | ppm   | ppm   | ppm   | ppm   | ppm   | ppm   | ppm    | ppm   | ppm   | ppm   | ppm   | ppm   | ppm   |       |
| Lower Limit             | 2      | 1    | 0.1   | 1     | 0.1   | 0.5   | 0.1   | 3    | 0.1   | 0.1   | 5     | 0.1   | 0.1   | 0.05  | 0.1   | 0.1   | 0.1    | 0.1   | 0.1   | 0.1   | 0.1   | 0.1   | 0.2   | 0.1   |
| Method Code             | TD-ICP | INAA | TD-MS | TD-MS | TD-MS | INAA  | TD-MS | INAA | TD-MS | TD-MS | INAA  | TD-MS | TD-MS | TD-MS | TD-MS | TD-MS | TD-MS  | TD-MS | TD-MS | TD-MS | TD-MS | TD-MS | INAA  | TD-MS |
| GXR-1 Meas              | 85     |      |       |       |       |       |       |      |       |       |       |       |       |       |       |       |        |       |       |       |       |       |       |       |
| GXR-1 Cert              | 80.0   |      |       |       |       |       |       |      |       |       |       |       |       |       |       |       |        |       |       |       |       |       |       |       |
| GXR-4 Meas              | 92     |      |       |       |       |       |       |      |       |       |       |       |       |       |       |       |        |       |       |       |       |       |       |       |
| GXR-4 Cert              | 87.0   |      |       |       |       |       |       |      |       |       |       |       |       |       |       |       |        |       |       |       |       |       |       |       |
| SDC-1 Meas              | 55     |      |       |       |       |       |       |      |       |       |       |       |       |       |       |       |        |       |       |       |       |       |       |       |
| SDC-1 Cert              | 102.00 |      |       |       |       |       |       |      |       |       |       |       |       |       |       |       |        |       |       |       |       |       |       |       |
| GXR-6 Meas              | 184    |      |       |       |       |       |       |      |       |       |       |       |       |       |       |       |        |       |       |       |       |       |       |       |
| GXR-6 Cert              | 186    |      |       |       |       |       |       |      |       |       |       |       |       |       |       |       |        |       |       |       |       |       |       |       |
| SLRS-5 (ICP/MS) Meas    |        |      |       |       |       |       |       |      |       |       |       |       |       |       |       |       |        |       |       |       |       |       |       |       |
| SLRS-5 (ICP/MS) Cert    |        |      |       |       |       |       |       |      |       |       |       |       |       |       |       |       |        |       |       |       |       |       |       |       |
| SAR-M (U.S.G.S.) Meas   | 70     |      |       |       |       |       |       |      |       |       |       |       |       |       |       |       |        |       |       |       |       |       |       |       |
| SAR-M (U.S.G.S.) Cert   | 67.2   |      |       |       |       |       |       |      |       |       |       |       |       |       |       |       |        |       |       |       |       |       |       |       |
| DNC-1a Meas             | 138    |      |       |       |       |       |       |      |       |       |       |       |       |       |       |       |        |       |       |       |       |       |       |       |
| DNC-1a Cert             | 148.00 |      |       |       |       |       |       |      |       |       |       |       |       |       |       |       |        |       |       |       |       |       |       |       |
| SBC-1 Meas              | 217    |      |       |       |       |       |       |      |       |       |       |       |       |       |       |       |        |       |       |       |       |       |       |       |
| SBC-1 Cert              | 220.0  |      |       |       |       |       |       |      |       |       |       |       |       |       |       |       |        |       |       |       |       |       |       |       |
| OREAS 45d (4-Acid) Meas | 90     |      |       |       |       |       |       |      |       |       |       |       |       |       |       |       |        |       |       |       |       |       |       |       |
| OREAS 45d (4-Acid) Cert | 235.0  |      |       |       |       |       |       |      |       |       |       |       |       |       |       |       |        |       |       |       |       |       |       |       |
| DMMAS 117 Meas          |        |      |       |       |       |       | 14.5  |      |       | 38    |       |       |       |       |       |       | 2.2    |       |       |       |       |       |       |       |
| DMMAS 117 Cert          |        |      |       |       |       |       | 15.6  |      |       | 31    |       |       |       |       |       |       | 2.6    |       |       |       |       |       |       |       |
| Method Blank            |        |      |       | < 0.1 | < 1   | < 0.1 |       |      | < 0.1 |       | < 0.1 |       |       | < 0.1 |       |       | < 0.05 | < 0.1 | < 0.1 | < 0.1 | < 0.1 | < 0.1 | < 0.1 |       |
| Method Blank            |        |      |       | < 2   |       |       |       |      |       |       |       |       |       |       |       |       |        |       |       |       |       |       |       |       |
| Method Blank            |        |      |       | < 1   |       |       |       |      | < 0.5 |       | < 3   |       |       | < 5   |       |       | < 0.1  |       |       |       |       |       |       | < 0.2 |
| Method Blank            |        |      |       |       |       |       |       |      |       |       |       |       |       |       |       |       |        |       |       |       |       |       |       |       |

QC

| Analyte Symbol | Lu   | Mass | Na     | Li     | Be     | Mg     | Al     | Si     | K      | Ca     | Sc     | Ti     | V      | Cr     | Mn     | Fe     | Co     | Ni     | Cu     | Zn     | Ga     | Ge     | As     |
|----------------|------|------|--------|--------|--------|--------|--------|--------|--------|--------|--------|--------|--------|--------|--------|--------|--------|--------|--------|--------|--------|--------|--------|
| Unit Symbol    | ppm  | g    | µg/L   |
| Lower Limit    | 0.05 | 5    | 1      | 0.1    | 2      | 2      | 200    | 30     | 700    | 1      | 0.1    | 0.1    | 0.5    | 0.1    | 10     | 0.005  | 0.3    | 0.2    | 0.5    | 0.01   | 0.01   | 0.03   |        |
| Method Code    | INAA | INAA | ICP-MS |
| GXR-1 Meas     |      |      |        |        |        |        |        |        |        |        |        |        |        |        |        |        |        |        |        |        |        |        |        |
| GXR-1 Cert     |      |      |        |        |        |        |        |        |        |        |        |        |        |        |        |        |        |        |        |        |        |        |        |
| GXR-4 Meas     |      |      |        |        |        |        |        |        |        |        |        |        |        |        |        |        |        |        |        |        |        |        |        |

Activation Laboratories Ltd. Report: A14-08032

| Analyte Symbol          | Lu     | Mass | Na     | Li     | Be     | Mg     | Al     | Si     | K      | Ca     | Sc     | Ti     | V      | Cr     | Mn     | Fe     | Co      | Ni     | Cu     | Zn     | Ga     | Ge     | As     |      |
|-------------------------|--------|------|--------|--------|--------|--------|--------|--------|--------|--------|--------|--------|--------|--------|--------|--------|---------|--------|--------|--------|--------|--------|--------|------|
| Unit Symbol             | ppm    | g    | µg/L    | µg/L   | µg/L   | µg/L   | µg/L   | µg/L   | µg/L   | µg/L |
| Lower Limit             | 0.05   |      | 5      | 1      | 0.1    | 2      | 2      | 200    | 30     | 700    | 1      | 0.1    | 0.1    | 0.5    | 0.1    | 10     | 0.005   | 0.3    | 0.2    | 0.5    | 0.01   | 0.01   | 0.03   |      |
| Method Code             | INAA   | INAA | ICP-MS  | ICP-MS | ICP-MS | ICP-MS | ICP-MS | ICP-MS | ICP-MS |      |
| GXR-4 Cert              |        |      |        |        |        |        |        |        |        |        |        |        |        |        |        |        |         |        |        |        |        |        |        |      |
| SDC-1 Meas              |        |      |        |        |        |        |        |        |        |        |        |        |        |        |        |        |         |        |        |        |        |        |        |      |
| SDC-1 Cert              |        |      |        |        |        |        |        |        |        |        |        |        |        |        |        |        |         |        |        |        |        |        |        |      |
| GXR-6 Meas              |        |      |        |        |        |        |        |        |        |        |        |        |        |        |        |        |         |        |        |        |        |        |        |      |
| GXR-6 Cert              |        |      |        |        |        |        |        |        |        |        |        |        |        |        |        |        |         |        |        |        |        |        |        |      |
| SLRS-5 (ICP/MS) Meas    |        | 5900 |        |        | 2910   | 55     |        | 990    | 12100  |        |        | 0.3    | < 0.5  | 4.6    | 90     |        | 0.5     | 19.0   | 1.0    |        |        |        | 0.39   |      |
| SLRS-5 (ICP/MS) Cert    |        | 5380 |        |        | 2640   | 49.5   |        | 839    | 10500  |        |        | 0.317  | 0.208  | 4.33   | 91.2   |        | 0.476   | 17.4   | 0.845  |        |        |        | 0.413  |      |
| SAR-M (U.S.G.S.) Meas   |        |      |        |        |        |        |        |        |        |        |        |        |        |        |        |        |         |        |        |        |        |        |        |      |
| SAR-M (U.S.G.S.) Cert   |        |      |        |        |        |        |        |        |        |        |        |        |        |        |        |        |         |        |        |        |        |        |        |      |
| DNC-1a Meas             |        |      |        |        |        |        |        |        |        |        |        |        |        |        |        |        |         |        |        |        |        |        |        |      |
| DNC-1a Cert             |        |      |        |        |        |        |        |        |        |        |        |        |        |        |        |        |         |        |        |        |        |        |        |      |
| SBC-1 Meas              |        |      |        |        |        |        |        |        |        |        |        |        |        |        |        |        |         |        |        |        |        |        |        |      |
| SBC-1 Cert              |        |      |        |        |        |        |        |        |        |        |        |        |        |        |        |        |         |        |        |        |        |        |        |      |
| OREAS 45d (4-Acid) Meas |        |      |        |        |        |        |        |        |        |        |        |        |        |        |        |        |         |        |        |        |        |        |        |      |
| OREAS 45d (4-Acid) Cert |        |      |        |        |        |        |        |        |        |        |        |        |        |        |        |        |         |        |        |        |        |        |        |      |
| DMMAS 117 Meas          |        |      |        |        |        |        |        |        |        |        |        |        |        |        |        |        |         |        |        |        |        |        |        |      |
| DMMAS 117 Cert          |        |      |        |        |        |        |        |        |        |        |        |        |        |        |        |        |         |        |        |        |        |        |        |      |
| Method Blank            |        |      |        |        |        |        |        |        |        |        |        |        |        |        |        |        |         |        |        |        |        |        |        |      |
| Method Blank            | < 0.05 | 30.0 |        |        |        |        |        |        |        |        |        |        |        |        |        |        |         |        |        |        |        |        |        |      |
| Method Blank            |        |      | < 5    | < 1    | < 0.1  | < 2    | < 2    | < 200  | < 30   | < 700  | < 1    | < 0.1  | < 0.1  | < 0.5  | < 0.1  | < 10   | < 0.005 | < 0.3  | < 0.2  | < 0.5  | < 0.01 | < 0.01 | < 0.03 |      |

QC

| Analyte Symbol        | Se     | Rb     | Sr     | Y      | Zr     | Nb     | Mo     | Ag     | Cd      | In     | Sn     | Sb     | Te     | Cs     | Ba     | La     | Ce     | Pr     | Nd     | Sm     | Eu     | Gd     | Tb     |  |
|-----------------------|--------|--------|--------|--------|--------|--------|--------|--------|---------|--------|--------|--------|--------|--------|--------|--------|--------|--------|--------|--------|--------|--------|--------|--|
| Unit Symbol           | µg/L    | µg/L   | µg/L   | µg/L   | µg/L   | µg/L   | µg/L   | µg/L   | µg/L   | µg/L   | µg/L   | µg/L   | µg/L   | µg/L   | µg/L   |  |
| Lower Limit           | 0.2    | 0.005  | 0.04   | 0.003  | 0.01   | 0.005  | 0.1    | 0.2    | 0.01    | 0.001  | 0.1    | 0.01   | 0.1    | 0.001  | 0.1    | 0.001  | 0.001  | 0.001  | 0.001  | 0.001  | 0.001  | 0.001  | 0.001  |  |
| Method Code           | ICP-MS  | ICP-MS | ICP-MS | ICP-MS | ICP-MS | ICP-MS | ICP-MS | ICP-MS | ICP-MS | ICP-MS | ICP-MS | ICP-MS | ICP-MS | ICP-MS | ICP-MS |  |
| GXR-1 Meas            |        |        |        |        |        |        |        |        |         |        |        |        |        |        |        |        |        |        |        |        |        |        |        |  |
| GXR-1 Cert            |        |        |        |        |        |        |        |        |         |        |        |        |        |        |        |        |        |        |        |        |        |        |        |  |
| GXR-4 Meas            |        |        |        |        |        |        |        |        |         |        |        |        |        |        |        |        |        |        |        |        |        |        |        |  |
| GXR-4 Cert            |        |        |        |        |        |        |        |        |         |        |        |        |        |        |        |        |        |        |        |        |        |        |        |  |
| SDC-1 Meas            |        |        |        |        |        |        |        |        |         |        |        |        |        |        |        |        |        |        |        |        |        |        |        |  |
| SDC-1 Cert            |        |        |        |        |        |        |        |        |         |        |        |        |        |        |        |        |        |        |        |        |        |        |        |  |
| GXR-6 Meas            |        |        |        |        |        |        |        |        |         |        |        |        |        |        |        |        |        |        |        |        |        |        |        |  |
| GXR-6 Cert            |        |        |        |        |        |        |        |        |         |        |        |        |        |        |        |        |        |        |        |        |        |        |        |  |
| SLRS-5 (ICP/MS) Meas  |        | 54.4   |        |        |        |        |        |        | < 0.01  |        |        |        |        |        |        |        | 14.3   |        |        |        |        |        |        |  |
| SLRS-5 (ICP/MS) Cert  |        | 53.6   |        |        |        |        |        |        | 0.00600 |        |        |        |        |        |        |        | 14.0   |        |        |        |        |        |        |  |
| SAR-M (U.S.G.S.) Meas |        |        |        |        |        |        |        |        |         |        |        |        |        |        |        |        |        |        |        |        |        |        |        |  |
| SAR-M (U.S.G.S.) Cert |        |        |        |        |        |        |        |        |         |        |        |        |        |        |        |        |        |        |        |        |        |        |        |  |
| DNC-1a Meas           |        |        |        |        |        |        |        |        |         |        |        |        |        |        |        |        |        |        |        |        |        |        |        |  |

| Analyte Symbol          | Se     | Rb      | Sr     | Y       | Zr     | Nb      | Mo     | Ag     | Cd     | In      | Sn     | Sb     | Te     | Cs      | Ba     | La      | Ce     | Pr      | Nd      | Sm      | Eu      | Gd      | Tb      |         |
|-------------------------|--------|---------|--------|---------|--------|---------|--------|--------|--------|---------|--------|--------|--------|---------|--------|---------|--------|---------|---------|---------|---------|---------|---------|---------|
| Unit Symbol             | µg/L   | µg/L    | µg/L   | µg/L    | µg/L   | µg/L    | µg/L   | µg/L   | µg/L   | µg/L    | µg/L   | µg/L   | µg/L   | µg/L    | µg/L   | µg/L    | µg/L   | µg/L    | µg/L    | µg/L    | µg/L    | µg/L    | µg/L    | µg/L    |
| Lower Limit             | 0.2    | 0.005   | 0.04   | 0.003   | 0.01   | 0.005   | 0.1    | 0.2    | 0.01   | 0.001   | 0.1    | 0.01   | 0.1    | 0.001   | 0.1    | 0.001   | 0.001  | 0.001   | 0.001   | 0.001   | 0.001   | 0.001   | 0.001   |         |
| Method Code             | ICP-MS | ICP-MS  | ICP-MS | ICP-MS  | ICP-MS | ICP-MS  | ICP-MS | ICP-MS | ICP-MS | ICP-MS  | ICP-MS | ICP-MS | ICP-MS | ICP-MS  | ICP-MS | ICP-MS  | ICP-MS | ICP-MS  | ICP-MS  | ICP-MS  | ICP-MS  | ICP-MS  | ICP-MS  |         |
| DNC-1a Cert             |        |         |        |         |        |         |        |        |        |         |        |        |        |         |        |         |        |         |         |         |         |         |         |         |
| SBC-1 Meas              |        |         |        |         |        |         |        |        |        |         |        |        |        |         |        |         |        |         |         |         |         |         |         |         |
| SBC-1 Cert              |        |         |        |         |        |         |        |        |        |         |        |        |        |         |        |         |        |         |         |         |         |         |         |         |
| OREAS 45d (4-Acid) Meas |        |         |        |         |        |         |        |        |        |         |        |        |        |         |        |         |        |         |         |         |         |         |         |         |
| OREAS 45d (4-Acid) Cert |        |         |        |         |        |         |        |        |        |         |        |        |        |         |        |         |        |         |         |         |         |         |         |         |
| DMMAS 117 Meas          |        |         |        |         |        |         |        |        |        |         |        |        |        |         |        |         |        |         |         |         |         |         |         |         |
| DMMAS 117 Cert          |        |         |        |         |        |         |        |        |        |         |        |        |        |         |        |         |        |         |         |         |         |         |         |         |
| Method Blank            |        |         |        |         |        |         |        |        |        |         |        |        |        |         |        |         |        |         |         |         |         |         |         |         |
| Method Blank            |        |         |        |         |        |         |        |        |        |         |        |        |        |         |        |         |        |         |         |         |         |         |         |         |
| Method Blank            |        |         |        |         |        |         |        |        |        |         |        |        |        |         |        |         |        |         |         |         |         |         |         |         |
| Method Blank            | < 0.2  | < 0.005 | < 0.04 | < 0.003 | < 0.01 | < 0.005 | < 0.1  | < 0.2  | < 0.01 | < 0.001 | < 0.1  | < 0.01 | < 0.1  | < 0.001 | < 0.1  | < 0.001 | < 0.1  | < 0.001 | < 0.001 | < 0.001 | < 0.001 | < 0.001 | < 0.001 | < 0.001 |



## INFORME INTERNO DE RESULTADOS

IGL/INF-LABQUP-02-2015

| Área  | Identificación del Informe          | Fecha de Emisión del informe   |  |  |
|---|-------------------------------------|--------------------------------|--|--|
| LABQUP  | IGL/INF-LABQUP-02-2015              | 22 enero 2015                  |  |  |
| Solicitante   | Procedimiento de Muestreo Utilizado |                                |  |  |
| Dr. Francisco Martín Romero / Dra. Azucena Dotor            | No reportado                        |                                |  |  |
| Fecha de Recepción de Muestras                              | Periodo de Preparación de Muestras  | Número de Orden de trabajo/Año |  |  |
| 02 de noviembre de 2014                                     | 20 al 29 de diciembre de 2014       | 01/15                          |  |  |
| Periodo de análisis   | Equipo Utilizado                    |                                |  |  |
| 03 de enero de 2015   | Q-ICP-MS Agilent 7500ce             |                                |  |  |
| Métodos o Normas de Análisis Empleados                      |                                     |                                |  |  |
| PROTOCOLO INTERNO DEL INSTITUTO DE GEOLOGÍA.                |                                     |                                |  |  |
| Referencias   |                                     |                                |  |  |
| BITPER/LABQUP-01/60; BITEQ/LABQUP-01/75; BITEQ/LABQUP-02/02 |                                     |                                |  |  |
| Observaciones   |                                     |                                |  |  |

Nota: Los resultados corresponden a las muestras solicitadas con el formato "SOLICITUD-LABQUP ICPMS-OT-06 2015"

CONTROLES DE CALIDAD:

| Tipo         | Especificación   | Criterio            |
|--------------|--|---------------------|
| R-201214-1   | Blanco de reactivos (2% ácido nítrico tridestilado)                      | < LDM               |
| BM-201214-1  | Blanco de método (2% ácido nítrico tridestilado)                         | Depende del proceso |
| S-201214-1   | Estándar de verificación (concentración 25 ppb para todos los elementos) | ± 10%               |
| MD-ADA-136   | Muestra duplicada  | DPR < 20%           |
| MD-ADA-142   | Muestra duplicada  | DPR < 20%           |
| DPR          | Diferencia porcentual relativa   | < 20% para M y MD   |
| MRC-201214-1 | SBC-1 SHALE  | ± 10%               |
| MRC-201214-2 | SBC-1 SHALE  | ± 10%               |

Nota: \* < LDM = Menor al límite de detección del método (LDM).

Nota: Los Valores de Sb y As son estimados puesto dichos elementos se puede perder cuando las muestras son digeridas a alta temperatura.

Nota: El usuario se compromete a dar los agradecimientos correspondientes, en cualquier artículo, tesis o trabajo que se derive de los resultados presentados, tanto al Laboratorio de Química Ultrapura e ICP-MS como al M en C Ernesto Hernández Mendiola por su trabajo realizado en la preparación y análisis de las muestras. Así mismo, el usuario se compromete a mandar una copia simple de dicho agradecimiento vía correo.

M. en C. Ernesto Hernández Mendiola  
Técnico Académico Titular "B".

Responsable del Laboratorio de Química Ultrapura (LABQUP) y de Q-ICP-MS.  
DEPTO. DE GEOQUÍMICA, INSTITUTO DE GEOLOGÍA, UNAM  
56224310 EXT 161, 230, 210; email: ernestohm@geologia.unam.mx; ernestohmen@gmail.com

ESTOS RESULTADOS AMPARAN UNICAMENTE LAS MUESTRAS PROBADAS, SIN QUE ESTAS SEAN REPRESENTATIVAS DE UN UNIVERSO O LOTE.  
EL PRESENTE INFORME DE PRUEBA NO DEBE REPRODUCIRSE, EXCEPTO EN SU TOTALIDAD, SIN LA APROBACIÓN POR ESCRITO DEL LABORATORIO DE QUÍMICA ULTRAPURA DEL INSTITUTO DE GEOLOGÍA DE LA UNAM

F/PTA-S/N



## INFORME INTERNO DE RESULTADOS

IGL/INF-LABQUP-02-2015

| Clave       | Concentración de Elementos Totales<br>(ug/g) |  |  |  |  |  |  |  |  |
|-------------|--|--|--|--|--|--|--|--|--|
|             | La<br>LDM = 0.01 ppb<br>LCM = 0.05 ppb       | Ce<br>LDM = 0.01 ppb<br>LCM = 0.05 ppb | Pr<br>LDM = 0.01 ppb<br>LCM = 0.05 ppb | Nd<br>LDM = 0.01 ppb<br>LCM = 0.05 ppb | Sm<br>LDM = 0.01 ppb<br>LCM = 0.05 ppb | Eu<br>LDM = 0.01 ppb<br>LCM = 0.05 ppb | Gd<br>LDM = 0.01 ppb<br>LCM = 0.05 ppb | Tb<br>LDM = 0.01 ppb<br>LCM = 0.05 ppb |  |
| ADA136      | 23.78  | 64.55                                  | 5.45                                   | 19.86                                  | 3.76                                   | 1.19                                   | 4.71                                   | 0.73                                   |  |
| ADA -MD-136 | 24.31  | 65.07                                  | 5.48                                   | 20.08                                  | 3.79                                   | 1.16                                   | 4.67                                   | 0.72                                   |  |
| ADA -MT-136 | 23.95  | 67.92                                  | 5.48                                   | 20.24                                  | 3.84                                   | 1.18                                   | 4.86                                   | 0.76                                   |  |
| ADA138      | 31.73  | 71.31                                  | 7.38                                   | 21.37                                  | 4.07                                   | 1.15                                   | 4.19                                   | 0.61                                   |  |
| ADA139      | 52.79  | 107.72                                 | 12.73                                  | 65.05                                  | 8.32                                   | 1.75                                   | 7.60                                   | 0.97                                   |  |
| ADA137b     | 46.01  | 108.02                                 | 10.13                                  | 35.31                                  | 6.10                                   | 0.52                                   | 5.57                                   | 0.85                                   |  |
| ADA140      | 33.20  | 74.10                                  | 7.42                                   | 27.02                                  | 4.75                                   | 1.34                                   | 4.89                                   | 0.60                                   |  |
| ADA141      | 27.19  | 63.79                                  | 6.38                                   | 22.74                                  | 3.99                                   | 1.15                                   | 4.12                                   | 0.54                                   |  |
| ADA142      | 30.94  | 70.67                                  | 6.91                                   | 24.03                                  | 4.31                                   | 0.98                                   | 4.39                                   | 0.58                                   |  |
| ADA -MD-142 | 28.57  | 71.95                                  | 6.43                                   | 22.69                                  | 3.94                                   | 0.94                                   | 4.04                                   | 0.54                                   |  |
| ADA -MT-142 | 35.02  | 74.05                                  | 7.85                                   | 27.73                                  | 4.82                                   | 1.06                                   | 4.86                                   | 0.62                                   |  |
| ADA143      | 37.70  | 88.15                                  | 8.13                                   | 28.09                                  | 4.79                                   | 1.21                                   | 4.68                                   | 0.61                                   |  |
| ADA144      | 31.80  | 72.37                                  | 7.05                                   | 25.37                                  | 4.40                                   | 1.17                                   | 4.51                                   | 0.56                                   |  |

| Clave       | Concentración de Elementos Totales<br>(ug/g) |  |  |  |  |  |  |                                       |
|-------------|--|--|--|--|--|--|--|---------------------------------------|
|             | Dy<br>LDM = 0.01 ppb<br>LCM = 0.05 ppb       | Ho<br>LDM = 0.01 ppb<br>LCM = 0.05 ppb | Er<br>LDM = 0.01 ppb<br>LCM = 0.05 ppb | Tm<br>LDM = 0.01 ppb<br>LCM = 0.05 ppb | Yb<br>LDM = 0.01 ppb<br>LCM = 0.05 ppb | Lu<br>LDM = 0.01 ppb<br>LCM = 0.05 ppb | Th<br>LDM = 0.01 ppb<br>LCM = 0.05 ppb | U<br>LDM = 0.01 ppb<br>LCM = 0.05 ppb |
| ADA136      | 4.22   | 0.91                                   | 2.99                                   | 0.3                                    | 2.56                                   | 0.37                                   | 6.99                                   | 3.23                                  |
| ADA -MD-136 | 4.14   | 0.91                                   | 2.96                                   | 0.3                                    | 2.64                                   | 0.38                                   | 7.03                                   | 3.31                                  |
| ADA -MT-136 | 4.41   | 0.96                                   | 3.23                                   | 0.3                                    | 2.89                                   | 0.42                                   | 7.27                                   | 3.49                                  |
| ADA138      | 5.50   | 0.73                                   | 2.11                                   | 0.3                                    | 2.22                                   | 0.29                                   | 19.95                                  | 6.35                                  |
| ADA139      | 6.18   | 0.90                                   | 3.27                                   | 0.4                                    | 2.37                                   | 0.33                                   | 21.91                                  | 6.14                                  |
| ADA137b     | 6.59   | 1.18                                   | 3.52                                   | 0.5                                    | 3.82                                   | 0.57                                   | 21.46                                  | 5.10                                  |
| ADA140      | 3.69   | 0.62                                   | 1.96                                   | 0.3                                    | 1.84                                   | 0.27                                   | 11.26                                  | 3.40                                  |
| ADA141      | 3.46   | 0.58                                   | 1.88                                   | 0.2                                    | 1.84                                   | 0.27                                   | 10.12                                  | 2.62                                  |
| ADA142      | 3.76   | 0.65                                   | 2.19                                   | 0.3                                    | 2.27                                   | 0.34                                   | 14.95                                  | 4.25                                  |
| MD-142      | 3.56   | 0.63                                   | 2.06                                   | 0.3                                    | 2.10                                   | 0.32                                   | 14.45                                  | 3.99                                  |
| MT-142      | 3.88   | 0.67                                   | 2.19                                   | 0.3                                    | 2.23                                   | 0.33                                   | 14.62                                  | 4.27                                  |
| ADA143      | 3.74   | 0.63                                   | 2.03                                   | 0.3                                    | 1.95                                   | 0.28                                   | 12.13                                  | 3.53                                  |
| ADA144      | 3.45   | 0.57                                   | 1.82                                   | 0.2                                    | 1.72                                   | 0.25                                   | 11.02                                  | 3.28                                  |

ESTOS RESULTADOS AMPARAN UNICAMENTE LAS MUESTRAS PROBADAS, SIN QUE ESTAS SEAN REPRESENTATIVAS DE UN UNIVERSO O LOTE.  
EL PRESENTE INFORME DE PRUEBA NO DEBE REPRODUCIRSE, EXCEPTO EN SU TOTALIDAD, SIN LA APROBACION POR ESCRITO DEL LABORATORIO  
DE QUÍMICA ULTRAPURA DEL INSTITUTO DE GEOLOGÍA DE LA UNAM

F/PTA-S/N



## INFORME INTERNO DE RESULTADOS

IGL/INF-LABQUP-02-2015

| Clave       | Concentración de Elementos Totales<br>(ug/g) |  |                                     |  |                                   |  |  |                                      |
|-------------|--|--|-------------------------------------|--|-----------------------------------|--|--|--------------------------------------|
|             | Sb<br>LDM = 0.01 ppb<br>LCM = 0.05 ppb       | As<br>LDM = 0.01 ppb<br>LCM = 0.05 ppb | Ba<br>LDM = 1 ppb<br>LCM = 0.05 ppb | Be<br>LDM = 0.01 ppb<br>LCM = 0.05 ppb | Ca<br>LDM = 1 ppb<br>LCM = 10 ppb | Cd<br>LDM = 0.01 ppb<br>LCM = 0.05 ppb | Co<br>LDM = 0.01 ppb<br>LCM = 0.05 ppb | Cr<br>LDM = 0.1 ppb<br>LCM = 0.5 ppb |
| ADA136      | 5.8  | 34.0                                   | 834.5                               | 1.2                                    | 932.7                             | 34.0                                   | 26.8                                   | 9.4                                  |
| ADA -MD-136 | 5.4  | 37.0                                   | 800.8                               | 1.1                                    | 940.3                             | 36.7                                   | 22.6                                   | 9.7                                  |
| ADA -MT-136 | 5.2  | 32.9                                   | 780.9                               | 1.2                                    | 953.6                             | 39.4                                   | 41.0                                   | 9.1                                  |
| ADA138      | 5.3  | 74.3                                   | 621.4                               | 1.4                                    | 6026.4                            | 25.0                                   | 26.4                                   | 42.3                                 |
| ADA139      | 10.7   | 75.4                                   | 562.9                               | 1.8                                    | 2644.8                            | 37.0                                   | 8.5                                    | 52.9                                 |
| ADA137b     | 9.3  | 69.6                                   | 311.6                               | 1.9                                    | 1158.8                            | 54.4                                   | 8.7                                    | 12.8                                 |
| ADA140      | 7.1  | 23.3                                   | 905.0                               | 1.4                                    | 15391.7                           | 48.7                                   | 11.2                                   | 43.5                                 |
| ADA141      | 2.9  | 7.8                                    | 903.7                               | 1.6                                    | 8572.6                            | 42.8                                   | 7.5                                    | 17.0                                 |
| ADA142      | 7.2  | 23.0                                   | 863.1                               | 1.5                                    | 3974.5                            | 48.3                                   | 9.3                                    | 35.1                                 |
| MD-142      | 8.4  | 24.3                                   | 871.7                               | 1.6                                    | 4284.9                            | 41.0                                   | 9.0                                    | 34.9                                 |
| MT-142      | 8.3  | 24.2                                   | 856.1                               | 1.6                                    | 4606.6                            | 46.3                                   | 9.0                                    | 32.9                                 |
| ADA143      | 8.3  | 49.4                                   | 896.6                               | 1.6                                    | 9623.4                            | 43.6                                   | 10.4                                   | 60.6                                 |
| ADA144      | 5.4  | 14.9                                   | 824.6                               | 1.7                                    | 12564.8                           | 41.5                                   | 8.3                                    | 34.5                                 |

| Clave       | Concentración de Elementos Totales<br>(ug/g) |  |  |                                   |  |  |  |  |
|-------------|--|--|--|-----------------------------------|--|--|--|--|
|             | Cs<br>LDM = 0.01 ppb<br>LCM = 0.05 ppb       | Cu<br>LDM = 0.01 ppb<br>LCM = 0.05 ppb | Ge<br>LDM = 0.01 ppb<br>LCM = 0.05 ppb | Fe<br>LDM = 1 ppb<br>LCM = 10 ppb | Ga<br>LDM = 0.01 ppb<br>LCM = 0.05 ppb | Hf<br>LDM = 0.01 ppb<br>LCM = 0.05 ppb | In<br>LDM = 0.01 ppb<br>LCM = 0.05 ppb | Li<br>LDM = 0.01 ppb<br>LCM = 0.05 ppb |
| ADA136      | 13.6   | 539.1                                  |  | 53633.4                           |  | 2.3                                    | 0.7                                    | 16.4                                   |
| ADA -MD-136 | 13.6   | 454.9                                  |  | 51996.7                           |  | 2.5                                    | 0.6                                    | 16.0                                   |
| ADA -MT-136 | 13.9   | 456.7                                  |  | 55211.8                           |  | 2.7                                    | 0.7                                    | 14.7                                   |
| ADA138      | 9.2  | 308.4                                  |  | 35675.5                           |  | 1.3                                    | 0.5                                    | 12.6                                   |
| ADA139      | 24.0   | 516.3                                  |  | 51754.0                           |  | 2.8                                    | 0.7                                    | 19.0                                   |
| ADA137b     | 19.9   | 334.2                                  |  | 25299.4                           |  | 5.5                                    | 0.2                                    | 20.3                                   |
| ADA140      | 10.3   | 124.2                                  |  | 33825.0                           |  | 3.5                                    | 0.1                                    | 30.5                                   |
| ADA141      | 7.5  | 46.0                                   |  | 26493.9                           |  | 3.0                                    | 0.1                                    | 23.1                                   |
| ADA142      | 10.6   | 142.2                                  |  | 27513.9                           |  | 3.5                                    | 0.1                                    | 19.8                                   |
| MD-142      | 10.3   | 147.2                                  |  | 28087.4                           |  | 3.2                                    | 0.1                                    | 19.7                                   |
| MT-142      | 10.2   | 151.6                                  |  | 30058.7                           |  | 3.4                                    | 0.1                                    | 21.3                                   |
| ADA143      | 12.6   | 164.3                                  |  | 47518.4                           |  | 3.1                                    | 0.2                                    | 29.9                                   |
| ADA144      | 9.0  | 18.4                                   |  | 31328.5                           |  | 2.8                                    | 0.1                                    | 34.8                                   |



## INFORME INTERNO DE RESULTADOS

IGL/INF-LABQUP-02-2015

| Clave       | Concentración de Elementos Totales<br>(ug/g) |                                   |  |  |  |                                      |                                  |  |
|-------------|--|-----------------------------------|--|--|--|--------------------------------------|----------------------------------|--|
|             | Al<br>LDM = 1 ppb<br>LCM = 10 ppb            | Mg<br>LDM = 1 ppb<br>LCM = 10 ppb | Mn<br>LDM = 0.01 ppb<br>LCM = 0.05 ppb | Mo<br>LDM = 0.01 ppb<br>LCM = 0.05 ppb | Nb<br>LDM = 0.01 ppb<br>LCM = 0.05 ppb | Ni<br>LDM = 0.1 ppb<br>LCM = 0.5 ppb | K<br>LDM = 1 ppb<br>LCM = 10 ppb | Pb<br>LDM = 0.01 ppb<br>LCM = 0.05 ppb |
| ADA136      | 43222.6                                      | 573.2                             | 2303.1                                 | 30.0                                   | 6.6                                    | 14.6                                 | 32106.1                          | 80.2                                   |
| ADA -MD-136 | 41512.7                                      | 601.0                             | 2484.7                                 | 23.9                                   | 6.5                                    | 14.3                                 | 29328.4                          | 48.7                                   |
| ADA -MT-136 | 41599.9                                      | 561.7                             | 2503.3                                 | 27.8                                   | 6.6                                    | 19.9                                 | 29788.2                          | 53.8                                   |
| ADA138      | 54503.1                                      | 9006.2                            | 712.3                                  | 5.7                                    | 6.1                                    | 25.5                                 | 33105.6                          | 43.3                                   |
| ADA139      | 74040.2                                      | 3809.1                            | 569.7                                  | 13.6                                   | 7.9                                    | 25.1                                 | 30175.6                          | 125.9                                  |
| ADA137b     | 61638.9                                      | 7596.6                            | 537.7                                  | 3.9                                    | 16.1                                   | 7.0                                  | 42407.3                          | 223.0                                  |
| ADA140      | 51675.0                                      | 16941.7                           | 505.3                                  | 1.1                                    | 10.1                                   | 18.7                                 | 29483.3                          | 25.4                                   |
| ADA141      | 48912.5                                      | 19043.6                           | 428.0                                  | 0.8                                    | 10.0                                   | 8.2                                  | 38610.3                          | 27.0                                   |
| ADA142      | 53933.7                                      | 12122.6                           | 688.9                                  | 2.2                                    | 12.2                                   | 15.5                                 | 49665.5                          | 71.9                                   |
| MD-142      | 55215.1                                      | 12350.2                           | 741.7                                  | 2.1                                    | 10.5                                   | 16.6                                 | 50884.2                          | 64.9                                   |
| MT-142      | 56292.3                                      | 13030.4                           | 696.9                                  | 2.1                                    | 11.3                                   | 16.0                                 | 50817.8                          | 61.4                                   |
| ADA143      | 60068.5                                      | 15729.8                           | 782.9                                  | 2.6                                    | 14.1                                   | 20.4                                 | 36773.2                          | 72.4                                   |
| ADA144      | 56066.0                                      | 21133.2                           | 381.6                                  | 1.1                                    | 11.4                                   | 12.2                                 | 37510.8                          | 24.5                                   |

| Clave       | Concentración de Elementos Totales<br>(ug/g) |  |  |  |                                   |                                   |  |  |
|-------------|--|--|--|--|-----------------------------------|-----------------------------------|--|--|
|             | Re<br>LDM = 0.01 ppb<br>LCM = 0.05 ppb       | Rb<br>LDM = 0.01 ppb<br>LCM = 0.05 ppb | Sc<br>LDM = 0.01 ppb<br>LCM = 0.05 ppb | Se<br>LDM = 0.01 ppb<br>LCM = 0.05 ppb | Na<br>LDM = 1 ppb<br>LCM = 10 ppb | Sr<br>LDM = 1 ppb<br>LCM = 10 ppb | Ag<br>LDM = 0.01 ppb<br>LCM = 0.05 ppb | Ta<br>LDM = 0.01 ppb<br>LCM = 0.05 ppb |
| ADA136      | -1.1   | 273.8                                  | 8.5                                    | 15.5                                   | 573.2                             | 28.0                              | 1.3                                    | 0.8                                    |
| ADA -MD-136 | -1.1   | 274.6                                  | 8.3                                    | 16.4                                   | 601.0                             | 28.3                              | 1.2                                    | 0.8                                    |
| ADA -MT-136 | -1.1   | 284.7                                  | 8.6                                    | 15.3                                   | 561.7                             | 26.2                              | 1.3                                    | 0.8                                    |
| ADA138      | -1.2   | 159.3                                  | 10.1                                   | 1.5                                    | 12.6                              | 130.4                             | 0.1                                    | 0.7                                    |
| ADA139      | -0.7   | 218.7                                  | 15.9                                   | 5.6                                    | 7416.9                            | 103.7                             | 0.6                                    | 0.8                                    |
| ADA137b     | -1.1   | 240.7                                  | 8.3                                    | 11.6                                   | 3585.0                            | 43.6                              | 1.8                                    | 1.4                                    |
| ADA140      | -1.2   | 104.3                                  | 8.7                                    | 19.1                                   | 7596.6                            | 428.2                             | 1.5                                    | 0.9                                    |
| ADA141      | -1.2   | 150.0                                  | 5.6                                    | 10.2                                   | 16941.7                           | 274.8                             | 0.8                                    | 1.0                                    |
| ADA142      | -1.2   | 230.2                                  | 8.5                                    | 28.4                                   | 19043.6                           | 142.4                             | 0.7                                    | 1.1                                    |
| MD-142      | -1.0   | 229.4                                  | 8.5                                    | 24.7                                   | 12122.6                           | 153.6                             | 1.0                                    | 1.0                                    |
| MT-142      | -1.1   | 225.2                                  | 8.7                                    | 29.7                                   | 12350.2                           | 157.0                             | 1.0                                    | 1.1                                    |
| ADA143      | -1.1   | 160.9                                  | 10.4                                   | 31.6                                   | 13030.4                           | 244.6                             | 1.0                                    | 1.2                                    |
| ADA144      | -1.2   | 138.4                                  | 7.2                                    | 34.0                                   | 15729.8                           | 324.5                             | 1.0                                    | 1.1                                    |

ESTOS RESULTADOS AMPARAN UNICAMENTE LAS MUESTRAS PROBADAS, SIN QUE ESTAS SEAN REPRESENTATIVAS DE UN UNIVERSO O LOTE.  
EL PRESENTE INFORME DE PRUEBA NO DEBE REPRODUCIRSE, EXCEPTO EN SU TOTALIDAD, SIN LA APROBACION POR ESCRITO DEL LABORATORIO  
DE QUÍMICA ULTRAPURA DEL INSTITUTO DE GEOLOGÍA DE LA UNAM

F/PTA-S/N



## INFORME INTERNO DE RESULTADOS

IGL/INF-LABQUP-02-2015

| Clave       | Concentración de Elementos Totales<br>(ug/g) |  |                                       |                                       |  |                                      |
|-------------|--|--|---------------------------------------|---------------------------------------|--|--------------------------------------|
|             | Sn<br>LDM = 0.01 ppb<br>LCM = 0.05 ppb       | Tl<br>LDM = 0.01 ppb<br>LCM = 0.05 ppb | V<br>LDM = 0.01 ppb<br>LCM = 0.05 ppb | Y<br>LDM = 0.01 ppb<br>LCM = 0.05 ppb | Zn<br>LDM = 0.01 ppb<br>LCM = 0.05 ppb | Zr<br>LDM = 0.1 ppb<br>LCM = 0.5 ppb |
| ADA136      | 7.8  | 3.1                                    | 85.8                                  | 17.1                                  | 361.2                                  | 75.2                                 |
| ADA -MD-136 | 7.3  | 3.1                                    | 83.3                                  | 16.9                                  | 365.5                                  | 79.4                                 |
| ADA -MT-136 | 7.8  | 3.1                                    | 85.2                                  | 17.9                                  | 366.1                                  | 88.7                                 |
| ADA138      | 2.6  | 0.0                                    | 69.6                                  | 18.5                                  | 334.2                                  | 41.6                                 |
| ADA139      | 5.7  | 1.6                                    | 118.0                                 | 22.5                                  | 316.9                                  | 95.8                                 |
| ADA137b     | 3.7  | 2.4                                    | 31.5                                  | 31.9                                  | 487.1                                  | 148.5                                |
| ADA140      | 1.6  | 1.8                                    | 100.0                                 | 16.5                                  | 95.4                                   | 126.0                                |
| ADA141      | 1.6  | 0.7                                    | 81.7                                  | 15.6                                  | 60.9                                   | 104.6                                |
| ADA142      | 2.4  | 0.8                                    | 72.3                                  | 18.0                                  | 189.0                                  | 113.5                                |
| MD-142      | 2.5  | 1.6                                    | 77.9                                  | 17.6                                  | 190.8                                  | 108.6                                |
| MT-142      | 2.9  | 1.6                                    | 75.7                                  | 18.9                                  | 195.6                                  | 112.4                                |
| ADA143      | 2.8  | 1.6                                    | 134.9                                 | 17.2                                  | 178.4                                  | 115.6                                |
| ADA144      | 1.8  | 1.2                                    | 100.5                                 | 16.2                                  | 69.2                                   | 103.0                                |



## INFORME INTERNO DE RESULTADOS

IGL/INF-LABQUP-06-2015

| Área   | Identificación del Informe          |  | Fecha de Emisión del informe   |
|--|-------------------------------------|--|--------------------------------|
| LABQUP   | IGL/INF-LABQUP-06-2015              |  | 03 Junio 2015                  |
| Solicitante                                      | Procedimiento de Muestreo Utilizado |  |                                |
| Dr. Francisco Martín Romero / Dra. Azucena Dotor | No reportado                        |  |                                |
| Fecha de Recepción de Muestras                   | Periodo de Preparación de Muestras  |  | Número de Orden de trabajo/Año |
| 04 mayo 2015                                     | 08 al 28 de mayo de 2015            |  | 06/15                          |
| Periodo de análisis                              | Equipo Utilizado                    |  |                                |
| 08 junio 2015                                    | Q-ICP-MS Agilent 7500ce             |  |                                |

## Métodos o Normas de Análisis Empleados

PROTOCOLO INTERNO DEL INSTITUTO DE GEOLOGÍA.

## Referencias

BITPER/LABQUP-01/65; BITEQ/LABQUP-02/118-128; BITEQ/LABQUP-03/18-19

## Observaciones

Nota: Los resultados corresponden a las muestras solicitadas con el formato "SOLICITUD-LABQUP ICPMS-OT-06 2015"

## CONTROLES DE CALIDAD:

| Tipo         | Especificación   | Criterio            |
|--------------|--|---------------------|
| R-080515-1   | Blanco de reactivos (2% ácido nítrico tridestilado)                      | < LDM               |
| BM-080515-1  | Blanco de método (2% ácido nítrico tridestilado)                         | Depende del proceso |
| S-080515-1   | Estándar de verificación (concentración 25 ppb para todos los elementos) | ± 10%               |
| MD-172       | Muestra duplicada  | DPR < 20%           |
| MD-189       | Muestra duplicada  | DPR < 20%           |
| DPR          | Diferencia porcentual relativa   | < 20% para M y MD   |
| MRC-080515-1 | SBC-1 SHALE  | ± 10%               |
| MRC-080515-2 | SBC-1 SHALE  | ± 10%               |

Nota: \* <LDM = Menor al límite de detección del método (LDM). \*\* >C.C. = Mayor que la curva de Calibración..

Nota: Los Valores de Sb y As son estimados puesto dichos elementos se puede perder cuando las muestras son digeridas a alta temperatura.

Nota: El usuario se compromete a dar los agradecimientos correspondientes, en cualquier artículo, tesis o trabajo que se derive de los resultados presentados, tanto al Laboratorio de Química Ultrapura e ICP-MS como al M en C Ernesto Hernández Mendiola por su trabajo realizado en la preparación y análisis de las muestras. Así mismo, el usuario se compromete a mandar una copia simple de dicho agradecimiento vía correo.

M. en C. Ernesto Hernández Mendiola  
Técnico Académico Titular "B".

Responsable del Laboratorio de Química Ultrapura (LABQUP) y de Q-ICP-MS.  
DEPTO. DE GEOQUÍMICA, INSTITUTO DE GEOLOGÍA, UNAM  
56224310 EXT 161, 230, 210; email: [ernestohm@geologia.unam.mx](mailto:ernestohm@geologia.unam.mx); [ernestohmen@gmail.com](mailto:ernestohmen@gmail.com)



## INFORME INTERNO DE RESULTADOS

IGL/INF-LABQUP-06-2015

| Clave            | Concentración de Elementos Totales<br>(ug/g) |        |       |       |       |      |       |      |
|------------------|--|--------|-------|-------|-------|------|-------|------|
|                  | La   | Ce     | Pr    | Nd    | Sm    | Eu   | Gd    | Tb   |
| ADA-IIT2-E 25    | 29.69  | 65.26  | 6.80  | 25.58 | 5.11  | 1.12 | 5.12  | 0.72 |
| MD-ADA-IIT2-E 25 | 34.54  | 64.12  | 7.30  | 26.74 | 5.11  | 1.14 | 5.03  | 0.71 |
| ADA-MR-1A        | 33.28  | 67.88  | 7.79  | 29.73 | 5.81  | 1.33 | 5.48  | 0.72 |
| MD-ADA-MR-1A     | 35.20  | 75.15  | 8.43  | 32.10 | 6.26  | 1.41 | 5.87  | 0.74 |
| ADA-MR-3A        | 27.99  | 53.34  | 6.03  | 23.17 | 4.61  | 1.05 | 4.51  | 0.64 |
| ADA-MR-5A        | 31.83  | 63.33  | 7.46  | 28.31 | 5.74  | 1.29 | 5.68  | 0.78 |
| ADA-IT1E5        | 72.45  | 151.12 | 14.53 | 54.82 | 10.60 | 0.68 | 10.84 | 1.54 |
| ADA-IT1E25       | 59.63  | 120.71 | 12.49 | 44.66 | 8.75  | 0.69 | 8.96  | 1.33 |
| ADA-IT1E50       | 42.82  | 132.98 | 9.98  | 37.67 | 8.24  | 1.06 | 8.75  | 1.37 |
| ADA-IT2E 0-5     | 55.69  | 109.94 | 11.91 | 43.60 | 8.63  | 0.77 | 8.86  | 1.33 |
| ADA-IT2E 5-25    | 36.03  | 82.30  | 8.27  | 31.12 | 6.44  | 1.02 | 6.50  | 0.97 |
| ADA-MR-2A        | 32.12  | 59.10  | 7.00  | 27.07 | 5.57  | 0.89 | 5.61  | 0.82 |
| ADA-IT2E 25-50   | 24.14  | 78.38  | 5.41  | 20.57 | 4.47  | 0.56 | 4.87  | 0.72 |
| ADA-IT3E 0-5A    | 34.78  | 63.01  | 7.33  | 26.85 | 5.16  | 0.89 | 5.13  | 0.75 |
| ADA-IT3E 5-25    | 23.17  | 63.74  | 5.55  | 21.38 | 4.62  | 0.85 | 4.77  | 0.72 |
| ADA-IT3E 25-50   | 37.75  | 70.66  | 8.23  | 30.72 | 6.03  | 1.07 | 5.77  | 0.83 |
| ADA-IIT1-E 0-5   | 41.81  | 81.61  | 9.25  | 35.59 | 7.31  | 1.53 | 7.54  | 1.05 |
| ADA-IIT1-E 50    | 25.97  | 50.04  | 5.59  | 21.52 | 4.44  | 1.01 | 4.39  | 0.68 |
| ADA-IIT2-E 5     | 30.27  | 54.33  | 6.13  | 22.38 | 4.27  | 0.93 | 4.26  | 0.60 |
| ADA-IIT1-E 25    | 30.69  | 81.85  | 6.60  | 25.07 | 5.03  | 1.21 | 5.22  | 0.74 |

ESTOS RESULTADOS AMPARAN UNICAMENTE LAS MUESTRAS PROBADAS, SIN QUE ESTAS SEAN REPRESENTATIVAS DE UN UNIVERSO O LOTE.  
EL PRESENTE INFORME DE PRUEBA NO DEBE REPRODUCIRSE, EXCEPTO EN SU TOTALIDAD, SIN LA APROBACION POR ESCRITO DEL LABORATORIO  
DE QUÍMICA ULTRAPURA DEL INSTITUTO DE GEOLOGÍA DE LA UNAM

F/PTA-S/N



## INFORME INTERNO DE RESULTADOS

IGL/INF-LABQUP-06-2015

| Clave            | Concentración de Elementos Totales<br>(ug/g) |      |      |      |      |      |
|------------------|--|------|------|------|------|------|
|                  | Dy   | Ho   | Er   | Tm   | Yb   | Lu   |
| ADA-IIT2-E 25    | 3.99   | 0.84 | 2.45 | 0.36 | 2.49 | 0.39 |
| MD-ADA-IIT2-E 25 | 3.93   | 0.83 | 2.43 | 0.36 | 2.47 | 0.39 |
| ADA-MR-1A        | 3.68   | 0.74 | 2.00 | 0.29 | 1.81 | 0.29 |
| MD-ADA-MR-1A     | 3.85   | 0.76 | 2.09 | 0.29 | 1.91 | 0.29 |
| ADA-MR-3A        | 3.49   | 0.73 | 2.01 | 0.29 | 1.94 | 0.31 |
| ADA-MR-5A        | 4.34   | 0.89 | 2.48 | 0.34 | 2.32 | 0.34 |
| ADA-IT1E5        | 8.90   | 1.85 | 5.41 | 0.76 | 5.22 | 0.77 |
| ADA-IT1E25       | 7.76   | 1.63 | 4.77 | 0.68 | 4.69 | 0.71 |
| ADA-IT1E50       | 8.44   | 1.86 | 5.65 | 0.86 | 6.18 | 0.96 |
| ADA-IT2E 0-5     | 7.84   | 1.65 | 4.80 | 0.69 | 4.66 | 0.70 |
| ADA-IT2E 5-25    | 5.65   | 1.20 | 3.47 | 0.51 | 3.49 | 0.53 |
| ADA-MR-2A        | 4.64   | 0.98 | 2.79 | 0.41 | 2.72 | 0.42 |
| ADA-IT2E 25-50   | 4.21   | 0.90 | 2.61 | 0.39 | 2.69 | 0.41 |
| ADA-IT3E 0-5A    | 4.29   | 0.92 | 2.74 | 0.42 | 2.89 | 0.46 |
| ADA-IT3E 5-25    | 4.24   | 0.91 | 2.69 | 0.40 | 2.81 | 0.44 |
| ADA-IT3E 25-50   | 4.55   | 0.96 | 2.78 | 0.41 | 2.85 | 0.45 |
| ADA-IIT1-E 0-5   | 5.84   | 1.20 | 3.45 | 0.49 | 3.37 | 0.52 |
| ADA-IIT1-E 50    | 3.91   | 0.85 | 2.49 | 0.39 | 2.64 | 0.42 |
| ADA-IIT2-E 5     | 3.35   | 0.72 | 2.15 | 0.33 | 2.27 | 0.36 |
| ADA-IIT1-E 25    | 4.18   | 0.89 | 2.58 | 0.39 | 2.67 | 0.43 |



## INFORME INTERNO DE RESULTADOS

IGL/INF-LABQUP-06-2015

| Clave            | Concentración de Elementos Totales<br>(ug/g) |       |          |           |       |       |          |        |
|------------------|--|-------|----------|-----------|-------|-------|----------|--------|
|                  | Sb   | As    | Ba       | Ca        | Co    | Cr    | P        | Zn     |
| ADA-IIT2-E 25    | 9.90   | 5.79  | 850.87   | 20,687.28 | 13.67 | 58.80 | 1,760.26 | 134.79 |
| MD-ADA-IIT2-E 25 | 10.00  | 6.31  | 940.14   | 20,172.82 | 12.72 | 54.94 | 1,587.83 | 135.86 |
| ADA-MR-1A        | 7.77   | 19.93 | 908.12   | 56,660.74 | 10.41 | 54.15 | 2,682.94 | 101.69 |
| MD-ADA-MR-1A     | 7.33   | 18.22 | 865.55   | 62,802.87 | 10.93 | 61.74 | 2,656.75 | 92.84  |
| ADA-MR-3A        | 7.43   | 22.94 | 963.62   | 23,380.03 | 16.27 | 37.43 | 2,844.01 | 169.97 |
| ADA-MR-5A        | 5.89   | 20.64 | 786.19   | 32,918.29 | 13.33 | 24.13 | 2,811.65 | 140.43 |
| ADA-IT1E5        | 20.22  | 5.84  | 388.46   | 2,666.37  | 3.74  | 6.21  | 313.51   | 240.34 |
| ADA-IT1E25       | 16.35  | 6.68  | 435.95   | 4,489.76  | 6.85  | 12.41 | 323.23   | 234.82 |
| ADA-IT1E50       | 19.78  | 14.59 | 822.17   | 13,475.87 | 14.77 | 53.62 | 1,243.38 | 285.27 |
| ADA-IT2E 0-5     | 17.73  | 7.32  | 436.68   | 10,475.01 | 6.94  | 22.08 | 538.54   | 207.60 |
| ADA-IT2E 5-25    | 11.60  | 7.10  | 627.35   | 13,539.07 | 12.86 | 39.33 | 1,514.08 | 179.87 |
| ADA-MR-2A        | 6.88   | 10.88 | 371.11   | 12,153.11 | 12.06 | 14.74 | 1,363.20 | 154.30 |
| ADA-IT2E 25-50   | 12.16  | 7.19  | 508.09   | 6,855.53  | 13.23 | 41.18 | 1,206.29 | 264.89 |
| ADA-IT3E 0-5A    | 7.96   | 11.18 | 796.50   | 7,260.36  | 14.32 | 39.94 | 1,371.14 | 240.26 |
| ADA-IT3E 5-25    | 9.49   | 7.27  | 633.24   | 11,370.89 | 17.91 | 71.83 | 1,753.42 | 236.13 |
| ADA-IT3E 25-50   | 9.34   | 11.10 | 724.70   | 12,503.99 | 16.61 | 86.99 | 1,593.12 | 234.95 |
| ADA-IIT1-E 0-5   | 9.66   | 6.03  | 836.81   | 24,609.10 | 21.06 | 92.27 | 1,718.12 | 195.30 |
| ADA-IIT1-E 50    | 11.64  | 5.92  | 1,155.77 | 13,421.62 | 16.59 | 56.66 | 1,628.40 | 202.56 |
| ADA-IIT2-E 5     | 8.15   | 6.99  | 944.50   | 14,742.95 | 9.44  | 38.55 | 1,144.49 | 129.81 |
| ADA-IIT1-E 25    | 17.40  | 6.05  | 1,237.60 | 20,087.90 | 18.74 | 39.95 | 1,530.46 | 192.85 |



## INFORME INTERNO DE RESULTADOS

IGL/INF-LABQUP-06-2015

| Clave            | Concentración de Elementos Totales<br>(ug/g) |        |           |       |        |       |        |      |
|------------------|--|--------|-----------|-------|--------|-------|--------|------|
|                  | Cs   | Cu     | Fe        | Hf    | Rb     | Sc    | Sr     | Ta   |
| ADA-IIT2-E 25    | 11.90  | 111.27 | 66,379.50 | 6.15  | 170.16 | 9.22  | 218.61 | 1.47 |
| MD-ADA-IIT2-E 25 | 12.04  | 108.81 | 63,656.64 | 5.92  | 183.91 | 9.64  | 238.80 | 1.53 |
| ADA-MR-1A        | 11.29  | 184.69 | 86,743.03 | 4.28  | 108.68 | 8.36  | 288.53 | 0.96 |
| MD-ADA-MR-1A     | 11.84  | 184.89 | 91,582.12 | 4.88  | 110.59 | 8.66  | 298.25 | 0.98 |
| ADA-MR-3A        | 28.23  | 625.50 | 87,707.55 | 5.48  | 116.59 | 9.84  | 196.82 | 1.25 |
| ADA-MR-5A        | 27.40  | 824.02 | 83,841.28 | 4.06  | 124.07 | 12.83 | 261.69 | 0.92 |
| ADA-IT1E5        | 25.57  | 78.19  | 21,603.09 | 8.04  | 268.66 | 5.95  | 44.41  | 2.88 |
| ADA-IT1E25       | 24.74  | 166.27 | 26,906.36 | 7.56  | 267.57 | 6.77  | 63.36  | 2.41 |
| ADA-IT1E50       | 30.98  | 302.79 | 74,744.91 | 11.59 | 251.52 | 7.69  | 79.24  | 3.24 |
| ADA-IT2E 0-5     | 19.82  | 182.75 | 34,943.33 | 7.15  | 229.24 | 8.34  | 101.56 | 2.19 |
| ADA-IT2E 5-25    | 15.62  | 514.40 | 56,962.94 | 6.64  | 199.35 | 10.40 | 130.36 | 1.71 |
| ADA-MR-2A        | 11.80  | 479.21 | 53,003.37 | 3.85  | 128.45 | 6.55  | 91.36  | 1.01 |
| ADA-IT2E 25-50   | 15.51  | 302.05 | 42,747.56 | 5.65  | 195.99 | 5.60  | 77.48  | 1.61 |
| ADA-IT3E 0-5A    | 14.24  | 246.54 | 43,363.81 | 6.33  | 269.97 | 9.12  | 154.24 | 1.41 |
| ADA-IT3E 5-25    | 15.06  | 233.32 | 58,465.07 | 6.46  | 176.84 | 9.26  | 137.70 | 1.51 |
| ADA-IT3E 25-50   | 13.30  | 201.91 | 57,967.24 | 6.51  | 218.32 | 10.28 | 181.50 | 1.61 |
| ADA-IIT1-E 0-5   | 12.32  | 163.41 | 69,955.43 | 7.14  | 158.79 | 10.40 | 210.29 | 1.77 |
| ADA-IIT1-E 50    | 14.67  | 186.81 | 59,370.13 | 6.45  | 185.99 | 5.89  | 142.98 | 1.62 |
| ADA-IIT2-E 5     | 9.28   | 86.98  | 37,592.94 | 5.70  | 222.46 | 6.82  | 187.95 | 1.29 |
| ADA-IIT1-E 25    | 12.95  | 138.62 | 67,107.91 | 6.97  | 190.68 | 5.07  | 214.87 | 1.62 |



## INFORME INTERNO DE RESULTADOS

IGL/INF-LABQUP-06-2015

| Clave            | Concentración de Elementos Totales<br>(ug/g) |          |       |       |       |           |        |        |
|------------------|--|----------|-------|-------|-------|-----------|--------|--------|
|                  | Mg   | Mn       | Mo    | Nb    | Ni    | K         | Pb     | Zr     |
| ADA-IIT2-E 25    | 14,716.93                                    | 1,749.50 | 3.32  | 17.01 | 20.48 | 40,538.71 | 77.58  | 202.09 |
| MD-ADA-IIT2-E 25 | 14,828.71                                    | 1,680.70 | 3.78  | 17.45 | 19.78 | 40,027.88 | 86.42  | 191.88 |
| ADA-MR-1A        | 13,468.32                                    | 702.72   | 2.61  | 11.15 | 20.82 | 24,832.63 | 89.42  | 148.51 |
| MD-ADA-MR-1A     | 13,072.05                                    | 721.27   | 2.97  | 12.09 | 20.66 | 22,860.97 | 94.96  | 166.91 |
| ADA-MR-3A        | 18,190.23                                    | 707.76   | 5.87  | 13.21 | 24.24 | 24,560.71 | 84.05  | 171.13 |
| ADA-MR-5A        | 18,428.14                                    | 678.07   | 3.08  | 10.04 | 18.44 | 23,407.81 | 68.41  | 128.09 |
| ADA-IT1E5        | 6,068.30                                     | 1,897.43 | 35.75 | 31.53 | 2.21  | > C. C.   | 638.00 | 223.13 |
| ADA-IT1E25       | 6,669.44                                     | 1,773.70 | 19.41 | 26.81 | 4.71  | 42,696.98 | 463.88 | 213.66 |
| ADA-IT1E50       | 10,979.64                                    | 2,708.20 | 10.88 | 35.49 | 18.86 | > C. C.   | 168.74 | 328.73 |
| ADA-IT2E 0-5     | 7,581.86                                     | 1,574.00 | 20.23 | 24.51 | 8.26  | 39,161.40 | 358.35 | 201.36 |
| ADA-IT2E 5-25    | 14,112.67                                    | 1,649.54 | 6.78  | 18.88 | 17.65 | 39,415.90 | 198.87 | 202.11 |
| ADA-MR-2A        | #VALOR!                                      | 1,440.13 | 30.67 | 10.71 | 11.69 | 20,561.29 | 67.52  | 120.46 |
| ADA-IT2E 25-50   | 13,090.01                                    | 1,238.14 | 9.22  | 18.04 | 19.61 | 33,728.27 | 435.58 | 168.00 |
| ADA-IT3E 0-5A    | 15,149.05                                    | 1,088.03 | 4.50  | 14.18 | 23.58 | 52,675.55 | 168.20 | 194.36 |
| ADA-IT3E 5-25    | 18,113.97                                    | 1,526.50 | 4.99  | 16.43 | 31.35 | 41,746.96 | 158.34 | 199.00 |
| ADA-IT3E 25-50   | 16,074.51                                    | 1,414.44 | 3.86  | 17.34 | 28.91 | 42,114.17 | 189.66 | 207.55 |
| ADA-IIT1-E 0-5   | 12,218.43                                    | 1,824.69 | 5.29  | 19.57 | 29.50 | 32,747.54 | 129.99 | 217.64 |
| ADA-IIT1-E 50    | 19,392.87                                    | 1,727.01 | 4.37  | 17.02 | 27.98 | 39,347.26 | 164.07 | 196.67 |
| ADA-IIT2-E 5     | 9,678.34                                     | 942.11   | 2.12  | 12.70 | 16.37 | 46,149.26 | 111.02 | 178.62 |
| ADA-IIT1-E 25    | 18,341.60                                    | 2,785.41 | 4.36  | 17.59 | 27.24 | 39,373.16 | 162.92 | 214.65 |

ESTOS RESULTADOS AMPARAN UNICAMENTE LAS MUESTRAS PROBADAS, SIN QUE ESTAS SEAN REPRESENTATIVAS DE UN UNIVERSO O LOTE.  
EL PRESENTE INFORME DE PRUEBA NO DEBE REPRODUCIRSE, EXCEPTO EN SU TOTALIDAD, SIN LA APROBACION POR ESCRITO DEL LABORATORIO  
DE QUÍMICA ULTRAPURA DEL INSTITUTO DE GEOLOGÍA DE LA UNAM

F/PTA-S/N



## INFORME INTERNO DE RESULTADOS

IGL/INF-LABQUP-06-2015

| Clave            | Concentración de Elementos Totales<br>(ug/g) |       |      |       |
|------------------|--|-------|------|-------|
|                  | Sn   | Th    | U    | Y     |
| ADA-IIT2-E 25    | 3.50   | 14.09 | 3.98 | 23.42 |
| MD-ADA-IIT2-E 25 | 3.45   | 14.24 | 4.06 | 23.40 |
| ADA-MR-1A        | 1.91   | 11.65 | 3.47 | 20.25 |
| MD-ADA-MR-1A     | 2.10   | 12.46 | 3.71 | 21.13 |
| ADA-MR-3A        | 2.60   | 13.60 | 5.41 | 19.11 |
| ADA-MR-5A        | 2.00   | 15.82 | 5.16 | 24.65 |
| ADA-IT1E5        | 3.90   | 23.14 | 6.29 | 57.45 |
| ADA-IT1E25       | 3.71   | 21.23 | 5.70 | 51.38 |
| ADA-IT1E50       | 6.44   | 19.50 | 5.19 | 50.46 |
| ADA-IT2E 0-5     | 3.80   | 23.08 | 5.76 | 51.58 |
| ADA-IT2E 5-25    | 3.61   | 17.06 | 4.47 | 35.86 |
| ADA-MR-2A        | 3.06   | 13.96 | 5.33 | 32.16 |
| ADA-IT2E 25-50   | 3.22   | 9.83  | 4.65 | 28.33 |
| ADA-IT3E 0-5A    | 4.06   | 17.37 | 4.52 | 29.96 |
| ADA-IT3E 5-25    | 3.43   | 12.84 | 3.87 | 27.41 |
| ADA-IT3E 25-50   | 3.36   | 16.64 | 4.83 | 30.15 |
| ADA-IIT1-E 0-5   | 3.59   | 18.29 | 4.71 | 35.68 |
| ADA-IIT1-E 50    | 4.30   | 9.65  | 3.78 | 23.12 |
| ADA-IIT2-E 5     | 2.63   | 14.94 | 3.94 | 22.87 |
| ADA-IIT1-E 25    | 4.37   | 11.27 | 4.84 | 24.56 |



## INFORME INTERNO DE RESULTADOS

IGL/INF-LABQUP-07-2015

| Área   | Identificación del Informe          |                                | Fecha de Emisión del informe |
|--|-------------------------------------|--------------------------------|------------------------------|
| LABQUP   | IGL/INF-LABQUP-07-2015              |                                | 15 Junio 2015                |
| Solicitante                                      | Procedimiento de Muestreo Utilizado |                                |                              |
| Dr. Francisco Martín Romero / Dra. Azucena Dotor | No reportado                        |                                |                              |
| Fecha de Recepción de Muestras                   | Periodo de Preparación de Muestras  | Número de Orden de trabajo/Año |                              |
| 04 mayo 2015                                     | 14 de mayo al 03 de junio de 2015   | 07/15                          |                              |
| Periodo de análisis                              | Equipo Utilizado                    |                                |                              |
| 08 junio 2015                                    | Q-ICP-MS Agilent 7500ce             |                                |                              |

**Métodos o Normas de Análisis Empleados****PROTOCOLO INTERNO DEL INSTITUTO DE GEOLOGÍA.****Referencias**

BITPER/LABQUP-01/67; BITPER/LABQUP-02/121-125; BITEQ/LABQUP-02/129; BITEQ/LABQUP-03/06-07

**Observaciones**

Nota: Los resultados corresponden a las muestras solicitadas con el formato "SOLICITUD-LABQUP ICPMS-OT-06 2015"

**CONTROLES DE CALIDAD:**

| Tipo             | Especificación   | Criterio            |
|------------------|--|---------------------|
| R-140515-1       | Blanco de reactivos (2% ácido nítrico tridestilado)                      | <LDM                |
| BM-140515-1      | Blanco de método (2% ácido nítrico tridestilado)                         | Depende del proceso |
| S-140515-1       | Estándar de verificación (concentración 25 ppb para todos los elementos) | ± 10%               |
| MD-ADA-23-8A     | Muestra duplicada  | DPR < 20%           |
| MD-ADA-IIT2-E 50 | Muestra duplicada  | DPR < 20%           |
| DPR              | Diferencia porcentual relativa   | < 20% para M y MD   |
| MRC-140515-1     | SBC-1 SHALE  | ± 10%               |
| MRC-140515-2     | SBC-1 SHALE  | ± 10%               |

Nota: \* &lt;LDM = Menor al límite de detección del método (LDM).

Nota: Los Valores de Sb y As son estimados puesto dichos elementos se puede perder cuando las muestras son digeridas a alta temperatura.

Nota: El usuario se compromete a dar los agradecimientos correspondientes, en cualquier artículo, tesis o trabajo que se derive de los resultados presentados, tanto al Laboratorio de Química Ultrapura e ICP-MS como al M en C Ernesto Hernández Mendiola por su trabajo realizado en la preparación y análisis de las muestras. Así mismo, el usuario se compromete a mandar una copia simple de dicho agradecimiento vía correo.

M. en C. Ernesto Hernández Mendiola  
Técnico Académico Titular "B".

Responsable del Laboratorio de Química Ultrapura (LABQUP) y de Q-ICP-MS.  
DEPTO. DE GEOQUÍMICA, INSTITUTO DE GEOLOGÍA, UNAM  
56224310 EXT 161, 230, 210; email: ernestohm@geologia.unam.mx; ernestohmen@gmail.com



## INFORME INTERNO DE RESULTADOS

IGL/INF-LABQUP-07-2015

| Clave            | Concentración de Elementos Totales<br>(ug/g) |       |      |       |      |      |      |      |
|------------------|--|-------|------|-------|------|------|------|------|
|                  | La   | Ce    | Pr   | Nd    | Sm   | Eu   | Gd   | Tb   |
| ADA-23-8A        | 32.07  | 59.56 | 7.09 | 26.86 | 5.28 | 1.27 | 5.14 | 0.71 |
| MD-ADA-23-8A     | 32.12  | 59.62 | 7.24 | 27.26 | 5.34 | 1.25 | 5.22 | 0.72 |
| ADA-IIT2-E 50    | 35.90  | 65.72 | 7.46 | 27.49 | 5.26 | 1.17 | 5.12 | 0.72 |
| MD-ADA-IIT2-E 50 | 34.65  | 63.63 | 7.19 | 26.44 | 5.04 | 1.16 | 5.03 | 0.69 |
| ADA-IIT3-E 5     | 32.05  | 52.41 | 6.83 | 25.06 | 4.66 | 1.14 | 4.44 | 0.59 |
| ADA-IIT3-E 25    | 30.32  | 54.83 | 6.47 | 23.85 | 4.46 | 1.10 | 4.35 | 0.57 |
| ADA-IIT3-E 50    | 31.76  | 55.04 | 6.67 | 24.39 | 4.55 | 1.16 | 4.45 | 0.60 |
| ADA-B1E 5        | 41.54  | 82.43 | 9.25 | 34.71 | 6.70 | 1.55 | 6.66 | 0.93 |
| ADA-B2E 0-5      | 38.43  | 67.93 | 8.50 | 31.85 | 6.06 | 1.48 | 5.88 | 0.76 |
| ADA-B3D 0-5      | 37.91  | 66.65 | 8.14 | 30.76 | 5.86 | 1.45 | 5.66 | 0.75 |
| ADA-S1D 0-5      | 34.09  | 59.78 | 7.35 | 27.59 | 5.27 | 1.33 | 5.08 | 0.69 |
| ADA-S1E 0-5      | 32.23  | 54.79 | 7.21 | 27.04 | 5.18 | 1.35 | 4.96 | 0.67 |
| ADA-S1F 0-5      | 37.66  | 68.79 | 8.24 | 31.11 | 5.97 | 1.43 | 5.85 | 0.80 |
| ADA-S2D 0-5      | 36.69  | 65.95 | 8.04 | 30.22 | 5.87 | 1.34 | 5.76 | 0.79 |
| ADA-S2E 0-5A     | 23.37  | 21.19 | 5.44 | 20.80 | 4.23 | 1.06 | 3.97 | 0.59 |
| ADA-S2F 0-5      | 32.72  | 56.14 | 6.73 | 24.81 | 4.72 | 1.18 | 4.75 | 0.64 |
| ADA-25-8A        | 30.91  | 59.14 | 6.76 | 25.38 | 4.92 | 1.17 | 4.79 | 0.66 |
| ADA-29-8A        | 25.01  | 49.03 | 5.70 | 21.73 | 4.30 | 1.09 | 4.07 | 0.57 |



## INFORME INTERNO DE RESULTADOS

IGL/INF-LABQUP-07-2015

| Clave            | Concentración de Elementos Totales<br>(ug/g) |      |      |      |      |      |
|------------------|--|------|------|------|------|------|
|                  | Dy   | Ho   | Er   | Tm   | Yb   | Lu   |
| ADA-23-8A        | 3.80   | 0.78 | 2.20 | 0.31 | 2.11 | 0.33 |
| MD-ADA-23-8A     | 3.89   | 0.80 | 2.26 | 0.32 | 2.18 | 0.33 |
| ADA-IIT2-E 50    | 3.93   | 0.84 | 2.40 | 0.36 | 2.41 | 0.39 |
| MD-ADA-IIT2-E 50 | 3.83   | 0.82 | 2.35 | 0.35 | 2.38 | 0.37 |
| ADA-IIT3-E 5     | 3.13   | 0.65 | 1.85 | 0.27 | 1.84 | 0.29 |
| ADA-IIT3-E 25    | 3.02   | 0.62 | 1.73 | 0.26 | 1.71 | 0.28 |
| ADA-IIT3-E 50    | 3.19   | 0.66 | 1.85 | 0.28 | 1.82 | 0.29 |
| ADA-B1E 5        | 5.11   | 1.04 | 2.93 | 0.42 | 2.77 | 0.42 |
| ADA-B2E 0-5      | 3.84   | 0.77 | 2.10 | 0.30 | 1.97 | 0.31 |
| ADA-B3D 0-5      | 3.90   | 0.79 | 2.19 | 0.32 | 2.10 | 0.33 |
| ADA-S1D 0-5      | 3.61   | 0.74 | 2.07 | 0.30 | 2.02 | 0.32 |
| ADA-S1E 0-5      | 3.51   | 0.72 | 2.01 | 0.30 | 1.97 | 0.31 |
| ADA-S1F 0-5      | 4.28   | 0.88 | 2.46 | 0.36 | 2.36 | 0.37 |
| ADA-S2D 0-5      | 4.19   | 0.86 | 2.43 | 0.35 | 2.36 | 0.37 |
| ADA-S2E 0-5A     | 3.33   | 0.70 | 1.98 | 0.30 | 2.05 | 0.33 |
| ADA-S2F 0-5      | 3.39   | 0.70 | 1.97 | 0.29 | 1.93 | 0.31 |
| ADA-25-8A        | 3.53   | 0.73 | 2.07 | 0.30 | 2.02 | 0.31 |
| ADA-29-8A        | 3.03   | 0.62 | 1.71 | 0.25 | 1.65 | 0.26 |



## INFORME INTERNO DE RESULTADOS

IGL/INF-LABQUP-07-2015

| Clave            | Concentración de Elementos Totales<br>(ug/g) |      |          |            |       |       |          |        |
|------------------|--|------|----------|------------|-------|-------|----------|--------|
|                  | Sb   | As   | Ba       | Ca         | Co    | Cr    | P        | Zn     |
| ADA-23-8A        | 9.56   | 7.28 | 862.42   | 20,921.58  | 11.62 | 49.34 | 2,308.77 | 174.89 |
| MD-ADA-23-8A     | 8.14   | 7.33 | 838.75   | 20,330.85  | 10.75 | 47.44 | 2,207.15 | 162.84 |
| ADA-IIT2-E 50    | 9.17   | 7.63 | 975.87   | 20,944.50  | 9.79  | 48.34 | 2,108.43 | 170.37 |
| MD-ADA-IIT2-E 50 | 8.60   | 7.58 | 990.17   | 18,710.91  | 8.87  | 47.82 | 1,845.37 | 157.28 |
| ADA-IIT3-E 5     | 8.11   | 4.71 | 966.68   | 14,686.02  | 12.31 | 38.03 | 1,520.53 | 105.88 |
| ADA-IIT3-E 25    | 8.63   | 3.65 | 969.40   | 15,623.30  | 14.55 | 40.80 | 1,846.00 | 135.58 |
| ADA-IIT3-E 50    | 8.88   | 4.13 | 1,047.05 | 16,491.92  | 11.46 | 42.97 | 1,821.54 | 114.37 |
| ADA-B1E 5        | 10.20  | 6.25 | 980.25   | 24,705.61  | 17.72 | 78.97 | 2,767.54 | 146.60 |
| ADA-B2E 0-5      | 8.09   | 2.21 | 1,151.22 | 104,938.76 | 13.81 | 47.60 | 2,478.57 | 70.14  |
| ADA-B3D 0-5      | 5.33   | 4.90 | 972.29   | 59,897.49  | 14.96 | 50.83 | 3,153.74 | 63.62  |
| ADA-S1D 0-5      | 4.83   | 3.10 | 941.44   | 48,372.85  | 12.03 | 28.68 | 2,269.75 | 55.57  |
| ADA-S1E 0-5      | 4.63   | 1.93 | 1,027.22 | 54,986.53  | 10.31 | 19.88 | 2,640.56 | 47.16  |
| ADA-S1F 0-5      | 4.78   | 3.13 | 950.09   | 59,113.72  | 12.99 | 40.13 | 2,749.73 | 64.07  |
| ADA-S2D 0-5      | 4.70   | 3.22 | 864.79   | 49,992.96  | 9.11  | 33.05 | 2,189.03 | 51.32  |
| ADA-S2E 0-5A     | 7.29   | 1.77 | 803.59   | 48,165.54  | 9.52  | 37.83 | 2,333.10 | 52.02  |
| ADA-S2F 0-5      | 4.54   | 1.64 | 916.96   | 45,657.96  | 6.90  | 16.00 | 2,130.48 | 43.70  |
| ADA-25-8A        | 7.35   | 6.10 | 852.16   | 29,551.32  | 8.17  | 43.88 | 2,499.67 | 87.91  |
| ADA-29-8A        | 7.65   | 8.22 | 843.00   | 13,850.95  | 7.52  | 55.79 | 2,417.88 | 85.61  |



## INFORME INTERNO DE RESULTADOS

IGL/INF-LABQUP-07-2015

| Clave            | Concentración de Elementos Totales<br>(ug/g) |        |           |      |        |       |        |      |
|------------------|--|--------|-----------|------|--------|-------|--------|------|
|                  | Cs   | Cu     | Fe        | Hf   | Rb     | Sc    | Sr     | Ta   |
| ADA-23-8A        | 14.06  | 458.23 | 68,537.82 | 5.20 | 117.65 | 10.45 | 296.37 | 1.12 |
| MD-ADA-23-8A     | 13.90  | 436.17 | 63,010.09 | 4.67 | 112.94 | 10.05 | 284.57 | 1.08 |
| ADA-IIT2-E 50    | 13.02  | 162.94 | 72,320.48 | 5.34 | 177.51 | 10.46 | 247.51 | 1.27 |
| MD-ADA-IIT2-E 50 | 13.31  | 160.67 | 69,885.59 | 5.17 | 152.86 | 8.76  | 220.44 | 1.33 |
| ADA-IIT3-E 5     | 10.22  | 182.66 | 44,178.02 | 4.49 | 148.14 | 8.00  | 267.58 | 1.11 |
| ADA-IIT3-E 25    | 11.24  | 234.63 | 50,599.40 | 4.38 | 148.07 | 8.34  | 278.08 | 0.96 |
| ADA-IIT3-E 50    | 10.52  | 178.92 | 48,693.28 | 4.69 | 160.79 | 8.82  | 305.28 | 1.00 |
| ADA-B1E 5        | 18.18  | 172.83 | 72,962.39 | 7.22 | 133.48 | 12.74 | 351.90 | 1.40 |
| ADA-B2E 0-5      | 12.81  | 44.75  | 57,797.00 | 4.93 | 97.44  | 8.94  | 520.41 | 0.95 |
| ADA-B3D 0-5      | 10.47  | 34.18  | 61,693.58 | 5.88 | 103.99 | 10.52 | 620.01 | 1.05 |
| ADA-S1D 0-5      | 11.81  | 33.44  | 48,659.14 | 5.17 | 119.33 | 8.61  | 532.47 | 0.73 |
| ADA-S1E 0-5      | 12.33  | 42.64  | 42,871.37 | 4.95 | 131.61 | 8.85  | 631.66 | 1.03 |
| ADA-S1F 0-5      | 12.93  | 48.72  | 65,928.30 | 5.22 | 123.94 | 10.35 | 591.89 | 0.98 |
| ADA-S2D 0-5      | 11.81  | 28.55  | 50,405.72 | 4.56 | 114.80 | 9.11  | 492.90 | 1.04 |
| ADA-S2E 0-5A     | 9.17   | 31.98  | 48,286.70 | 4.43 | 85.08  | 7.76  | 376.34 | 1.31 |
| ADA-S2F 0-5      | 11.10  | 22.30  | 35,205.45 | 4.14 | 132.38 | 6.80  | 547.05 | 1.08 |
| ADA-25-8A        | 13.62  | 199.27 | 68,350.98 | 5.38 | 127.70 | 10.51 | 301.87 | 1.01 |
| ADA-29-8A        | 13.20  | 133.35 | 73,215.02 | 4.30 | 129.40 | 8.85  | 263.79 | 1.11 |



## INFORME INTERNO DE RESULTADOS

IGL/INF-LABQUP-07-2015

| Clave            | Concentración de Elementos Totales<br>(ug/g) |          |      |       |       |           |        |        |
|------------------|--|----------|------|-------|-------|-----------|--------|--------|
|                  | Mg   | Mn       | Mo   | Nb    | Ni    | K         | Pb     | Zr     |
| ADA-23-8A        | 15,008.51                                    | 662.23   | 2.09 | 14.67 | 19.38 | 29,411.35 | 65.25  | 177.13 |
| MD-ADA-23-8A     | 14,643.47                                    | 592.84   | 2.84 | 13.55 | 17.79 | 26,898.65 | 62.10  | 157.69 |
| ADA-IIT2-E 50    | 15,074.02                                    | 1,005.78 | 3.30 | 15.81 | 17.94 | 41,405.16 | 113.48 | 177.40 |
| MD-ADA-IIT2-E 50 | 14,453.32                                    | 958.28   | 3.17 | 15.99 | 17.04 | 38,905.76 | 115.62 | 172.30 |
| ADA-IIT3-E 5     | 11,927.60                                    | 951.98   | 2.01 | 12.33 | 15.71 | 34,395.08 | 61.62  | 151.08 |
| ADA-IIT3-E 25    | 14,581.03                                    | 1,284.52 | 2.25 | 11.43 | 19.71 | 34,115.52 | 82.53  | 148.57 |
| ADA-IIT3-E 50    | 13,075.88                                    | 1,058.30 | 2.27 | 11.94 | 20.19 | 39,516.61 | 67.20  | 158.56 |
| ADA-B1E 5        | 19,351.48                                    | 1,566.66 | 2.60 | 18.47 | 25.18 | 30,889.99 | 95.91  | 247.92 |
| ADA-B2E 0-5      | 18,538.50                                    | 1,094.84 | 1.18 | 13.85 | 25.33 | 28,495.62 | 35.23  | 172.73 |
| ADA-B3D 0-5      | 21,916.17                                    | 933.95   | 1.32 | 14.41 | 26.36 | 31,761.11 | 24.06  | 213.58 |
| ADA-S1D 0-5      | 16,570.59                                    | 790.11   | 1.09 | 11.52 | 19.41 | 35,069.25 | 24.96  | 179.08 |
| ADA-S1E 0-5      | 17,982.41                                    | 752.69   | 0.91 | 13.02 | 16.07 | 37,958.83 | 20.52  | 174.22 |
| ADA-S1F 0-5      | 19,064.63                                    | 906.55   | 1.17 | 15.82 | 20.31 | 34,119.49 | 25.25  | 181.35 |
| ADA-S2D 0-5      | 16,202.59                                    | 690.06   | 1.18 | 15.23 | 14.51 | 29,907.63 | 23.66  | 161.34 |
| ADA-S2E 0-5A     | 15,324.95                                    | 702.02   | 1.34 | 16.89 | 15.66 | 30,938.67 | 19.42  | 148.87 |
| ADA-S2F 0-5      | 12,666.26                                    | 662.84   | 1.01 | 12.95 | 11.14 | 34,840.47 | 23.69  | 143.79 |
| ADA-25-8A        | 15,722.51                                    | 590.93   | 1.84 | 13.72 | 15.60 | 30,308.80 | 57.72  | 183.06 |
| ADA-29-8A        | 15,189.95                                    | 543.19   | 2.57 | 13.59 | 14.94 | 30,335.99 | 59.72  | 146.89 |



## INFORME INTERNO DE RESULTADOS

IGL/INF-LABQUP-07-2015

| Clave            | Concentración de Elementos Totales<br>(ug/g) |       |      |       |
|------------------|--|-------|------|-------|
|                  | Sn   | Th    | U    | Y     |
| ADA-23-8A        | 2.18   | 15.21 | 4.09 | 21.34 |
| MD-ADA-23-8A     | 1.97   | 16.48 | 4.09 | 21.85 |
| ADA-IIT2-E 50    | 3.64   | 13.82 | 3.85 | 22.74 |
| MD-ADA-IIT2-E 50 | 2.84   | 13.65 | 3.62 | 21.61 |
| ADA-IIT3-E 5     | 2.12   | 15.20 | 3.75 | 17.93 |
| ADA-IIT3-E 25    | 2.28   | 14.88 | 3.92 | 16.63 |
| ADA-IIT3-E 50    | 2.17   | 15.20 | 3.97 | 18.35 |
| ADA-B1E 5        | 3.09   | 17.32 | 4.78 | 29.17 |
| ADA-B2E 0-5      | 1.58   | 9.85  | 2.58 | 21.57 |
| ADA-B3D 0-5      | 1.77   | 10.26 | 2.94 | 22.29 |
| ADA-S1D 0-5      | 1.03   | 9.93  | 2.74 | 20.98 |
| ADA-S1E 0-5      | 1.44   | 10.36 | 2.49 | 21.83 |
| ADA-S1F 0-5      | 1.60   | 10.30 | 2.79 | 26.92 |
| ADA-S2D 0-5      | 1.44   | 11.13 | 2.96 | 26.23 |
| ADA-S2E 0-5A     | 1.93   | 4.23  | 0.81 | 20.14 |
| ADA-S2F 0-5      | 1.49   | 10.77 | 2.76 | 21.92 |
| ADA-25-8A        | 1.77   | 12.90 | 3.74 | 21.93 |
| ADA-29-8A        | 4.84   | 11.09 | 3.33 | 17.17 |



## INFORME INTERNO DE RESULTADOS

IGL/INF-LABQUP-15-2015

| Área  | Identificación del Informe   |                            | Fecha de Emisión del informe |  |  |  |
|---|--|----------------------------|------------------------------|--|--|--|
| LABQUP  | IGL/INF-LABQUP-15-2015   |                            | 05 Octubre 2015              |  |  |  |
| Solicitante   | Procedimiento de Muestreo Utilizado                                      |                            |                              |  |  |  |
| Dr. Francisco Martín Romero / Dra. Azucena Dotor  | No reportado   |                            |                              |  |  |  |
| Fecha de Recepción de Muestras  | Periodo de Preparación de Muestras                                       | Número de Orden de trabajo |                              |  |  |  |
| 03 JULIO 2015   | 30 de julio al 10 de septiembre de 2015                                  | 15/15                      |                              |  |  |  |
| Periodo de análisis   | Equipo Utilizado   |                            |                              |  |  |  |
| 17 DE SEPTIEMBRE  | Q-ICP-MS Agilent 7500ce  |                            |                              |  |  |  |
| Métodos o Normas de Análisis Empleados  |  |                            |                              |  |  |  |
| PROTOCOLO INTERNO DEL INSTITUTO DE GEOLOGÍA.  |  |                            |                              |  |  |  |
| Referencias   |  |                            |                              |  |  |  |
| BITPER/LABQUP-02/136-137; BITEQ/LABQUP-02/129; BITEQ/LABQUP-03/06-07  |  |                            |                              |  |  |  |
| Observaciones   |  |                            |                              |  |  |  |
| Nota: Los resultados corresponden a las muestras solicitadas con el formato "SOLICITUD-LABQUP ICPMS-OT-15 2015" |  |                            |                              |  |  |  |
| CONTROLES DE CALIDAD:   |  |                            |                              |  |  |  |
| Tipo  | Especificación   | Criterio                   |                              |  |  |  |
| R-300715-1  | Blanco de reactivos (2% ácido nítrico tridestilado)                      | < LDM                      |                              |  |  |  |
| BM-300715-1   | Blanco de método (2% ácido nítrico tridestilado)                         | Depende del proceso        |                              |  |  |  |
| S-300715-1  | Estándar de verificación (concentración 25 ppb para todos los elementos) | ± 10%                      |                              |  |  |  |
| ADA-MD-R1   | Muestra duplicada  | DPR < 20%                  |                              |  |  |  |
| DPR   | Diferencia porcentual relativa   | < 20% para M y MD          |                              |  |  |  |
| MRC-140515-1  | SBC-1 SHALE  | ± 10%                      |                              |  |  |  |

Nota: \* &lt;LDM = Menor al límite de detección del método (LDM).

Nota: El usuario se compromete a dar los agradecimientos correspondientes, en cualquier artículo, tesis o trabajo que se derive de los resultados presentados, tanto al Laboratorio de Química Ultrapura e ICP-MS como al M en C Ernesto Hernández Mendiola por su trabajo realizado en la preparación y análisis de las muestras. Así mismo, el usuario se compromete a mandar una copia simple de dicho agradecimiento vía correo.

M. en C. Ernesto Hernández Mendiola  
Técnico Académico Titular "B".

Responsable del Laboratorio de Química Ultrapura (LABQUP) y de Q-ICP-MS.  
DEPTO. DE GEOQUÍMICA, INSTITUTO DE GEOLOGÍA, UNAM  
56224310 EXT 161, 230, 210; email: ernestohm@geologia.unam.mx; ernestohmen@gmail.com



## INFORME INTERNO DE RESULTADOS

IGL/INF-LABQUP-15-2015

| Clave        | Concentración de Elementos Totales<br>(ug/g) |        |       |       |       |      |       |      |
|--------------|--|--------|-------|-------|-------|------|-------|------|
|              | La   | Ce     | Pr    | Nd    | Sm    | Eu   | Gd    | Tb   |
| R1           | 14.13  | 23.65  | 2.06  | 6.52  | 0.86  | 0.29 | 0.71  | 0.05 |
| MD-R1        | 13.87  | 24.70  | 2.12  | 6.73  | 0.90  | 0.29 | 0.72  | 0.05 |
| R2           | 49.24  | 96.92  | 11.07 | 40.94 | 7.13  | 1.65 | 6.78  | 0.79 |
| R3-A         | 54.94  | 110.36 | 14.07 | 57.20 | 11.64 | 3.00 | 11.29 | 1.57 |
| R3-B         | 62.49  | 125.29 | 15.90 | 64.06 | 13.01 | 3.44 | 12.54 | 1.75 |
| R3-C         | 43.73  | 84.81  | 10.58 | 42.42 | 8.50  | 2.39 | 8.33  | 1.15 |
| R4           | 47.86  | 87.97  | 10.62 | 39.10 | 7.18  | 1.76 | 6.96  | 0.88 |
| R5           | 81.59  | 145.61 | 14.50 | 44.71 | 6.69  | 1.00 | 7.24  | 0.78 |
| R STA ISABEL | 52.65  | 109.74 | 12.76 | 46.12 | 8.39  | 1.04 | 7.59  | 0.99 |
| RSQ-1-BLANCA | 64.36  | 112.54 | 10.93 | 34.30 | 5.47  | 0.67 | 5.48  | 0.64 |
| RAC-1-BLANCA | 11.14  | 23.96  | 3.39  | 15.88 | 3.95  | 1.03 | 3.73  | 0.58 |
| RMO-1        | 25.54  | 52.30  | 6.58  | 27.29 | 5.81  | 2.14 | 5.52  | 0.77 |
| IT2A-5       | 39.19  | 83.21  | 9.19  | 34.51 | 6.69  | 1.36 | 6.41  | 0.88 |
| IT2I-5       | 37.19  | 70.37  | 7.74  | 27.99 | 5.29  | 1.29 | 5.22  | 0.73 |
| IIT2A-0-5    | 41.49  | 79.98  | 9.25  | 34.43 | 6.77  | 1.50 | 6.66  | 0.93 |
| IIT2I-0-5    | 42.11  | 85.82  | 9.64  | 36.39 | 7.16  | 1.52 | 7.08  | 1.00 |
| B2A-5        | 35.41  | 66.20  | 7.99  | 30.22 | 5.91  | 1.32 | 5.67  | 0.78 |



## INFORME INTERNO DE RESULTADOS

IGL/INF-LABQUP-15-2015

| Clave        | Concentración de Elementos Totales<br>(ug/g) |      |      |      |      |      |
|--------------|--|------|------|------|------|------|
|              | Dy   | Ho   | Er   | Tm   | Yb   | Lu   |
| R1           | 0.19   | 0.04 | 0.15 | 0.02 | 0.17 | 0.02 |
| MD-R1        | 0.18   | 0.04 | 0.14 | 0.02 | 0.17 | 0.02 |
| R2           | 3.81   | 0.73 | 2.05 | 0.27 | 1.83 | 0.27 |
| R3-A         | 8.41   | 1.68 | 4.62 | 0.63 | 4.18 | 0.65 |
| R3-B         | 9.43   | 1.89 | 5.18 | 0.71 | 4.70 | 0.73 |
| R3-C         | 6.27   | 1.27 | 3.50 | 0.49 | 3.25 | 0.52 |
| R4           | 4.51   | 0.89 | 2.54 | 0.35 | 2.41 | 0.37 |
| R5           | 3.73   | 0.72 | 2.10 | 0.31 | 2.26 | 0.37 |
| R STA ISABEL | 5.19   | 1.01 | 2.90 | 0.41 | 2.76 | 0.41 |
| RSQ-1-BLANCA | 3.11   | 0.61 | 1.79 | 0.26 | 1.88 | 0.29 |
| RAC-1-BLANCA | 3.24   | 0.63 | 1.68 | 0.23 | 1.44 | 0.21 |
| RMO-1        | 4.20   | 0.84 | 2.28 | 0.31 | 2.01 | 0.31 |
| IT2A-5       | 4.78   | 0.98 | 2.76 | 0.39 | 2.65 | 0.41 |
| IT2I-5       | 4.13   | 0.87 | 2.57 | 0.39 | 2.69 | 0.43 |
| IIT2A-0-5    | 5.19   | 1.07 | 3.10 | 0.45 | 3.10 | 0.48 |
| IIT2I-0-5    | 5.57   | 1.13 | 3.20 | 0.46 | 3.10 | 0.48 |
| B2A-5        | 4.29   | 0.86 | 2.46 | 0.35 | 2.36 | 0.37 |



## INFORME INTERNO DE RESULTADOS

IGL/INF-LABQUP-15-2015

| Clave        | Concentración de Elementos Totales<br>(ug/g) |            |       |        |          |        |        |       |
|--------------|--|------------|-------|--------|----------|--------|--------|-------|
|              | Ba   | Ca         | Co    | Cr     | P        | Zn     | Sn     | Y     |
| R1           | 1,120.14                                     | 8,049.62   | 32.90 | 102.77 | 1,382.05 | 161.49 | 7.65   | 0.25  |
| MD-R1        | 1,196.93                                     | 7,915.89   | 30.13 | 96.29  | 1,465.43 | 168.65 | 8.02   | 0.32  |
| R2           | 1,667.67                                     | 37,377.02  | 34.68 | 44.67  | 3,394.96 | 269.86 | 1.41   | 19.05 |
| R3-A         | 1,068.19                                     | 74,354.66  | 36.97 | 41.66  | 5,332.07 | 246.12 | 0.91   | 44.19 |
| R3-B         | 1,279.96                                     | 79,477.06  | 32.40 | 38.65  | 4,248.78 | 279.57 | 0.41   | 49.64 |
| R3-C         | 994.30                                       | 122,191.83 | 40.25 | 32.71  | 3,794.45 | 352.15 | 0.43   | 33.45 |
| R4           | 1,286.49                                     | 67,106.88  | 15.21 | 24.19  | 3,511.13 | 216.60 | 2.65   | 24.70 |
| R5           | 1,068.65                                     | 5,641.43   | 13.76 | 0.84   | <LDM     | 184.84 | 2.91   | 19.84 |
| R STA ISABEL | 511.03                                       | 2,281.91   | 21.55 | 18.20  | 1,866.13 | 242.79 | 3.30   | 22.57 |
| RSQ-1-BLANCA | 292.99                                       | 6,115.16   | 2.20  | 0.88   | 46.65    | 44.36  | 100.60 | 15.81 |
| RAC-1-BLANCA | <LDM   | 27,444.52  | 42.38 | 249.37 | 510.74   | 326.23 | 0.41   | 16.80 |
| RMO-1        | 3,727.59                                     | 125,516.96 | 21.36 | 212.47 | 3,725.02 | 348.59 | 1.01   | 21.74 |
| IT2A-5       | 337.29                                       | 7,731.75   | 36.60 | 123.73 | 2,029.38 | 154.58 | 5.00   | 25.54 |
| IT2I-5       | 938.63                                       | 13,687.27  | 19.06 | 129.52 | 818.70   | 106.50 | 2.43   | 22.43 |
| IIT2A-0-5    | 1,051.13                                     | 23,326.09  | 13.05 | 42.76  | 1,353.83 | 95.09  | 3.98   | 29.17 |
| IIT2I-0-5    | 944.43                                       | 21,285.81  | 18.05 | 48.96  | 2,460.62 | 161.30 | 4.15   | 30.75 |
| B2A-5        | 928.28                                       | 59,380.02  | 9.89  | 35.79  | 5,011.58 | 64.48  | 0.20   | 23.66 |



## INFORME INTERNO DE RESULTADOS

IGL/INF-LABQUP-15-2015

| Clave        | Concentración de Elementos Totales<br>(ug/g) |           |            |       |        |       |          |      |
|--------------|--|-----------|------------|-------|--------|-------|----------|------|
|              | Cs   | Cu        | Fe         | Hf    | Rb     | Sc    | Sr       | Ta   |
| R1           | 0.39   | 17.68     | 3,690.42   | 3.30  | 3.42   | 3.58  | 927.26   | 0.41 |
| MD-R1        | 0.39   | 18.75     | 3,726.65   | 2.87  | 3.48   | 3.29  | 896.19   | 0.35 |
| R2           | 6.59   | 55.92     | 52,197.78  | 6.85  | 145.50 | 10.32 | 620.20   | 0.49 |
| R3-A         | 11.96  | 25.21     | 113,301.74 | 9.33  | 34.61  | 17.15 | 777.04   | 0.63 |
| R3-B         | 12.23  | 33.73     | 122,415.14 | 11.08 | 33.20  | 18.47 | 833.79   | 0.62 |
| R3-C         | 19.98  | 24.41     | 97,675.47  | 7.87  | 28.64  | 12.77 | 2,607.63 | 0.65 |
| R4           | 10.76  | 29.14     | 55,541.09  | 6.35  | 117.96 | 8.60  | 1,131.06 | 0.99 |
| R5           | 15.73  | 19.37     | 52,464.65  | 4.46  | 323.35 | 1.88  | 194.32   | 1.39 |
| R STA ISABEL | 4.83   | 58,709.43 | 81,528.51  | 3.82  | 181.47 | 6.00  | 123.97   | 0.77 |
| RSQ-1-BLANCA | 6.35   | 4.62      | 27,408.73  | 4.07  | 248.54 | 1.63  | 71.77    | 1.48 |
| RAC-1-BLANCA | 2.90   | 2.07      | 73,230.82  | 1.69  | 36.75  | 22.95 | 62.40    | 0.36 |
| RMO-1        | 5.38   | 142.29    | 80,927.27  | 4.41  | 163.76 | 23.78 | 982.03   | 0.58 |
| IT2A-5       | 20.09  | 357.79    | 84,765.22  | 8.57  | 180.70 | 17.88 | 126.96   | 1.27 |
| IT2I-5       | 11.40  | 375.00    | 96,811.42  | 6.87  | 186.10 | 13.93 | 287.22   | 0.29 |
| IIT2A-0-5    | 17.43  | 103.87    | 65,320.30  | 5.26  | 177.37 | 9.49  | 256.73   | 0.87 |
| IIT2I-0-5    | 24.59  | 194.91    | 62,561.65  | 5.83  | 184.51 | 12.15 | 297.35   | 1.42 |
| B2A-5        | 16.26  | 37.99     | 45,291.53  | 3.67  | 104.29 | 7.16  | 551.51   | 0.44 |



## INFORME INTERNO DE RESULTADOS

IGL/INF-LABQUP-15-2015

| Clave        | Concentración de Elementos Totales<br>(ug/g) |           |       |       |        |           |          |        |
|--------------|--|-----------|-------|-------|--------|-----------|----------|--------|
|              | Mg   | Mn        | Mo    | Nb    | Ni     | K         | Pb       | Zr     |
| R1           | 221.13                                       | 24.32     | 3.76  | 6.90  | 1.91   | 46,949.39 | 65.48    | 108.38 |
| MD-R1        | 235.50                                       | 24.95     | 3.72  | 6.54  | 1.97   | 46,119.44 | 64.25    | 103.84 |
| R2           | 34,301.78                                    | 978.12    | 2.15  | 10.44 | 28.44  | 41,617.33 | 27.80    | 217.71 |
| R3-A         | 50,098.37                                    | 1,362.51  | 1.28  | 13.83 | 42.47  | 17,557.90 | 13.13    | 384.02 |
| R3-B         | 38,217.21                                    | 1,942.92  | 1.39  | 13.79 | 35.04  | 23,167.73 | 15.35    | 440.02 |
| R3-C         | 34,694.68                                    | 1,910.87  | 0.77  | 13.16 | 33.82  | 14,455.03 | 14.59    | 309.90 |
| R4           | 21,855.44                                    | 903.19    | 1.09  | 14.39 | 26.50  | 38,410.84 | 26.66    | 212.81 |
| R5           | 3,674.50                                     | 11,178.86 | 1.42  | 18.10 | 0.60   | 64,734.93 | 104.11   | 96.42  |
| R STA.ISABEL | 4,184.19                                     | 176.32    | 13.56 | 8.16  | 22.89  | 31,760.38 | 9,312.58 | 95.48  |
| RSQ-1-BLANCA | 2,089.22                                     | 325.57    | 1.39  | 28.93 | <LDM   | 48,796.14 | 31.37    | 85.43  |
| RAC-1-BLANCA | 73,271.70                                    | 3,646.55  | 0.78  | 3.79  | 294.34 | 4,682.19  | 213.40   | 32.72  |
| RMO-1        | 32,275.79                                    | 1,827.80  | 0.73  | 12.79 | 85.81  | 46,389.22 | 9.32     | 148.98 |
| IT2A-5       | 38,859.66                                    | 1,375.69  | 11.72 | 15.36 | 90.85  | 29,925.02 | 61.46    | 279.02 |
| IT2I-5       | 16,568.80                                    | 1,318.83  | 4.34  | 5.06  | 38.37  | 41,408.66 | 113.33   | 215.45 |
| IIT2A-0-5    | 13,489.93                                    | 1,818.42  | 7.01  | 19.61 | 20.95  | 40,493.99 | 82.58    | 155.47 |
| IIT2I-0-5    | 24,727.71                                    | 2,214.97  | 3.61  | 17.07 | 33.47  | 39,710.11 | 130.40   | 180.33 |
| B2A-5        | 18,528.35                                    | 962.76    | 1.51  | 3.95  | 25.59  | 29,181.54 | 34.11    | 135.55 |



## INFORME INTERNO DE RESULTADOS

IGL/INF-LABQUP-15-2015

| Clave        | Concentración de Elementos Totales<br>(ug/g) |      |  |  |  |
|--------------|--|------|--|--|--|
|              | Th   | U    |  |  |  |
| R1           | 7.68   | 1.02 |  |  |  |
| MD-R1        | 7.33   | 0.90 |  |  |  |
| R2           | 25.06  | 5.37 |  |  |  |
| R3-A         | 4.32   | 1.19 |  |  |  |
| R3-B         | 4.81   | 1.91 |  |  |  |
| R3-C         | 3.19   | 2.36 |  |  |  |
| R4           | 16.76  | 5.19 |  |  |  |
| R5           | 47.95  | 5.70 |  |  |  |
| R.STA.ISABEL | 27.12  | 6.54 |  |  |  |
| RSQ-1-BLANCA | 42.24  | 6.16 |  |  |  |
| RAC-1-BLANCA | 2.15   | 2.02 |  |  |  |
| RMO-1        | 5.63   | 2.68 |  |  |  |
| IT2A-5       | 18.75  | 6.40 |  |  |  |
| IT2I-5       | 18.24  | 5.60 |  |  |  |
| IIT2A-0-5    | 16.80  | 4.03 |  |  |  |
| IIT2I-0-5    | 16.47  | 3.91 |  |  |  |
| B2A-5        | 10.71  | 2.76 |  |  |  |



## INFORME INTERNO DE RESULTADOS

IGL/INF-LABQUP-15-2-2015

| Área   | Identificación del Informe               |                                 | Fecha de Emisión del informe |  |  |  |  |  |
|--|--|---------------------------------|------------------------------|--|--|--|--|--|
| LABQUP   | IGL/INF-LABQUP-15-2-2015                 |                                 | 31 octubre 2015              |  |  |  |  |  |
| Solicitante  | Procedimiento de Muestreo Utilizado      |                                 |                              |  |  |  |  |  |
| Dr. Francisco Martín Romero / Dra. Azucena Dotor                     | No reportado                             |                                 |                              |  |  |  |  |  |
| Fecha de Recepción de Muestras                                       | Periodo de Preparación de Muestras       | Número de Orden de trabajo/ AÑO |                              |  |  |  |  |  |
| 03 JULIO 2015  | 28 de agosto al 22 de septiembre de 2015 | 15-2/15                         |                              |  |  |  |  |  |
| Periodo de análisis  | Equipo Utilizado                         |                                 |                              |  |  |  |  |  |
| 05 DE OCTUBRE  | Q-ICP-MS Agilent 7500ce                  |                                 |                              |  |  |  |  |  |
| Métodos o Normas de Análisis Empleados                               |  |                                 |                              |  |  |  |  |  |
| PROTOCOLO INTERNO DEL INSTITUTO DE GEOLOGÍA.                         |  |                                 |                              |  |  |  |  |  |
| Referencias  |  |                                 |                              |  |  |  |  |  |
| BITPER/LABQUP-02/136-137; BITEQ/LABQUP-02/129; BITEQ/LABQUP-03/06-07 |  |                                 |                              |  |  |  |  |  |
| Observaciones  |  |                                 |                              |  |  |  |  |  |

Nota: Los resultados corresponden a las muestras solicitadas con el formato "SOLICITUD-LABQUP ICPMS-OT-15 2015"

## CONTROLES DE CALIDAD:

| Tipo          | Especificación   | Criterio            |
|---------------|--|---------------------|
| R-2808515-1   | Blanco de reactivos (2% ácido nítrico tridestilado)                      | < LDM               |
| BM-2808515-1  | Blanco de método (2% ácido nítrico tridestilado)                         | Depende del proceso |
| S-2808515-1   | Estándar de verificación (concentración 25 ppb para todos los elementos) | ± 10%               |
| ADA-MD-R1     | Muestra duplicada  | DPR < 20%           |
| DPR           | Diferencia porcentual relativa   | < 20% para M y MD   |
| MRC-2808515-1 | SBC-1 SHALE  | ± 10%               |

Nota: \* < LDM = Menor al límite de detección del método (LDM).

Nota: El usuario se compromete a dar los agradecimientos correspondientes, en cualquier artículo, tesis o trabajo que se derive de los resultados presentados, tanto al Laboratorio de Química Ultrapura e ICP-MS como al M en C Ernesto Hernández Mendiola por su trabajo realizado en la preparación y análisis de las muestras. Así mismo, el usuario se compromete a mandar una copia simple de dicho agradecimiento vía correo.

M. en C. Ernesto Hernández Mendiola  
Técnico Académico Titular "B".

Responsable del Laboratorio de Química Ultrapura (LABQUP) y de Q-ICP-MS.  
DEPTO. DE GEOQUÍMICA, INSTITUTO DE GEOLOGÍA, UNAM  
56224310 EXT 161, 230, 210; email: [ernestohm@geologia.unam.mx](mailto:ernestohm@geologia.unam.mx); [ernestohmen@gmail.com](mailto:ernestohmen@gmail.com)



## INFORME INTERNO DE RESULTADOS

IGL/INF-LABQUP-15-2-2015

| Clave      | Concentración de Elementos Totales<br>(ug/g) |       |       |       |      |      |      |      |
|------------|--|-------|-------|-------|------|------|------|------|
|            | La   | Ce    | Pr    | Nd    | Sm   | Eu   | Gd   | Tb   |
| B2I 0-5    | 39.05  | 72.87 | 8.86  | 33.60 | 6.47 | 1.45 | 6.12 | 0.83 |
| MD-B2I 0-5 | 37.82  | 71.75 | 8.67  | 32.80 | 6.29 | 1.55 | 6.50 | 0.88 |
| SDMO-20    | 43.85  | 85.81 | 9.83  | 36.56 | 7.10 | 1.48 | 6.84 | 0.94 |
| MD-SDMO-20 | 44.28  | 86.53 | 9.92  | 36.89 | 7.17 | 1.50 | 7.00 | 0.96 |
| S2A 0-5    | 44.36  | 81.86 | 9.96  | 37.62 | 7.39 | 1.68 | 7.26 | 1.01 |
| S2I 0-5    | 46.66  | 85.92 | 10.14 | 37.49 | 7.28 | 1.57 | 7.15 | 0.97 |
| SD-1A 0-5  | 43.80  | 78.41 | 9.11  | 33.41 | 6.35 | 1.50 | 6.28 | 0.87 |
| SD-1B 0-5  | 40.70  | 72.77 | 8.97  | 33.45 | 6.39 | 1.52 | 6.37 | 0.87 |
| SD-1C 0-5  | 39.78  | 77.16 | 9.14  | 34.64 | 6.91 | 1.59 | 6.89 | 0.95 |
| SDMO-01    | 42.13  | 79.85 | 9.38  | 35.28 | 6.97 | 1.47 | 6.92 | 0.96 |
| SDMO-02    | 41.63  | 81.95 | 9.33  | 34.52 | 6.75 | 1.43 | 6.59 | 0.90 |
| SDMO-04    | 44.21  | 85.05 | 9.77  | 36.79 | 7.20 | 1.52 | 7.18 | 0.98 |
| SDMO-06    | 40.74  | 76.09 | 8.91  | 33.30 | 6.54 | 1.42 | 6.46 | 0.89 |
| SDMO-07    | 45.45  | 86.54 | 9.95  | 37.58 | 7.41 | 1.56 | 7.43 | 1.02 |
| SDMO-08    | 43.09  | 82.71 | 9.58  | 35.80 | 6.99 | 1.51 | 6.87 | 0.94 |
| SDMO-09    | 41.43  | 79.52 | 9.19  | 34.60 | 6.81 | 1.52 | 6.73 | 0.91 |
| SDMO-13    | 43.06  | 81.58 | 9.50  | 35.38 | 6.94 | 1.45 | 6.75 | 0.93 |
| SDMO-19    | 42.06  | 80.11 | 9.25  | 34.42 | 6.74 | 1.46 | 6.54 | 0.90 |

ESTOS RESULTADOS AMPARAN UNICAMENTE LAS MUESTRAS PROBADAS, SIN QUE ESTAS SEAN REPRESENTATIVAS DE UN UNIVERSO O LOTE.  
EL PRESENTE INFORME DE PRUEBA NO DEBE REPRODUCIRSE, EXCEPTO EN SU TOTALIDAD, SIN LA APROBACION POR ESCRITO DEL LABORATORIO  
DE QUÍMICA ULTRAPURA DEL INSTITUTO DE GEOLOGÍA DE LA UNAM

F/PTA-S/N



## INFORME INTERNO DE RESULTADOS

IGL/INF-LABQUP-15-2-2015

| Clave      | Concentración de Elementos Totales<br>(ug/g) |      |      |      |      |      |
|------------|--|------|------|------|------|------|
|            | Dy   | Ho   | Er   | Tm   | Yb   | Lu   |
| B2I 0-5    | 4.43   | 0.89 | 2.52 | 0.36 | 2.40 | 0.37 |
| MD-B2I 0-5 | 4.67   | 0.93 | 2.64 | 0.37 | 2.52 | 0.39 |
| SDMO-20    | 5.05   | 1.02 | 2.88 | 0.41 | 2.79 | 0.42 |
| MD-SDMO-20 | 5.15   | 1.03 | 2.93 | 0.41 | 2.82 | 0.43 |
| S2A 0-5    | 5.48   | 1.11 | 3.16 | 0.45 | 3.04 | 0.47 |
| S2I 0-5    | 5.14   | 1.03 | 2.91 | 0.41 | 2.80 | 0.43 |
| SD-1A 0-5  | 4.67   | 0.95 | 2.70 | 0.39 | 2.64 | 0.41 |
| SD-1B 0-5  | 4.70   | 0.96 | 2.75 | 0.39 | 2.68 | 0.42 |
| SD-1C 0-5  | 5.20   | 1.05 | 2.95 | 0.41 | 2.80 | 0.43 |
| SDMO-01    | 5.19   | 1.06 | 3.03 | 0.43 | 2.90 | 0.45 |
| SDMO-02    | 4.83   | 0.98 | 2.77 | 0.39 | 2.67 | 0.41 |
| SDMO-04    | 5.28   | 1.07 | 3.01 | 0.43 | 2.88 | 0.44 |
| SDMO-06    | 4.81   | 0.97 | 2.77 | 0.39 | 2.64 | 0.40 |
| SDMO-07    | 5.51   | 1.11 | 3.15 | 0.44 | 3.01 | 0.46 |
| SDMO-08    | 5.05   | 1.02 | 2.90 | 0.41 | 2.76 | 0.42 |
| SDMO-09    | 4.89   | 0.98 | 2.75 | 0.38 | 2.59 | 0.40 |
| SDMO-13    | 5.02   | 1.01 | 2.87 | 0.40 | 2.72 | 0.41 |
| SDMO-19    | 4.88   | 0.99 | 2.80 | 0.40 | 2.70 | 0.41 |



## INFORME INTERNO DE RESULTADOS

IGL/INF-LABQUP-15-2-2015

| Clave      | Concentración de Elementos Totales<br>(ug/g) |           |       |       |          |        |      |       |
|------------|--|-----------|-------|-------|----------|--------|------|-------|
|            | Ba   | Ca        | Co    | Cr    | P        | Zn     | Sn   | Y     |
| B2I 0-5    | 844.72                                       | 39,629.49 | 14.19 | 49.95 | 2,644.95 | 59.15  | 4.10 | 25.00 |
| MD-B2I 0-5 | 843.04                                       | 39,080.07 | 14.33 | 50.31 | 2,594.58 | 64.66  | 4.31 | 24.14 |
| SDMO-20    | 694.70                                       | 54,503.72 | 15.83 | 46.97 | 2,353.09 | 86.79  | 4.17 | 28.87 |
| MD-SDMO-20 | 698.29                                       | 54,866.63 | 15.74 | 48.01 | 2,356.78 | 87.35  | 4.44 | 29.31 |
| S2A 0-5    | 974.23                                       | 50,087.43 | 14.84 | 58.41 | 2,565.22 | 72.48  | 3.95 | 31.17 |
| S2I 0-5    | 737.87                                       | 28,040.98 | 12.86 | 58.03 | 2,391.76 | 71.32  | 3.51 | 28.85 |
| SD-1A 0-5  | 1,218.66                                     | 39,798.79 | 8.06  | 30.40 | 1,419.66 | 42.97  | 2.92 | 27.03 |
| SD-1B 0-5  | 1,259.13                                     | 41,124.58 | 8.06  | 22.46 | 1,152.81 | 39.61  | 4.37 | 26.38 |
| SD-1C 0-5  | 1,156.16                                     | 58,175.18 | 12.53 | 45.29 | 1,711.16 | 59.39  | 3.88 | 29.37 |
| SDMO-01    | 793.04                                       | 42,854.98 | 13.99 | 44.71 | 1,889.62 | 146.93 | 2.83 | 30.09 |
| SDMO-02    | 658.17                                       | 41,617.24 | 14.03 | 41.50 | 2,024.35 | 78.09  | 3.99 | 27.73 |
| SDMO-04    | 709.79                                       | 43,318.81 | 15.20 | 50.39 | 2,065.55 | 81.66  | 4.28 | 30.29 |
| SDMO-06    | 721.20                                       | 48,753.89 | 11.92 | 34.98 | 1,746.14 | 66.77  | 3.85 | 28.07 |
| SDMO-07    | 736.56                                       | 40,206.33 | 15.32 | 40.10 | 2,128.50 | 90.12  | 4.31 | 31.78 |
| SDMO-08    | 729.86                                       | 27,870.11 | 15.96 | 35.66 | 2,286.51 | 100.47 | 4.26 | 28.83 |
| SDMO-09    | 856.60                                       | 53,350.69 | 13.20 | 38.84 | 2,037.31 | 66.50  | 4.24 | 27.56 |
| SDMO-13    | 685.76                                       | 45,282.55 | 14.15 | 40.24 | 1,988.22 | 81.32  | 4.48 | 28.64 |
| SDMO-19    | 850.02                                       | 50,589.75 | 13.08 | 43.07 | 1,883.22 | 139.66 | 4.18 | 29.44 |



## INFORME INTERNO DE RESULTADOS

IGL/INF-LABQUP-15-2-2015

| Clave      | Concentración de Elementos Totales<br>(ug/g) |       |           |      |        |       |        |      |
|------------|--|-------|-----------|------|--------|-------|--------|------|
|            | Cs   | Cu    | Fe        | Hf   | Rb     | Sc    | Sr     | Ta   |
| B2I 0-5    | 18.70  | 39.08 | 53,296.16 | 4.76 | 107.98 | 11.12 | 633.76 | 0.36 |
| MD-B2I 0-5 | 18.30  | 39.36 | 53,260.65 | 4.50 | 106.48 | 11.29 | 623.32 | 0.25 |
| SDMO-20    | 25.22  | 45.48 | 58,968.91 | 3.72 | 147.19 | 12.66 | 278.31 | 0.15 |
| MD-SDMO-20 | 25.67  | 44.65 | 58,863.29 | 3.74 | 149.13 | 12.91 | 280.27 | 0.18 |
| S2A 0-5    | 17.42  | 43.74 | 68,839.79 | 2.62 | 120.85 | 11.16 | 585.11 | 0.12 |
| S2I 0-5    | 9.52   | 27.49 | 68,040.77 | 4.23 | 141.02 | 11.74 | 344.91 | 0.12 |
| SD-1A 0-5  | 7.19   | 14.84 | 43,026.34 | 5.47 | 150.35 | 8.96  | 407.87 | 0.73 |
| SD-1B 0-5  | 7.45   | 13.16 | 41,611.53 | 3.20 | 147.59 | 8.11  | 407.65 | 0.13 |
| SD-1C 0-5  | 9.67   | 39.61 | 60,598.71 | 3.10 | 124.85 | 11.14 | 431.72 | 0.17 |
| SDMO-01    | 23.01  | 38.53 | 53,829.39 | 5.18 | 140.92 | 7.52  | 257.32 | 0.86 |
| SDMO-02    | 23.48  | 39.47 | 54,638.17 | 4.20 | 142.98 | 13.15 | 260.87 | 0.14 |
| SDMO-04    | 25.04  | 46.71 | 56,277.53 | 4.10 | 144.47 | 11.13 | 294.25 | 0.20 |
| SDMO-06    | 21.58  | 44.19 | 47,326.00 | 3.64 | 131.54 | 11.20 | 299.98 | 0.15 |
| SDMO-07    | 30.30  | 59.75 | 58,078.38 | 3.59 | 158.89 | 11.70 | 303.25 | 0.27 |
| SDMO-08    | 37.42  | 81.59 | 57,345.61 | 3.53 | 162.90 | 13.34 | 268.67 | 0.16 |
| SDMO-09    | 14.82  | 40.79 | 55,094.70 | 2.52 | 122.53 | 10.50 | 381.53 | 0.20 |
| SDMO-13    | 23.75  | 43.64 | 54,619.16 | 3.37 | 140.41 | 11.07 | 263.82 | 0.20 |
| SDMO-19    | 21.09  | 37.94 | 52,156.10 | 3.89 | 133.92 | 12.12 | 303.35 | 0.30 |

ESTOS RESULTADOS AMPARAN UNICAMENTE LAS MUESTRAS PROBADAS, SIN QUE ESTAS SEAN REPRESENTATIVAS DE UN UNIVERSO O LOTE.  
EL PRESENTE INFORME DE PRUEBA NO DEBE REPRODUCIRSE, EXCEPTO EN SU TOTALIDAD, SIN LA APROBACION POR ESCRITO DEL LABORATORIO  
DE QUÍMICA ULTRAPURA DEL INSTITUTO DE GEOLOGÍA DE LA UNAM

F/PTA-S/N



## INFORME INTERNO DE RESULTADOS

IGL/INF-LABQUP-15-2-2015

| Clave      | Concentración de Elementos Totales<br>(ug/g) |          |       |       |       |           |       |        |
|------------|--|----------|-------|-------|-------|-----------|-------|--------|
|            | Mg   | Mn       | Mo    | Nb    | Ni    | K         | Pb    | Zr     |
| B2I 0-5    | 24,233.68                                    | 985.61   | 0.24  | 1.57  | 35.47 | 27,269.29 | 37.77 | 136.20 |
| MD-B2I 0-5 | 23,942.25                                    | 987.56   | 0.08  | 1.21  | 36.43 | 27,615.40 | 37.72 | 137.70 |
| SDMO-20    | 28,740.26                                    | 1,392.72 | 0.07  | 0.36  | 35.17 | 30,665.72 | 52.72 | 114.32 |
| MD-SDMO-20 | 28,950.79                                    | 1,400.08 | 0.06  | 0.51  | 35.01 | 30,549.46 | 52.51 | 113.32 |
| S2A 0-5    | 19,059.26                                    | 1,077.31 | < LDM | 0.05  | 26.81 | 30,636.62 | 49.48 | 80.55  |
| S2I 0-5    | 16,731.51                                    | 1,128.78 | 0.12  | 0.07  | 20.32 | 30,941.40 | 29.97 | 131.17 |
| SD-1A 0-5  | 11,205.69                                    | 681.81   | 1.29  | 12.65 | 10.47 | > 40,000  | 21.85 | 164.25 |
| SD-1B 0-5  | 11,167.52                                    | 661.45   | 0.00  | 0.11  | 10.13 | > 40,000  | 21.19 | 93.59  |
| SD-1C 0-5  | 18,737.76                                    | 909.82   | 0.12  | 0.71  | 19.65 | 31,631.77 | 27.10 | 92.81  |
| SDMO-01    | 28,193.79                                    | 1,301.67 | 1.01  | 11.00 | 32.11 | 27,226.40 | 48.86 | 161.77 |
| SDMO-02    | 26,968.70                                    | 1,332.61 | 0.05  | 0.13  | 31.54 | 26,980.00 | 49.92 | 128.29 |
| SDMO-04    | 26,448.25                                    | 1,381.26 | 0.02  | 0.98  | 32.79 | 28,686.88 | 53.00 | 128.89 |
| SDMO-06    | 22,604.19                                    | 856.61   | 0.03  | 0.68  | 23.45 | 25,266.35 | 46.22 | 112.92 |
| SDMO-07    | 26,439.10                                    | 1,285.63 | 0.02  | 2.18  | 30.46 | 31,178.07 | 57.78 | 109.60 |
| SDMO-08    | 26,913.95                                    | 1,325.63 | 0.14  | 0.39  | 29.38 | 32,674.48 | 63.34 | 110.81 |
| SDMO-09    | 22,151.13                                    | 926.02   | 0.08  | 1.51  | 23.88 | 27,088.70 | 35.25 | 79.74  |
| SDMO-13    | 26,417.82                                    | 1,308.32 | 0.07  | 1.34  | 30.43 | 27,483.15 | 51.17 | 104.95 |
| SDMO-19    | 27,202.00                                    | 1,223.19 | 0.18  | 2.09  | 29.67 | 26,640.03 | 46.06 | 127.70 |

ESTOS RESULTADOS AMPARAN UNICAMENTE LAS MUESTRAS PROBADAS, SIN QUE ESTAS SEAN REPRESENTATIVAS DE UN UNIVERSO O LOTE.  
EL PRESENTE INFORME DE PRUEBA NO DEBE REPRODUCIRSE, EXCEPTO EN SU TOTALIDAD, SIN LA APROBACION POR ESCRITO DEL LABORATORIO  
DE QUÍMICA ULTRAPURA DEL INSTITUTO DE GEOLOGÍA DE LA UNAM

F/PTA-S/N



## INFORME INTERNO DE RESULTADOS

IGL/INF-LABQUP-15-2-2015

| Clave      | Concentración de Elementos Totales<br>(ug/g) |      |
|------------|--|------|
|            | Th   | U    |
| B2I 0-5    | 11.67  | 2.82 |
| MD-B2I 0-5 | 11.90  | 2.75 |
| SDMO-20    | 15.03  | 3.86 |
| MD-SDMO-20 | 15.74  | 3.94 |
| S2A 0-5    | 20.65  | 4.35 |
| S2I 0-5    | 14.97  | 4.05 |
| SD-1A 0-5  | 15.15  | 4.19 |
| SD-1B 0-5  | 11.64  | 3.90 |
| SD-1C 0-5  | 13.40  | 3.77 |
| SDMO-01    | 15.32  | 3.43 |
| SDMO-02    | 15.33  | 3.50 |
| SDMO-04    | 14.33  | 3.87 |
| SDMO-06    | 14.93  | 3.61 |
| SDMO-07    | 15.13  | 4.41 |
| SDMO-08    | 14.14  | 4.62 |
| SDMO-09    | 12.74  | 3.56 |
| SDMO-13    | 14.22  | 3.64 |
| SDMO-19    | 14.22  | 3.28 |



## INFORME INTERNO DE RESULTADOS

IGL/INF-LABQUP-21-2015

| Área   | Identificación del Informe                |                                | Fecha de Emisión del informe |  |  |
|--|---|--------------------------------|------------------------------|--|--|
| LABQUP   | IGL/INF-LABQUP-21-2015                    |                                | 09 Mayo 2016                 |  |  |
| Solicitante  | Procedimiento de Muestreo Utilizado       |                                |                              |  |  |
| Dr. Francisco Martín Romero / Dra. Azucena Dotor                     | No reportado                              |                                |                              |  |  |
| Fecha de Recepción de Muestras                                       | Periodo de Preparación de Muestras        | Número de Orden de trabajo/Año |                              |  |  |
| 03 SEPTIEMBRE 2015   | 29 de SEPTIEMBRE al 10 de OCTUBRE de 2015 | 21/15                          |                              |  |  |
| Periodo de análisis  | Equipo Utilizado                          |                                |                              |  |  |
| 23 DE OCTUBRE  | Q-ICP-MS Agilent 7500ce                   |                                |                              |  |  |
| Métodos o Normas de Análisis Empleados                               |   |                                |                              |  |  |
| PROTOCOLO INTERNO DEL INSTITUTO DE GEOLOGÍA.                         |   |                                |                              |  |  |
| Referencias  |   |                                |                              |  |  |
| BITPER/LABQUP-02/153-156; BITEQ/LABQUP-02/131; BITEQ/LABQUP-03/11-12 |   |                                |                              |  |  |
| Observaciones  |   |                                |                              |  |  |

Nota: Los resultados corresponden a las muestras solicitadas con el formato "SOLICITUD-LABQUP ICPMS-OT-15 2015"

## CONTROLES DE CALIDAD:

| Tipo            | Especificación   | Criterio            |
|-----------------|--|---------------------|
| R-290915-1      | Blanco de reactivos (2% ácido nítrico tridestilado)                      | <LDM                |
| BM-290915-1     | Blanco de método (2% ácido nítrico tridestilado)                         | Depende del proceso |
| S-290915-1      | Estándar de verificación (concentración 25 ppb para todos los elementos) | ± 10%               |
| MD-T1-1A(30-40) | Muestra duplicada  | DPR < 20%           |
| DPR             | Diferencia porcentual relativa   | < 20% para M y MD   |
| MRC-290915-1    | SBC-1 SHALE  | ± 10%               |

Nota: \* <LDM = Menor al límite de detección del método (LDM).

Nota: El usuario se compromete a dar los agradecimientos correspondientes, en cualquier artículo, tesis o trabajo que se derive de los resultados presentados, tanto al Laboratorio de Química Ultrapura e ICP-MS como al M en C Ernesto Hernández Mendiola por su trabajo realizado en la preparación y análisis de las muestras. Así mismo, el usuario se compromete a mandar una copia simple de dicho agradecimiento vía correo.

M. en C. Ernesto Hernández Mendiola  
Técnico Académico Titular "B".

Responsable del Laboratorio de Química Ultrapura (LABQUP) y de Q-ICP-MS.  
DEPTO. DE GEOQUÍMICA, INSTITUTO DE GEOLOGÍA, UNAM  
56224310 EXT 161, 230, 210; email: [ernestohm@geologia.unam.mx](mailto:ernestohm@geologia.unam.mx); [ernestohmen@gmail.com](mailto:ernestohmen@gmail.com)



## INFORME INTERNO DE RESULTADOS

IGL/INF-LABQUP-21-2015

| Clave           | Concentración de Elementos Totales<br>(ug/g) |       |      |       |      |      |      |      |
|-----------------|--|-------|------|-------|------|------|------|------|
|                 | La   | Ce    | Pr   | Nd    | Sm   | Eu   | Gd   | Tb   |
| T1-1A(5)        | 37.08  | 67.49 | 7.95 | 27.41 | 5.62 | 1.08 | 5.16 | 0.80 |
| T1-1A(30-40)    | 33.71  | 65.52 | 7.23 | 26.61 | 5.11 | 0.98 | 5.01 | 0.73 |
| MD-T1-1A(30-40) | 30.97  | 62.30 | 6.60 | 24.14 | 4.66 | 0.91 | 4.49 | 0.66 |
| RSQ-1-ROJA      | 57.07  | 92.57 | 9.63 | 27.36 | 3.23 | 0.44 | 4.23 | 0.58 |
| RSQ-1-NEGRA     | 45.71  | 86.16 | 9.81 | 34.65 | 6.14 | 1.37 | 5.15 | 0.67 |
| B4-A(5)         | 30.80  | 56.87 | 6.77 | 25.95 | 5.08 | 1.25 | 4.81 | 0.67 |
| B4-A(55-65)     | 31.94  | 59.38 | 7.20 | 27.35 | 5.43 | 1.28 | 5.08 | 0.74 |
| MD-T1-1A(30-40) | 31.13  | 58.96 | 6.88 | 25.54 | 5.05 | 0.86 | 4.90 | 0.72 |
| T8-A(5)         | 36.01  | 68.83 | 7.73 | 28.67 | 5.48 | 1.27 | 5.24 | 0.73 |
| T8-A(100-120)   | 35.38  | 65.67 | 7.77 | 29.09 | 5.54 | 1.25 | 5.12 | 0.71 |

| Clave           | Concentración de Elementos Totales<br>(ug/g) |      |      |      |      |      |
|-----------------|--|------|------|------|------|------|
|                 | Dy   | Ho   | Er   | Tm   | Yb   | Lu   |
| T1-1A(5)        | 4.72   | 0.93 | 2.67 | 0.44 | 2.82 | 0.47 |
| T1-1A(30-40)    | 4.29   | 0.91 | 2.69 | 0.40 | 2.74 | 0.43 |
| MD-T1-1A(30-40) | 3.87   | 0.82 | 2.43 | 0.36 | 2.51 | 0.40 |
| RSQ-1-ROJA      | 3.61   | 0.79 | 2.43 | 0.36 | 2.50 | 0.38 |
| RSQ-1-NEGRA     | 3.55   | 0.71 | 2.10 | 0.30 | 2.10 | 0.33 |
| B4-A(5)         | 3.66   | 0.73 | 2.06 | 0.29 | 1.97 | 0.30 |
| B4-A(55-65)     | 4.07   | 0.82 | 2.33 | 0.33 | 2.22 | 0.35 |
| MD-T1-1A(30-40) | 4.12   | 0.86 | 3.15 | 0.46 | 3.13 | 0.49 |
| T8-A(5)         | 4.05   | 0.82 | 2.34 | 0.33 | 2.27 | 0.36 |
| T8-A(100-120)   | 3.83   | 0.77 | 2.24 | 0.32 | 2.20 | 0.35 |



## INFORME INTERNO DE RESULTADOS

IGL/INF-LABQUP-21-2015

| Clave           | Concentración de Elementos Totales<br>(ug/g) |           |       |       |          |        |        |       |
|-----------------|--|-----------|-------|-------|----------|--------|--------|-------|
|                 | Ba   | Ca        | Co    | Cr    | P        | Zn     | Sn     | Y     |
| T1-1A(5)        | 833.66                                       | 11,332.41 | 11.52 | 69.05 | 1,662.28 | 159.23 | 2.46   | 24.69 |
| T1-1A(30-40)    | 809.37                                       | 10,302.20 | 11.64 | 62.77 | 1,613.87 | 154.59 | 2.38   | 24.94 |
| MD-T1-1A(30-40) | 754.31                                       | 9,076.88  | 10.21 | 62.99 | 1,332.58 | 137.67 | 1.88   | 22.10 |
| RSQ-1-ROJA      | 160.58                                       | 7,755.20  | 1.35  | 6.25  | 350.88   | 29.69  | 120.82 | 22.95 |
| RSQ-1-NEGRA     | 850.48                                       | 4,267.10  | 2.23  | 9.09  | 1,185.81 | 233.00 | 55.62  | 16.54 |
| B4-A(5)         | 923.84                                       | 52,354.24 | 12.92 | 44.03 | 1,865.22 | 77.39  | 0.92   | 20.16 |
| B4-A(55-65)     | 857.06                                       | 39,972.91 | 17.75 | 44.36 | 1,918.12 | 128.62 | 0.79   | 22.51 |
| MD-T1-1A(30-40) | 668.16                                       | 10,487.97 | 14.00 | 50.15 | 1,280.58 | 149.74 | 2.32   | 27.25 |
| T8-A(5)         | 934.28                                       | 16,925.94 | 15.77 | 63.08 | 1,850.09 | 117.64 | 1.42   | 21.95 |
| T8-A(100-120)   | 1,014.03                                     | 15,645.80 | 22.37 | 59.14 | 2,021.28 | 107.69 | 1.00   | 20.55 |

| Clave           | Concentración de Elementos Totales<br>(ug/g) |        |            |      |        |       |        |      |
|-----------------|--|--------|------------|------|--------|-------|--------|------|
|                 | Cs   | Cu     | Fe         | Hf   | Rb     | Sc    | Sr     | Ta   |
| T1-1A(5)        | 14.58  | 256.71 | 76,847.71  | 7.92 | 211.51 | 12.18 | 174.65 | 0.98 |
| T1-1A(30-40)    | 13.25  | 233.37 | 74,609.42  | 7.69 | 192.28 | 11.83 | 169.56 | 0.96 |
| MD-T1-1A(30-40) | 12.50  | 207.64 | 66,678.26  | 4.10 | 183.99 | 10.37 | 157.10 | 0.92 |
| RSQ-1-ROJA      | 3.41   | 14.58  | 122,798.55 | 2.59 | 130.27 | 1.97  | 447.06 | 1.70 |
| RSQ-1-NEGRA     | 12.70  | 17.90  | 42,863.93  | 1.89 | 251.88 | 3.78  | 191.68 | 0.19 |
| B4-A(5)         | 13.41  | 81.68  | 58,041.77  | 4.31 | 107.45 | 8.25  | 324.32 | 0.73 |
| B4-A(55-65)     | 16.41  | 290.57 | 53,036.24  | 4.40 | 128.51 | 9.30  | 256.90 | 0.81 |
| MD-T1-1A(30-40) | 12.32  | 209.70 | 54,157.07  | 6.00 | 174.86 | 10.96 | 148.66 | 1.17 |
| T8-A(5)         | 17.35  | 234.88 | 59,148.44  | 6.85 | 142.72 | 10.43 | 280.19 | 0.89 |
| T8-A(100-120)   | 13.42  | 348.72 | 53,720.16  | 3.52 | 152.59 | 9.74  | 275.08 | 0.79 |



## INFORME INTERNO DE RESULTADOS

IGL/INF-LABQUP-21-2015

| Clave           | Concentración de Elementos Totales<br>(ug/g) |          |      |       |       |           |          |        |
|-----------------|--|----------|------|-------|-------|-----------|----------|--------|
|                 | Mg   | Mn       | Mo   | Nb    | Ni    | K         | Pb       | Zr     |
| T1-1A(5)        | 22,249.05                                    | 1,315.09 | 4.92 | 12.93 | 33.16 | 39,175.84 | 217.52   | 266.05 |
| T1-1A(30-40)    | 20,226.41                                    | 1,195.53 | 4.47 | 12.55 | 30.14 | 39,571.56 | 211.18   | 241.87 |
| MD-T1-1A(30-40) | 18,448.14                                    | 1,047.03 | 4.13 | 9.36  | 26.90 | 35,051.47 | 192.53   | 150.23 |
| RSQ-1-ROJA      | 2,574.48                                     | 211.93   | 8.86 | 20.32 | 0.67  | 26,466.09 | 61.01    | 56.40  |
| RSQ-1-NEGRA     | 3,334.09                                     | 1,585.82 | 1.07 | 2.11  | 0.66  | 33,087.06 | 3,718.87 | 45.56  |
| B4-A(5)         | 14,946.56                                    | 1,162.28 | 1.36 | 10.13 | 21.11 | 26,373.24 | 61.74    | 134.50 |
| B4-A(55-65)     | 15,680.47                                    | 1,273.90 | 1.58 | 10.29 | 24.86 | 27,916.16 | 69.90    | 138.80 |
| MD-T1-1A(30-40) | 14,022.55                                    | 1,645.61 | 2.89 | 13.47 | 24.64 | 33,922.99 | 198.51   | 181.54 |
| T8-A(5)         | 15,525.98                                    | 1,400.94 | 2.31 | 12.52 | 25.59 | 28,767.30 | 114.04   | 214.56 |
| T8-A(100-120)   | 15,278.12                                    | 1,558.77 | 2.07 | 8.66  | 25.99 | 31,930.21 | 107.21   | 121.14 |

| Clave           | Concentración de Elementos Totales<br>(ug/g) |      |
|-----------------|--|------|
|                 | Th   | U    |
| T1-1A(5)        | 18.96  | 4.44 |
| T1-1A(30-40)    | 17.23  | 4.31 |
| MD-T1-1A(30-40) | 15.71  | 4.00 |
| RSQ-1-ROJA      | 32.33  | 3.05 |
| RSQ-1-NEGRA     | 14.27  | 4.08 |
| B4-A(5)         | 9.59   | 2.78 |
| B4-A(55-65)     | 11.56  | 3.36 |
| MD-T1-1A(30-40) | 16.17  | 4.28 |
| T8-A(5)         | 16.54  | 4.75 |
| T8-A(100-120)   | 16.52  | 4.42 |